



ปีการศึกษา 2538

เครื่องหลอมโลหะ โดยอาศัยการเหนี่ยวนำ

INDUCTION MELTER

โดย

| | | | |
|---------------|------------|----------|----|
| นาย ชีระวิทย์ | เทพมะที | 35104198 | 4B |
| นาย บัณฑิต | ถาวรทนต | 35104229 | 4B |
| นาย ปัญญา | ปัญญาวิณิน | 35104265 | 4B |

อาจารย์ที่ปรึกษา

รศ.ดร. วิริยะ พิเศษฐจำเริญ

อาจารย์ อนุวัฒน์ จางวนิชเลิศ

วัน เดือน ปี..... ๑๓ ก.ค. ๒๕๔๐
เลขทะเบียน..... ๐๓๗๐๑๓
เลขเรียกหนังสือ..... T 38116 ๕๖๕๘๑

เอกสารนี้เป็นเอกสารที่สงวนไว้สำหรับการใช้งานเพื่อการศึกษาเท่านั้น ไม่นิยมนำไปใช้ประโยชน์ด้านการค้า
ไม่ว่ากรณีใดๆทั้งสิ้น อีกทั้งห้ามมิให้ตัดแปลงเนื้อหา และต้องอ้างอิงถึงเจ้าของเอกสารทุกครั้งที่มีการนำไปใช้

เครื่องหลอมโลหะโดยอาศัยการเหนี่ยวนำ

นาย ชีระวิทย์ เทพมะที
นาย บัณฑิต ถาวรทนต์
นาย ปัญญา ปัญวีณิน
รศ.ดร. วิริยะ พิเศษจุ่มจำเริญ
อาจารย์ อนุวัฒน์ จางวนิชเลิศ
ปีการศึกษา 2538

บทคัดย่อ

เครื่องหลอมโลหะโดยอาศัยการเหนี่ยวนำเป็นการหลอมโลหะที่ความถี่ใกล้เคียงกับบริเวณความถี่เรโซแนนซ์ ซึ่งที่ความถี่เรโซแนนซ์เป็นจุดที่ทำให้เกิดกำลังงานสูงสุด วงจรที่ใช้ในการเปลี่ยนความถี่ไฟฟ้าให้สูงขึ้นคือ วงจรอินเวอร์เตอร์ซึ่งในโครงงานนี้ได้ใช้ทรานซิสเตอร์เป็นอุปกรณ์สวิตชิ่ง หม้อแปลงเฟอร์ไรต์จะใช้ในการเพิ่มกระแสเอ็ดดี้ที่ผ่านไปยังโหลดให้สูงขึ้นเพื่อให้เกิดความร้อน ส่วนควบคุมการขับนำเบสให้ทรานซิสเตอร์นำกระแสเป็นวงจรกระตุ้นภายนอก เครื่องหลอมโลหะโดยอาศัยการเหนี่ยวนำมีข้อดีคือ ไม่เป็นมลภาวะต่อสิ่งแวดล้อมเพราะปราศจากการเผาไหม้ ประหยัดพลังงาน ราคาถูกและบำรุงรักษาง่าย

เอกสารนี้เป็นเอกสารที่สงวนไว้สำหรับการใช้งานเพื่อการศึกษาเท่านั้น ไม่อนุญาตให้นำไปใช้ประโยชน์ด้านการค้า
ไม่ว่ากรณีใดๆทั้งสิ้น อีกทั้งห้ามมิให้ตัดแปลงเนื้อหา และต้องอ้างอิงถึงเจ้าของเอกสารทุกครั้งที่มีการนำไปใช้

INDUCTION MELTER

Teerawit Thapmatee

Bundit Thawornthon

Punya punjaveenin

Dr. Viriya Pichetjumreon

Anuwat Jangwanitlerd Adviser

1995

ABSTRACT

The principle of induction melter is melting at the resonance frequency . The resonance frequency will generate the maximum power . The circuit that uses to step up the frequency is the inverter . The transistor is chosen to use as switching part . Ferrite core transformer step up the current to load transfer to heat. Controll part for base drive of transistor is the force commutation circuit . The advantages of induction melter are freedom from detrimental gases and combustion product , save energy , cheap cost and low maintenance cost .

เอกสารนี้เป็นเอกสารที่สงวนไว้สำหรับการใช้งานเพื่อการศึกษาเท่านั้น ไม่นิยมนำไปใช้ประโยชน์ด้านการค้า
ไม่ว่ากรณีใดๆทั้งสิ้น อีกทั้งห้ามมิให้ดัดแปลงเนื้อหา และต้องอ้างอิงถึงเจ้าของเอกสารทุกครั้งที่มีการนำไปใช้

สารบัญ

| | หน้า |
|--|------|
| บทที่ 1 บทนำ | 1 |
| บทที่ 2 วงจรเหนี่ยวนำความร้อน | |
| 2.1 หลักการเหนี่ยวนำความร้อน | 3 |
| 2.2 สภาพความต้านทาน | 3 |
| 2.3 รั้งสีความร้อนที่เกิดขึ้น | 4 |
| 2.4 ผลที่มีต่อผิวสำหรับการพิจารณาเสถียรภาพความยาวไม่จำกัด | 5 |
| 2.5 ความลึกผิว | 7 |
| 2.6 ความหนาแน่นกระแส ความหนาแน่นแม่เหล็ก และ ความหนาแน่นสนามไฟฟ้า | 10 |
| 2.7 กระแสทั้งหมด | 11 |
| 2.8 การออกแบบขดลวดเหนี่ยวนำ | 11 |
| บทที่ 3 เรกติไฟร์เออร์และอินเวอร์เตอร์ | |
| 3.1 เรกติไฟร์เออร์ | 15 |
| 3.1.1 วงจรเรกติไฟร์เออร์ชนิดหนึ่งเฟส ครึ่งลูกคลื่น | 15 |
| 3.1.2 วงจรเรกติไฟร์เออร์ชนิดหนึ่งเฟส เต็มลูกคลื่น | 15 |
| 3.1.3 วงจรเรกติไฟร์เออร์ชนิดสามเฟส ครึ่งลูกคลื่น | 17 |
| 3.1.4 วงจรเรกติไฟร์เออร์ชนิดสามเฟส เต็มลูกคลื่น | 19 |
| 3.2 ทรานซิสเตอร์กำลัง | 21 |
| 3.2.1 กำลังสูญเสียในรูปความร้อนของไบโพลาร์เพาเวอร์ ทรานซิสเตอร์ | 21 |
| 3.2.2 อัตราการทนกำลังงานสูญเสียของเพาเวอร์ทรานซิสเตอร์ | 23 |
| 3.3 อินเวอร์เตอร์ | 25 |
| 3.3.1 อินเวอร์เตอร์แบบพุกพุล | 25 |
| 3.3.2 อินเวอร์เตอร์แบบฮาล์ฟบริจ | 26 |

เอกสารนี้เป็นเอกสารที่สงวนไว้สำหรับการใช้งานเพื่อการศึกษาเท่านั้น ไม่อนุญาตให้นำไปใช้ประโยชน์ด้านการค้า
ไม่ว่ากรณีใดๆทั้งสิ้น อีกทั้งห้ามมิให้ดัดแปลงเนื้อหา และต้องอ้างอิงถึงเจ้าของเอกสารทุกครั้งที่มีการนำไปใช้

| | |
|--|----|
| 3.3.3 อินเวอร์เตอร์แบบฟูลบริจ | 27 |
| 3.4 วงจรสับเบอร์ | 29 |
| 3.4.1 วงจรสับเบอร์ช่วงหยุดนำกระแส | 29 |
| 3.4.2 วงจรสับเบอร์ป้องกันแรงดันเกิน | 31 |
| บทที่ 4 หม้อแปลงไฟฟ้ากำลัง | |
| 4.1 ส่วนประกอบของหม้อแปลงไฟฟ้ากำลัง | 33 |
| 4.2 แกนเฟอร์ไรต์และการเลือกใช้ | 34 |
| 4.2.1 ลักษณะและมาตรฐานของแกนเฟอร์ไรต์ | 34 |
| 4.2.2 ลักษณะสมบัติของเนื้อสารที่ใช้ทำแกนเฟอร์ไรต์ | 36 |
| 4.2.3 การกำหนดความหนาแน่นฟลักซ์แม่เหล็กสูงสุดในแกนเฟอร์ไรต์ | 39 |
| 4.2.4 การเลือกไซขนาดของแกนเฟอร์ไรต์ | 39 |
| 4.3 ความสัมพันธ์ระหว่างขดไพรมารีและเซคันดารีของหม้อแปลงไฟฟ้า | 40 |
| 4.4 การพันขดลวดทองแดงและการกำหนดขนาดของขดลวด | 41 |
| 4.4.1 ผลจากการนำกระแสแค่เพียงที่ผิวของขดลวดทองแดง | 42 |
| 4.4.2 อัตราส่วนระหว่างความต้านทานที่กระแสสลับต่อความต้านทานที่กระแสตรงของขดลวดทองแดง (F_R) | 42 |
| 4.5 การออกแบบหม้อแปลงไฟฟ้ากำลัง | 44 |
| บทที่ 5 วงจรส่วนควบคุมการขับเคลื่อนของทรานซิสเตอร์ | |
| 5.1 ไอซีเบอร์ TL 494 สำหรับโหมคควบคุมจากแรงดัน | 46 |
| 5.1.1 การกำหนดเวลาคาบการทำงาน | 46 |
| 5.1.2 การทำงานของไอซีในการคงค่าแรงดันของอินเวอร์เตอร์ | 47 |
| 5.1.3 การกำหนดค่าเวลาเพื่อ T_D | 48 |
| 5.1.4 การเลือกใช้ Q และ Q2 ที่เอาพุทของไอซี | 49 |

เอกสารนี้เป็นเอกสารที่สงวนไว้สำหรับการใช้งานเพื่อการศึกษาเท่านั้น ไม่อนุญาตให้นำไปใช้ประโยชน์ด้านการค้า
ไม่ว่ากรณีใดๆทั้งสิ้น อีกทั้งห้ามมิให้ดัดแปลงเนื้อหา และต้องอ้างอิงถึงเจ้าของเอกสารทุกครั้งที่มีการนำไปใช้

| | |
|--|----|
| 5.2 วงจรขับเบสทรานซิสเตอร์โดยใช้ Module drive transistor EXB 357 | 51 |
| <u>บทที่ 6</u> ผลการทดลอง | 54 |
| <u>บทที่ 7</u> สรุปและวิจารณ์ผลการทดลอง | |
| 7.1 สรุปผลการทดลอง | 60 |
| 7.2 วิจารณ์ผลการทดลอง | 61 |
| 7.3 แนวทางการพัฒนาต่อไป | 61 |
| ภาคผนวก | |
| ผลการ simulate วงจรฮาล์ฟบริจอินเวอร์เตอร์ TL 494 Module drive transistor EXB 357 | |



สารบัญรูปภาพ

| | หน้า |
|--|------|
| รูปที่ 2.1 แสดงวงจรหม้อแปลงของขดลวดเหนี่ยวนำความร้อน | 3 |
| รูปที่ 2.2 ก) แสลิปความยาวไม่จำกัดมีขดลวดบนผิวหน้า ข) มิตติของสแล็ป | 5 |
| รูปที่ 2.3 แสดงการเปลี่ยนแปลง H กับความลึกผิว | 8 |
| รูปที่ 2.4 แสดง monogram ซึ่งเป็นวิธีการหาความลึกผิวด้วยการ เทียบสเกล A,B,C | 9 |
| รูปที่ 2.5 ก) เส้นทางเดินแม่เหล็ก ข) เฟสเซอร์ไดอะแกรม | 14 |
| รูปที่ 2.6 ก) วงจรแม่เหล็กขนาน ข) วงจรสมมูลไฟฟ้าอนุกรม | 14 |
| รูปที่ 3.1 แสดงวงจรเรกติไฟร์เออร์หนึ่งเฟส ครึ่งลูกคลื่น | 15 |
| รูปที่ 3.2 แสดงวงจรเรกติไฟร์เออร์แบบหม้อแปลงแท่งปกลาง | 16 |
| รูปที่ 3.3 แสดงวงจร Fully controlled single phase bridge | 17 |
| รูปที่ 3.4 แสดงวงจรเรกติไฟร์เออร์แบบสามเฟส ครึ่งลูกคลื่น | 17 |
| รูปที่ 3.5 แรงดันเอาพุทและแรงดันคร่อมไดโอด R1 ในวงจรรูปที่ 3.4 | 19 |
| รูปที่ 3.6 วงจรเรกติไฟร์เออร์แบบสามเฟส เต็มลูกคลื่น | 19 |
| รูปที่ 3.7 แสดงช่วงการนำกระแส แรงดันเอาพุท และแรงดัน ตกคร่อมไดโอด R1 ของวงจรรูปที่ 3.6 | 20 |
| รูปที่ 3.8 ลักษณะของกระแสและแรงดันตกคร่อมเพาเวอร์ทรานซิสเตอร์ เมื่อเริ่มนำกระแสและหยุดนำกระแส | 22 |
| รูปที่ 3.9 กราฟพิคคูปลดภัย ก) FBSOA ข) RBSOA | 23 |
| รูปที่ 3.10 แสดงลักษณะสไปค์ที่ขอบขาขึ้นของกระแสไพรมารี | 24 |
| รูปที่ 3.11 แสดงวงจรอินเวอร์เตอร์แบบพุกพุล | 25 |
| รูปที่ 3.12 แสดงวงจรอินเวอร์เตอร์แบบฮาล์ฟบริจ | 26 |

เอกสารนี้เป็นเอกสารที่สงวนไว้สำหรับการใช้งานเพื่อการศึกษาเท่านั้น ไม่อนุญาตให้นำไปใช้ประโยชน์ด้านการค้า
ไม่ว่ากรณีใดๆทั้งสิ้น อีกทั้งห้ามมิให้ดัดแปลงเนื้อหา และต้องอ้างอิงถึงเจ้าของเอกสารทุกครั้งที่มีการนำไปใช้

| | |
|---|----|
| รูปที่ 3.13 แสดงแรงดันตกคร่อมทรานซิสเตอร์และคานาไพรมารีของหม้อแปลง | 26 |
| รูปที่ 3.14 แสดงวงจรฟูลบริจอินเวอร์เตอร์ | 28 |
| รูปที่ 3.15 แสดงลักษณะการลดของกระแสและการเพิ่มของแรงดันตกคร่อมเพาเวอร์ทรานซิสเตอร์ขณะเริ่มหยุดนำกระแส | 30 |
| รูปที่ 3.16 แสดงการต่อวงจรสับเบอร์ดช่วงหยุดนำกระแสเพื่อหน่วงแรงดันตกคร่อมเพาเวอร์ทรานซิสเตอร์ให้เพิ่มขึ้นอย่างช้าๆ | 30 |
| รูปที่ 3.17 แสดงการต่อวงจรสับเบอร์ดป้องกันแรงดันเกินเพื่อจำกัดค่าแรงดันสูงสุดที่ตกคร่อมเพาเวอร์ทรานซิสเตอร์ขณะหยุดนำกระแส | 32 |
| รูปที่ 4.1 แสดงตัวอย่างมาตรฐานของบอบบินสำหรับแกนเฟอร์ไรต์แบบ EE, EC และ ETD | 34 |
| รูปที่ 4.2 แสดงตัวอย่างของแกนเฟอร์ไรต์แบบ EE, EI และ ETD | 35 |
| รูปที่ 4.3 แสดงเส้นโค้งฮิสเตอร์รีซิสของแกนเฟอร์ไรต์เนื้อสาร ก) 3C8 ข) 3C6A | 37 |
| รูปที่ 4.4 แสดงลักษณะที่สมบูรณ์ของเส้นโค้งฮิสเตอร์รีซิส | 38 |
| รูปที่ 4.5 แสดงค่าการสูญเสียในแกนเฟอร์ไรต์ของเนื้อสาร ก) 3C8 ข) 3C6A | 38 |
| รูปที่ 4.6 แสดงความสัมพันธ์พื้นฐานของหม้อแปลง | 41 |
| รูปที่ 4.7 แสดงอัตราส่วนความต้านทานที่กระแสลัดต่อความต้านทานที่กระแสดรขงของลวดทองแดง | 44 |
| รูปที่ 5.1 แสดงการจัดโครงสร้างภายในและการจัดขาของไอซีเบอร์ TL 494 | 46 |
| รูปที่ 5.2 แสดงความสัมพันธ์ของค่า $R_T C_T$ ในการกำหนดความถี่ | 47 |
| รูปที่ 5.3 แสดงรูปคลื่นลักษณะการทำงานของ TL 494 | 48 |
| รูปที่ 5.4 แสดงวงจรการต่อเคดตามย | 49 |
| รูปที่ 5.5 แสดงลักษณะการเลือกใช้อุปกรณ์ของ TL 494 | 50 |

เอกสารนี้เป็นเอกสารที่สงวนไว้สำหรับการใช้งานเพื่อการศึกษาเท่านั้น ไม่อนุญาตให้นำไปใช้ประโยชน์ด้านการค้าไม่ว่ากรณีใดๆทั้งสิ้น อีกทั้งห้ามมิให้ดัดแปลงเนื้อหา และต้องอ้างอิงถึงเจ้าของเอกสารทุกครั้งที่มีการนำไปใช้

| | |
|---|----|
| รูปที่ 5.6 การต่อวงจรสร้างพัลส์ความถี่ 20 kHz ของ TL 494 | 50 |
| รูปที่ 5.7 แสดงสัญญาณเอาพุท Q1 และ Q2 ที่ C1 และ C2 | 51 |
| รูปที่ 5.8 วงจรขับเบสทรานซิสเตอร์ | 51 |
| รูปที่ 5.9 แสดงขาและส่วนประกอบภายในของ EXB 357 | 52 |
| รูปที่ 6.1 แสดงวงจรส่วนเพาเวอร์ทั้งหมด | 54 |
| รูปที่ 6.2 แสดงวงจรส่วนควบคุมการขับเบสทรานซิสเตอร์ | 55 |
| รูปที่ 6.3 ลักษณะสัญญาณขับเบสทรานซิสเตอร์ Q1 | 56 |
| รูปที่ 6.4 ลักษณะสัญญาณขับเบสทรานซิสเตอร์ Q2 | 56 |
| รูปที่ 6.5 แสดงแรงดันไฟฟ้าที่คร่อมคิซีบัส | 57 |
| รูปที่ 6.6 แสดงลักษณะของแรงดันตกคร่อมและกระแสที่ไหลผ่าน ด้านไพรมารีของหม้อแปลง | 57 |
| รูปที่ 6.7 แสดงลักษณะของแรงดันตกคร่อมและกระแสที่ไหลผ่าน ทรานซิสเตอร์ Q1 | 58 |
| รูปที่ 6.8 แสดงลักษณะของแรงดันตกคร่อมและกระแสที่ไหลผ่าน ทรานซิสเตอร์ Q2 | 58 |
| รูปที่ 6.9 แสดงลักษณะของแรงดันตกคร่อมด้านเซคันดารีของหม้อ แปลง (แรงดันที่โหลด) | 59 |

บทที่ 1

บทนำ

เครื่องหลอมโลหะโดยอาศัยการเหนี่ยวนำนั้นจะใช้หลักการของฟาราเดย์คือ เมื่อมีกระแสไหลเข้าไปในขดลวดจะทำให้เกิดสนามแม่เหล็กขึ้น ซึ่งความร้อนที่ใช้ในการหลอมจะเกิดจากสนามแม่เหล็ก กระแสและแรงดันจะผ่านวงจรอินเวอร์เตอร์ซึ่งทำหน้าที่ในการสวิตซ์ให้ ความถี่สูงขึ้นเนื่องจากการเป็นารหลอมโลหะที่ความถี่สูงใกล้เคียงกับจุดความถี่เรโซแนนซ์ ความถี่เรโซแนนซ์เป็นความถี่ที่ทำให้เกิดกำลังสูงสุด

หม้อแปลงไฟฟ้ากำลังจะใช้เพื่อเพิ่มกระแส eddy current ชนิดของแกนที่ใช้พันหม้อแปลงเป็นแกนเฟอร์ไรต์เนื่องจากที่ความถี่สูงนั้นแกนเฟอร์ไรต์จะเกิดกำลังสูญเสียน้อยกว่าที่เกิดจากแกนเหล็ก ส่วนขดลวดเหนี่ยวนำความร้อนจะใช้เป็นท่อทองแดงพันเป็นขดลวดสำหรับสร้างสนามแม่เหล็ก และเบ้าที่ใช้ใส่โลหะที่ต้องการจะหลอมเป็นเบ้าชนิดแกรไฟต์สวมลงในขดลวดเหนี่ยวนำ

วงจรควบคุมที่ใช้ขับเคลื่อนการทำงานเป็นสวิตซ์ของวงจรอินเวอร์เตอร์ซึ่งใช้ทรานซิสเตอร์เป็นอุปกรณ์สวิตซ์ซึ่งเป็นวงจรกระตุ้นจากภายนอก (Force Commutation) ซึ่งเป็นวงจรที่ใช้ในการควบคุมขั้วเบสได้ง่ายและอิสระ ดังจะกล่าวรายละเอียดในบทของวงจรควบคุม

เครื่องหลอมโลหะโดยอาศัยการเหนี่ยวนำมีข้อดีคือ ปราศจากเขม่า คิวน์ และก๊าซพิษเนื่องจากไม่มีการเผาไหม้ทำให้ไม่เป็นมลภาวะต่อสิ่งแวดล้อม ใช้เวลาในการหลอมเร็ว ราคาถูก ประหยัดพลังงาน บำรุงรักษาง่าย ส่วนประกอบของโลหะหลังจากการหลอมไม่มีการเปลี่ยนแปลง

ปริญญาานิพนธ์ฉบับนี้เป็นการศึกษาการหลอมโลหะโดยอาศัยการเหนี่ยวนำที่ความถี่สูงโดยใช้วงจรอินเวอร์เตอร์

เนื้อหาและรายละเอียดของโครงการนี้ได้แสดงไว้ในบทต่างๆดังต่อไปนี้

บทที่ 1 บทนำ กล่าวถึงโครงการต่างๆไป วัตถุประสงค์

บทที่ 2 วงจรเหนี่ยวนำความร้อน ทฤษฎีของระบบ การออกแบบขดลวดเหนี่ยวนำความร้อน

บทที่ 3 เรคตีไฟร์เออร์และอินเวอร์เตอร์ กล่าวถึงการทำงานของวงจรเรคตีไฟร์เออร์ และวงจรอินเวอร์เตอร์ วงจรสับเบอ

เอกสารนี้เป็นเอกสารที่สงวนไว้สำหรับการใช้งานเพื่อการศึกษาเท่านั้น ไม่อนุญาตให้นำไปใช้ประโยชน์ด้านการค้า ไม่ว่ากรณีใดๆทั้งสิ้น อีกทั้งห้ามมิให้ตัดแปลงเนื้อหา และต้องอ้างอิงถึงเจ้าของเอกสารทุกครั้งที่มีการนำไปใช้

- บทที่ 4 หม้อแปลงไฟฟ้ากำลัง เหตุผลที่ใช้หม้อแปลง การออกแบบหม้อแปลง
ไฟฟ้ากำลัง ขดลวดและชนิดของแกนที่ใช้พันหม้อแปลง
- บทที่ 5 วงจรส่วนควบคุมการขับทรานซิสเตอร์ วงจรขับนำทรานซิสเตอร์และการ
ทำงานของวงจรขับให้ทรานซิสเตอร์เป็นสวิตช์
- บทที่ 6 ผลของการทดลอง ลักษณะของแรงดันที่คิซีบัส ลักษณะของแรงดันและ
กระแสของทรานซิสเตอร์ขณะเปิดปิด ลักษณะของแรงดันและกระแสคร่อม
ด้านไพรมารีของหม้อแปลง ลักษณะของแรงดันที่โหลด อุณหภูมิที่เบ้าหลอม
- บทที่ 7 สรุปและวิจารณ์ผลการทดลอง รวมทั้งข้อเสนอแนะต่างๆเพื่อเป็นแนวทาง
ในการพัฒนาต่อไป

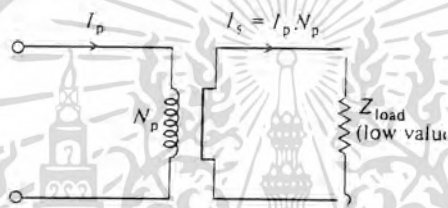


เอกสารนี้เป็นเอกสารที่สงวนไว้สำหรับการใช้งานเพื่อการศึกษาเท่านั้น ไม่อนุญาตให้นำไปใช้ประโยชน์ด้านการค้า
ไม่ว่ากรณีใดๆทั้งสิ้น อีกทั้งห้ามมิให้ตัดแปลงเนื้อหา และต้องอ้างอิงถึงเจ้าของเอกสารทุกครั้งที่มีการนำไปใช้

บทที่ 2
วงจรเหนี่ยวนำความร้อน

2.1 หลักการเหนี่ยวนำความร้อน

แนวความคิดเบื้องต้นมาจากหลักการของหม้อแปลง จากแบบโครงสร้างจะหมายถึงว่าเป็นหม้อแปลงที่มีขดลวดทุติยภูมิเพียงรอบเดียว ดังรูปที่ 2.1



รูปที่ 2.1 แสดงวงจรหม้อแปลงของขดลวดเหนี่ยวนำความร้อน

ขดลวดเหนี่ยวนำความร้อนจะมีจำนวนรอบเท่ากับ N_p และเบ้าหลอมที่สวมลงในขดลวดเหนี่ยวนำความร้อนเปรียบเสมือนขดลวดทุติยภูมิซึ่งมีเพียงรอบเดียว Z_{load} เป็นค่า impedance ของโหลดซึ่งมีค่าน้อยๆ ขดลวดปฐมภูมิและขดลวดทุติยภูมิจะถูกคั่นด้วยช่องอากาศเล็กๆ

หลักการเหนี่ยวนำความร้อนจะใช้หลักการเหนี่ยวนำแม่เหล็กไฟฟ้าซึ่งค้นพบโดยนาย ไมเคิล ฟาราเดย์ เมื่อมีกระแสไหลเข้าไปในขดลวดจะทำให้เกิดเส้นแรงแม่เหล็กเกี่ยวข้องกับขดลวด (Flux Linkage) เป็นผลทำให้เกิดกระแสไหลทางขดลวดด้านทุติยภูมิเหมือนกับเป็นการส่งผ่านพลังงานจากขดลวดเหนี่ยวนำไปยังโหลด กำลังไฟฟ้าจากแหล่งจ่ายจะเท่ากับกำลังที่สูญเสียในขดปฐมภูมิรวมกับขดทุติยภูมิ กำลังที่สูญเสียนี้ทำให้เกิดความร้อนที่ใช้ในการหลอมโลหะ

2.2 สภาพความต้านทาน (Resistivity)

สภาพความต้านทานของโลหะจะแปรเปลี่ยนตามอุณหภูมิ ซึ่งโลหะส่วนใหญ่จะขึ้นจะให้สภาพความต้านทานแปรตามอุณหภูมิก่อนข้างเป็นเส้นตรง

$$\rho_\theta = \rho_1 [1 + \alpha (\theta - \theta_1)] \quad 2.1$$

เมื่อ ρ_θ คือ สภาพความต้านทานที่อุณหภูมิ θ

ρ_1 คือ สภาพความต้านทานที่อุณหภูมิ θ_1

เอกสารนี้เป็นเอกสารที่สงวนไว้สำหรับกรใช้ ในพ็อกเก็ตกรศึกษาเท่านั้น เมื่อผู้ผู้ใดให้นำไปใช้ประโยชน์ด้านการค้าไม่ว่ากรณีใดๆทั้งสิ้น อีกทั้งห้ามมิให้ดัดแปลงเนื้อหา และต้องอ้างอิงถึงเจ้าของเอกสารทุกครั้งที่มีการนำไปใช้

ตารางข้างล่างแสดงค่า α สำหรับโลหะต่างๆ

| | α | $\rho_{20^{\circ}\text{C}} (\Omega\text{m})$ | Melting point ($^{\circ}\text{C}$) |
|---------------------------------|-----------------------|--|--------------------------------------|
| Aluminium | 4.29×10^{-3} | 2.65×10^{-8} | 660 |
| Brass(65% Cu , 35% Zn) | 1.60×10^{-3} | 6.40×10^{-8} | 931 |
| Bronze(90% Cu , 11% Zn) | 1.86×10^{-3} | 3.90×10^{-8} | 1046 |
| Copper | 3.93×10^{-3} | 1.72×10^{-8} | 1084 |
| Pure Iron | 6.50×10^{-3} | 9.71×10^{-8} | 1538 |
| Lead (slightly non-linear) | 3.36×10^{-3} | 20.65×10^{-8} | 327 |
| Silver | 4.10×10^{-3} | 1.59×10^{-8} | 962 |

ตารางที่ 2.1 แสดงค่าของ α สำหรับโลหะต่างๆ

เพื่อความง่ายในการคำนวณ เราจะจัดสมการใหม่ในรูปของ $(\rho_2 + \rho_1) / 2 = \rho_m$

จะได้

$$\rho_m = (\rho_2 + \rho_1) / 2 \quad 2.2$$

เมื่อ

$$\rho_1 = \rho_1 (1 + \alpha \theta)$$

2.3 รังสีความร้อนที่เกิดขึ้น

สำหรับการเหนี่ยวนำความร้อนที่อุณหภูมิสูงมากๆ จะเกิดการสูญเสียเนื่องจากรังสีความร้อน แต่จะตัดทิ้งได้ถ้าอุณหภูมิไม่เกิน 850 องศาเซลเซียส ค่าความสูญเสียเนื่องจากรังสีความร้อน

$$P_R = 5.67 \epsilon [\theta_s^4 - \theta_a^4] / 10^8 \quad 2.3$$

เมื่อ

ϵ คือ สัมประสิทธิ์การกระจายของพื้นผิว

θ_s คือ ค่าอุณหภูมิของผิวในหน่วยของเคลวิน

θ_a คือ ค่าอุณหภูมิของอากาศรอบๆ ในหน่วยของเคลวิน

P_R คือ ความสูญเสียเนื่องจากรังสีความร้อนต่อตารางเมตรของพื้นผิว

เอกสารนี้เป็นเอกสารที่สงวนไว้สำหรับการใช้งานเพื่อการศึกษาเท่านั้น ไม่นิยมนำไปใช้ประโยชน์ด้านการค้า ไม่ว่ากรณีใดๆทั้งสิ้น อีกทั้งห้ามมิให้ดัดแปลงเนื้อหา และต้องอ้างอิงถึงเจ้าของเอกสารทุกครั้งที่มีการนำไปใช้

2.4 ผลที่มีต่อผิวสำหรับการพิจารณาเสถียรภาพยาวไม่จำกัด

โพลดที่ใช้สำหรับการเหนี่ยวนำความร้อนมักจะใช้ลักษณะรูปทรงกระบอก แต่การพิจารณาต่อไปนี้จะพิจารณาว่าโพลดมีลักษณะเป็นแผ่นสแลป เพื่อง่ายต่อการวิเคราะห์โดยเปรียบเสมือนทรงกระบอกที่มีรัศมีไม่จำกัดจะให้ผลอยู่ในรูปที่มีลักษณะคลื่นชาชน และพิจารณาว่าโพลดมีความหนามากกว่าความลึกของผิวมาก



ข)

รูปที่ 2.2 ก) สแลปความยาวไม่จำกัดมีขดลวดบนผิวหน้า

ข) มิตติของสแลป

เอกสารนี้เป็นเอกสารที่สงวนไว้สำหรับการใช้งานเพื่อการศึกษาเท่านั้น ไม่อนุญาตให้นำไปใช้ประโยชน์ด้านการค้า ไม่ว่ากรณีใดๆทั้งสิ้น อีกทั้งห้ามมิให้ตัดแปลงเนื้อหา และต้องอ้างอิงถึงเจ้าของเอกสารทุกครั้งที่มีการนำไปใช้

ตามรูปขดลวดถูกวางติดกับแผ่นหน้าสแลป พิจารณาว่าเป็นทรงกระบอกที่มีขนาดใหญ่มากและรัศมีไม่จำกัด ความยาวของสแลปโรติก X นั้นเราจะพิจารณาว่ามีความยาว 1 เมตร ขดลวดที่พันจะทำให้เกิดสนามแม่เหล็ก H ที่ผิวของสแลป H มีหน่วยเป็นแอมแปร์ต่อเมตร ดังนั้นสิ่งที่มีผลต่อสนามแม่เหล็กคือ ความต้านทานของขดลวดและแรงดันที่ขั้วกระแสของขดลวด สมมติว่าขดลวดอยู่ใกล้กับสแลปมาก ดังนั้นสนามแม่เหล็กที่เกิดขึ้นที่ขดลวดจะเกิดสนามแม่เหล็กที่สแลปด้วย สำหรับการเหนี่ยวนำความร้อนแม่เหล็กไฟฟ้าที่ใช้จะกลับขั้ววกลบ สำหรับปัญหาทางฟิสิกส์เราจะให้ H อยู่ในแนวแกน X จะทำให้เกิดกระแสเอ็ดดี้ในทิศ Z

จากการกำหนดขอบเขตจะได้

$$H_x(y=0) = H_{0m} \cos \omega t \quad 2.4$$

$$H_y = H_z = 0 \quad 2.5$$

จะเกิดสนามแม่เหล็กในทิศ X อย่างเดียว

H_{0m} จะเป็นค่าสูงสุดของ H_x ที่ผิว($y=0$)

จากสมการของแมกซ์เวลล์ อธิบายสนามแม่เหล็ก (H) , สนามไฟฟ้า (E) , และความหนาแน่นกระแส (J) ในโลหะด้วยสมการ

$$\nabla^2 H = (\mu/p) \partial H / \partial t, \quad \nabla^2 E = (\mu/p) \partial E / \partial t, \quad \nabla^2 J = (\mu/p) \partial J / \partial t \quad 2.6$$

เรียกว่า Skin effect equation

สำหรับสนามแม่เหล็ก

$$\begin{aligned} \nabla^2 H &= \partial^2 H / \partial x^2 + \partial^2 H / \partial y^2 + \partial^2 H / \partial z^2 \\ &= (\mu/p) \partial (H_x + H_y + H_z) / \partial t \end{aligned} \quad 2.7$$

แต่ $H_y = H_z = 0$ ไม่มีการเปลี่ยนแปลงในแกน X และ Z ดังนั้นจะได้

$$\partial^2 H_x / \partial y^2 = (\mu/p) \partial H_x / \partial t \quad 2.8$$

สำหรับ H_x มีตัวแปร 2 ตัว คือ y และ t จะได้ว่า

$$H_x = H_x(y) \cos \omega t \quad 2.9$$

เมื่อ $H_x(y)$ เป็นการเปลี่ยนแปลงของ H_x ด้วยความลึก y ซึ่งสามารถเขียนในรูปของเอกโปเนนเชียลในรูปส่วนจริงคือ $H_x(y) e^{j\omega t}$ แทนค่าลงในสมการที่ 2.6 จะได้

$$d^2 H_x / dy^2 - (\mu/p) j \omega H_x = 0 \quad 2.10$$

กำหนดให้ $\alpha^2 = \mu\omega / 2\rho$ จะได้

$$d^2 H_x / dy^2 - 2j\alpha^2 H_x = 0 \quad 2.11$$

ให้ $k^2 = 2j\alpha^2$ จะได้

$$d^2 H_x / dy^2 - k^2 H_x = 0 \quad 2.12$$

แก้สมการจะได้ว่า H_x อยู่ในรูป

$$H_x = A_1 \exp(ky) + A_2 \exp(-ky) \quad 2.13$$

ใช้ค่าขอบเขตหา A_1 และ A_2 คือ $y = \alpha$, H_x ต้องจำกัด และ $A_1 = 0$ เมื่อ $y = 0$

$$H_x = H_{om} \exp(j\omega t) \quad 2.14$$

จะได้

$$H_x(y) = H_{om} \exp(-\alpha y \sqrt{2j}) \exp(j\omega t) \quad 2.15$$

ดังนั้น

$$H_x(y) = H_{om} \exp[-(1+j)\alpha y + j\omega t] \\ = H_{om} \exp(-\alpha y) \exp[j(\omega t - \alpha y)]$$

เอาเฉพาะส่วนจริง

$$H_x(y) = H_{om} \exp(-\alpha y) \cos(\omega t - \alpha y) \quad 2.16$$

ซึ่งเป็นสมการที่สำคัญของการเหนี่ยวนำ

2.5 ความลึกผิว (Skin Effect)

ข้อกำหนด

1. ที่ผิว $y = 0$, $H_x = H_{om} \cos \omega t$
2. ที่ทุกๆ ความลึกของสนามแม่เหล็กเป็นลักษณะของเอกโปเนนเชียล

สำหรับการเปลี่ยนแปลงถึงแม่จะมีความถี่เดียวกัน มีเฟสลาถหลังเท่ากับ αy สนามที่ผิวเมื่อ $y = 1/\alpha$ มีขนาด e^{-1} ค่าเฟสจะเปลี่ยนไป 1 เรเดียน (57.3 องศา) ที่ความลึกนี้ขนาดเป็น $1/e$ เท่ากับ 0.368 ของค่าที่มีชื่อว่าความลึกผิว ที่ $y = 2/\alpha$ ขนาดจะเท่ากับ e^{-2} ดังนั้น H_{om} สนามแม่เหล็กจะลดลง

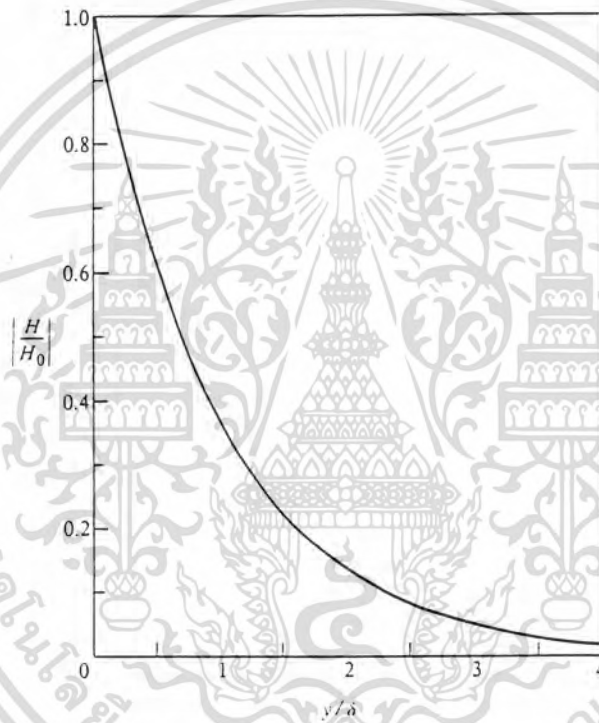
เมื่อกำหนดให้ $\alpha^2 = \mu\omega / 2f$ จะได้ว่า

$$\text{ความลึกผิว} \quad \delta = 2\rho / \mu\omega \quad 2.17$$

$$\text{เมื่อ} \quad \mu = \mu_0 \mu_r$$

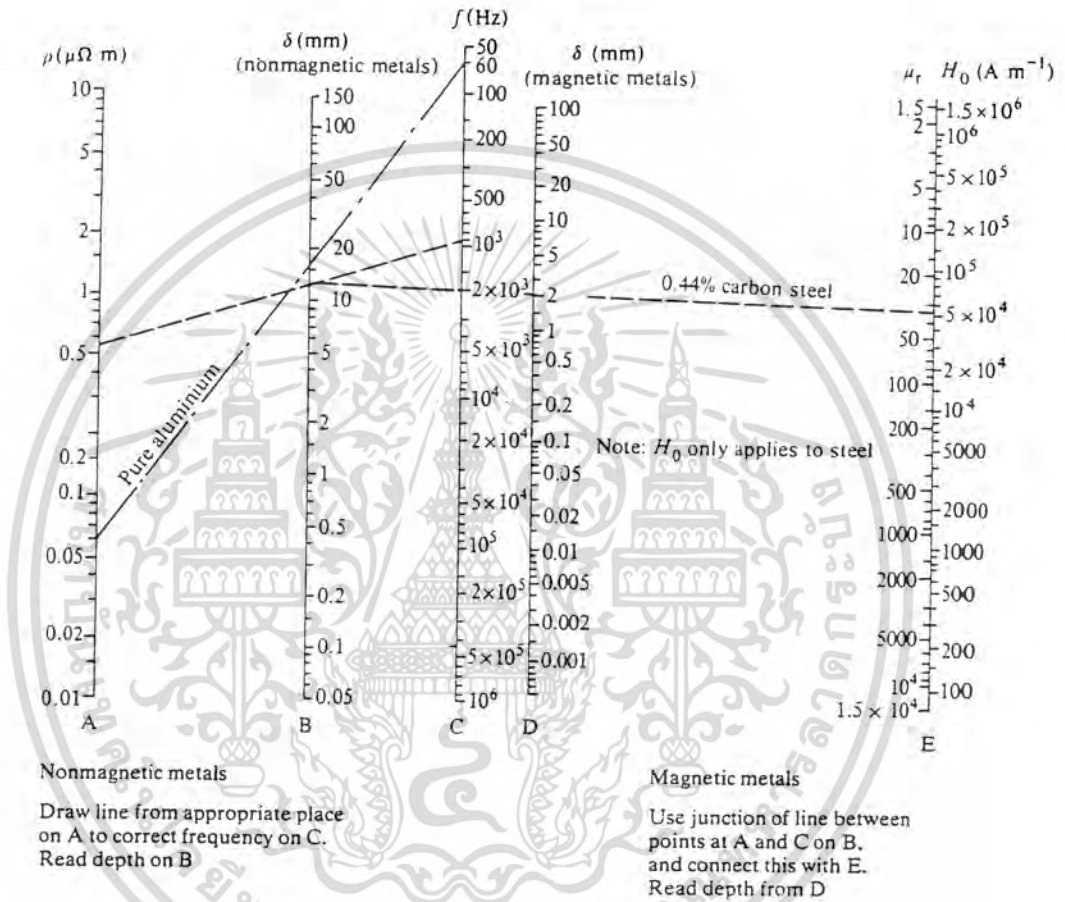
เอกสารนี้เป็นเอกสารที่สงวนไว้สำหรับการใช้งานเพื่อการศึกษาเท่านั้น ไม่นิยมนำไปใช้ประโยชน์ด้านการค้า
ไม่ว่ากรณีใดๆทั้งสิ้น อีกทั้งห้ามมิให้ตัดแปลงเนื้อหา และต้องอ้างอิงถึงเจ้าของเอกสารทุกครั้งที่มีการนำไปใช้

ความลึกของผิวจะแปรตามรากที่สองของความต้านทานกับส่วนกลับของรากที่สองของค่า permeability กับความถี่



รูปที่ 2.3 แสดงการเปลี่ยนแปลง H กับความลึกผิว

เอกสารนี้เป็นเอกสารที่สงวนไว้สำหรับการใช้งานเพื่อการศึกษาเท่านั้น ไม่อนุญาตให้นำไปใช้ประโยชน์ด้านการค้า ไม่ว่าจะกรณีใดๆทั้งสิ้น อีกทั้งห้ามมิให้ตัดแปลงเนื้อหา และต้องอ้างอิงถึงเจ้าของเอกสารทุกครั้งที่มีการนำไปใช้



รูปที่ 2.4 แสดง monogram ซึ่งเป็นวิธีการหาความลึกผิวด้วยการ
เทียบสเกล A,B,C

เอกสารนี้เป็นเอกสารที่สงวนไว้สำหรับการใช้งานเพื่อการศึกษาเท่านั้น ไม่นิยมนำไปใช้ประโยชน์ด้านการค้า
ไม่ว่ากรณีใดๆทั้งสิ้น อีกทั้งห้ามมิให้ดัดแปลงเนื้อหา และต้องอ้างอิงถึงเจ้าของเอกสารทุกครั้งที่มีการนำไปใช้

2.6 ความหนาแน่นกระแส ความหนาแน่นแม่เหล็กและความหนาแน่นสนามไฟฟ้า

โดยใช้สมการที่ 2.16 และจากความสัมพันธ์ $B = \mu H$ เมื่อเราพิจารณาว่าเนื้อโลหะให้การนำแม่เหล็กเป็นแบบเส้นตรงจะได้ว่า

$$B_x(y) = B_{0m} \exp(-\alpha y) \cos(\omega t - \alpha y) \quad 2.18$$

เราสามารถใส่สมการของแมกซ์เวลล์ $J = \text{เคิร์ล } H$ เพื่อให้ได้ J ที่ทุกตำแหน่งของสแล็บ ดีเทอร์มิแนนต์สำหรับเคิร์ล H คือ

$$\begin{vmatrix} i & j & k \\ \frac{\partial}{\partial x} & \frac{\partial}{\partial y} & \frac{\partial}{\partial z} \\ H_x & H_y & H_z \end{vmatrix}$$

เราพิจารณาไปแล้วว่า $H_y = H_z = 0$ และไม่มีการเปลี่ยนแปลงความเข้มสนามแม่เหล็กในทิศทางของ X และ Z จะได้ว่า

$$\begin{vmatrix} i & j & k \\ 0 & \frac{\partial}{\partial y} & 0 \\ H_x & 0 & 0 \end{vmatrix}$$

และ

$$\begin{aligned} J &= -k \{ -\exp(j\omega t) [\exp(-\alpha y \sqrt{2j})] \} H_{0m} \\ &= k [\alpha \sqrt{2j} \exp(-\alpha y \sqrt{2j} + j\omega t)] H_{0m} \end{aligned}$$

แต่

$$\sqrt{2j} = 1+j = \sqrt{2} \exp(j\pi/4) \quad \text{ดังนั้น}$$

$$\begin{aligned} J_z &= k [\alpha \sqrt{2} \exp(-\alpha y(1+j) + j\omega t + j\pi/4)] \\ &= k \alpha \sqrt{2} H_{0m} [\exp(-\alpha y) \cos(\omega t - \alpha y + \pi/4)] \quad 2.19 \end{aligned}$$

เมื่อ $y = 0$

$$\begin{aligned} J_{z0} &= \sqrt{2} H_{0m} \alpha \exp[j(\omega t + \pi/4)] \\ &= \sqrt{2} H_{x0} \alpha \exp(j\pi/4) \end{aligned}$$

ดังนั้น

$$\begin{aligned} J_z(y) &= J_{0m} \exp(\omega t - \alpha y \sqrt{2j}) \\ &= J_{0m} \exp(-\alpha y) \cos(\omega t - \alpha y) \quad 2.20 \end{aligned}$$

เอกสารนี้เป็นเอกสารที่สงวนไว้สำหรับการใช้งานเพื่อการศึกษาเท่านั้น ไม่นุญญาติให้นำไปใช้ประโยชน์ด้านการค้าไม่ว่ากรณีใดๆทั้งสิ้น อีกทั้งห้ามมิให้ดัดแปลงเนื้อหา และต้องอ้างอิงถึงเจ้าของเอกสารทุกครั้งที่มีการนำไปใช้

แสดงถึงการเปลี่ยนแปลงของ J_x ไปในแนวเดียวกับ H และ B ความสัมพันธ์เป็นไปตามค่าของผิว

เรารู้ว่า $E = \rho J$ จะได้ว่า

$$E_x = \rho J_x = \rho J_{0m} \exp(-\alpha y) \cos(\omega t - \alpha y) \quad 2.21$$

2.7 กระแสทั้งหมด

กระแสทั้งหมดในความกว้างสแลป 1 เมตรสามารถหาได้โดยการอินทิเกรต J ตลอดความลึกของสแลป

$$\begin{aligned} \text{กระแสต่อความกว้างเมตร} &= \int J_z dy(x_1) \\ &= \int J_{0m} \exp(-\alpha y) \cos(\omega t - \alpha y) dy \\ &= J_{0m} \text{ ส่วนจริงของ } \int \exp[j\omega t - (1+j)\alpha y] dy \\ &= J_{0m} \text{ ส่วนจริงของ } \frac{\exp[j\omega t - (1+j)\alpha y]}{-(1+j)\alpha} \\ &= J_{0m} \text{ ส่วนจริงของ } \frac{\exp(j\omega t)}{(1+j)\alpha} \\ &= J_{0m} \frac{\exp(j\omega t)}{\alpha \sqrt{2} \exp(j\pi/4)} \\ &= J_{0m} \cos(\omega t - \pi/4) / \sqrt{2}\alpha \quad 2.22 \end{aligned}$$

ด้วยเหตุนี้ กระแสทั้งหมดต่อหน่วยความกว้างจะตามหลังความหนาแน่นกระแสประมาณ 45 องศา แต่

$$J_{0m} = \sqrt{2} H_{0m} \alpha \exp j(\omega t + \pi/4)$$

จากสมการ 2.20 จะได้ว่า

$$\begin{aligned} \text{กระแสต่อความกว้าง(เมตร)} &= [\sqrt{2} H_{0m} \alpha \exp j(\omega t + \pi/4)] \exp(-j\pi/4) / \sqrt{2}\alpha \\ &= H_{0m} \exp(j\omega t) \quad 2.23 \end{aligned}$$

2.8 การออกแบบขดลวดเหนี่ยวนำความร้อน

การออกแบบขดลวดเหนี่ยวนำความร้อนจะเริ่มต้นด้วยให้ความเข้มข้นแม่เหล็กที่ผิวของเบ้าหลอมมีค่า H_{0m} เพื่อทำให้เกิดความร้อน จะมีส่วนประกอบของเส้นแรงแม่เหล็ก 3 ส่วนที่เกี่ยวข้องดังแสดงในรูปที่ 2.5 a)

เอกสารนี้เป็นเอกสารที่สงวนไว้สำหรับการใช้งานเพื่อการศึกษาเท่านั้น ไม่อนุญาตให้นำไปใช้ประโยชน์ด้านการค้า ไม่ว่ากรณีใดๆทั้งสิ้น อีกทั้งห้ามมิให้ดัดแปลงเนื้อหา และต้องอ้างอิงถึงเจ้าของเอกสารทุกครั้งที่มีการนำไปใช้

1. ϕ_w คือ เส้นแรงแม่เหล็กของเบ้าหลอม
2. ϕ_g คือ เส้นแรงแม่เหล็กในช่องอากาศ
3. ϕ_c คือ เส้นแรงแม่เหล็กที่ผ่านขดลวด

กำลังที่สูญเสียและเส้นแรงแม่เหล็กของเบ้าหลอมมีความสัมพันธ์กับค่า H และเทอม

ของ p และ q

เส้นแรงแม่เหล็กของเบ้าหลอม

$$P_w = \mu \pi f H_{Rm}^2 (l_w A_w) p \quad 2.24$$

และ

$$\phi_w = \mu H_{Rm} A_w (q - jp) \quad 2.25$$

โดยที่

P_w คือ กำลังที่เบ้าหลอม (วัตต์)

H_{Rm} คือ ความเข้มสนามแม่เหล็กบนพื้นผิว (แอมป์ต่อเมตร)

ϕ_w คือ เส้นแรงแม่เหล็กทั้งหมดในเบ้าหลอม (Wb)

l_w, A_w คือ ความยาว และพื้นที่หน้าตัดของเบ้าหลอม (m , m²)

เส้นแรงแม่เหล็กในช่องอากาศ

$$\phi_g = \mu_0 H_{Rm} A_g \quad 2.26$$

เส้นแรงแม่เหล็กในขดลวดเหนี่ยวนำ

$$\begin{aligned} \phi &= [\mu_0 H_{om} / \sqrt{2} \alpha] [(1-j) / \sqrt{2}] \\ &= \mu_0 H_{om} \delta_c (1-j) / 2 \end{aligned}$$

จะได้

$$\phi_c = [k_r \mu_0 \delta_c \pi d_c / 2] H_{om} (1-j) \quad 2.27$$

ผลรวมของเส้นแรงแม่เหล็กทั้งหมด

$$\phi_o = \phi_w + \phi_g + \phi_c$$

$$\phi_{om} = \mu_0 H_{om} [(A_g + \mu_r q A_w + k_r \pi d_c \delta_c / 2) - j (\mu_r p A_w + k_r \pi d_c \delta_c / 2)] \quad 2.28$$

$$H_{om} = \sqrt{2} I_c N_c / l_c \quad 2.29$$

ค่าแรงดัน r.m.s. คือ

$$E_c = (j 2 \pi f N_c \phi_{om}) / \sqrt{2} \quad 2.30$$

แทนค่าต่างๆลงในสมการที่ 2.30 จะได้

$$E_C = (2\pi f \mu_0 N_C^2 I_C) / l_C [(\mu_r p A_w + k_r \pi d_c \delta_c / 2) + j(Ag + \mu_r q A_w + k_r \pi d_c \delta_c / 2)] \quad 2.31$$

จากรูปที่ 2.6 จะได้ว่า

$$Z = (R_w + R_c) + j(X_c + X_g + X_w)^2$$

| | | |
|-------|--|-------|
| เมื่อ | ความต้านทานของเบ้าลอม $R_w = K(\mu_r p A_w)$ | โอห์ม |
| | ความต้านทานของขดลวด $R_c = K(k_r \pi d_c \delta_c / 2)$ | โอห์ม |
| | ค่า reactance ของช่องอากาศ $X_g = KAg$ | โอห์ม |
| | ค่า reactance ของเบ้าลอม $X_w = K(\mu_r q A_w)$ | โอห์ม |
| | ค่า reactance ของขดลวด $X_c = K(k_r \pi d_c \delta_c / 2)$ | โอห์ม |

โดยที่ $K = [2\pi f \mu_0 N_C^2 / 2]$

ประสิทธิภาพของขดลวด

$$\eta = R_w / (R_c + R_w) \quad 2.32$$

ค่า power factor ของขดลวด

$$\cos \phi = (R_w + R_c) / Z \quad 2.33$$

ซึ่ง $Z^2 = (R_c + R_w)^2 + (X_g + X_w + X_c)^2$

กำลังของขดลวด

$$P = P_w / \eta$$

$$VA \text{ ของขดลวด } (VA)_C = P / \cos \phi = I^2 Z \quad 2.34$$

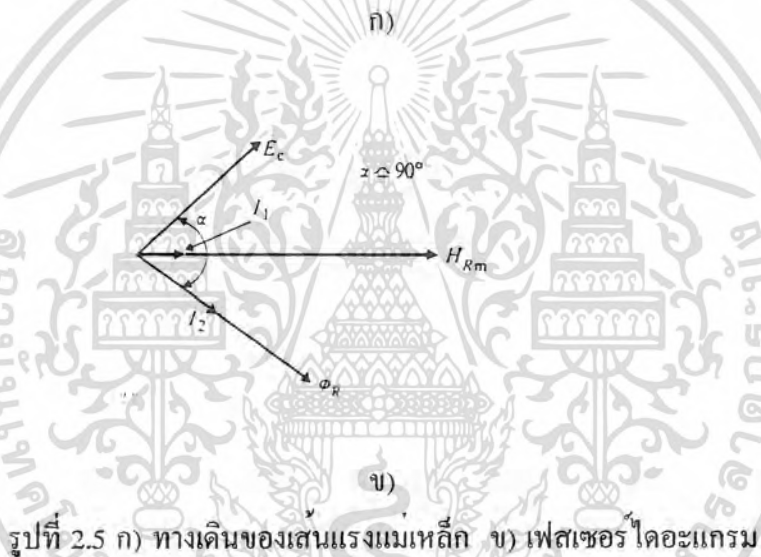
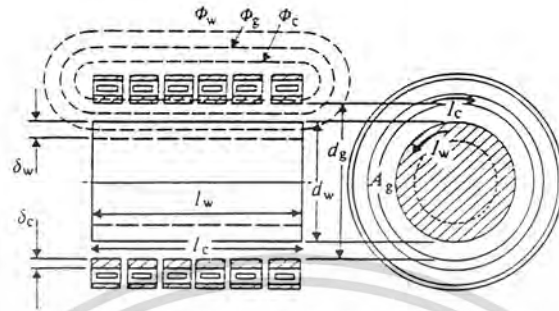
โวลต์ต่อรอบ

$$\begin{aligned} E_C / N_C &= (VA \text{ ของขดลวด}) / \text{แอมแปร์-เทิร์น} \\ &= (VA)_C / H_0 I_C \end{aligned} \quad 2.35$$

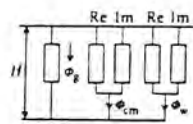
แอมแปร์-เทิร์นของขดลวด

$$I_C N_C = H_0 I_C \quad 2.36$$

เมื่อทำการแทนค่าทุกตัวแปรและแก้สมการที่ 2.35 และ 2.36 ก็จะได้จำนวนรอบที่ต้องพันของขดลวดเหนี่ยวนำความร้อนซึ่งจากการแทนค่าทุกตัวแปรลงในสมการแล้วคำนวณจำนวนรอบของขดลวดเหนี่ยวนำความร้อนได้เท่ากับ 10 รอบ

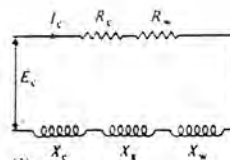


รูปที่ 2.5 ก) ทางเดินของเส้นแรงแม่เหล็ก ข) เฟสเซอร์ ไดอะแกรม



ก)

รูปที่ 2.6 ก) วงจรแม่เหล็กขงวนาน



ข)

ข) วงจรสมมูลไฟฟ้าอนุกรม

เอกสารนี้เป็นเอกสารที่สงวนไว้สำหรับการใช้งานเพื่อการศึกษาเท่านั้น ไม่อนุญาตให้นำไปใช้ประโยชน์ด้านการค้า
ไม่ว่ากรณีใดๆทั้งสิ้น อีกทั้งห้ามมิให้ดัดแปลงเนื้อหา และต้องอ้างอิงถึงเจ้าของเอกสารทุกครั้งที่มีการนำไปใช้

บทที่ 3

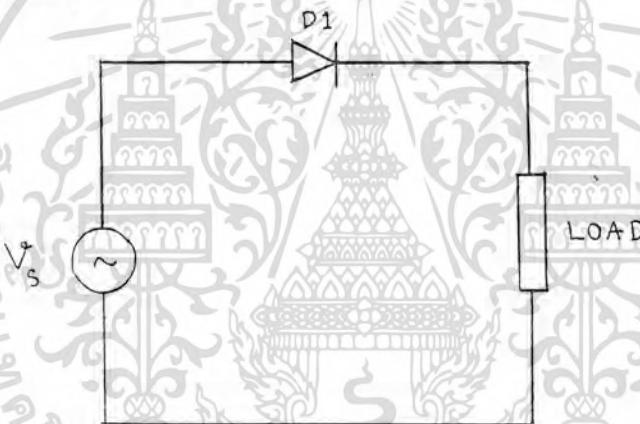
เรกติไฟเออร์และอินเวอร์เตอร์

3.1 เรกติไฟเออร์ (Rectifier)

การเปลี่ยนแปลงไฟฟ้ากระแสสลับจากแหล่งจ่ายไฟฟ้าเป็นไฟฟ้ากระแสตรงให้กับโหลด แรงดันไฟฟ้ากระแสตรงที่ได้จะไม่ราบเรียบเหมือนกับได้จากแบตเตอรี่ แต่จะประกอบด้วย ripple ในที่นี้จะศึกษาวงจรการเปลี่ยนไฟฟ้ากระแสสลับเป็นไฟฟ้ากระแสตรง

3.1.1 วงจรเรกติไฟเออร์ชนิดหนึ่งเฟส ครึ่งลูกคลื่น

(Single Phase half wave rectifier circuit)



รูปที่ 3.1 แสดงวงจรเรกติไฟเออร์ชนิดหนึ่งเฟส ครึ่งลูกคลื่น

ในขณะที่ไดโอดได้รับฟอร์เวิร์ดไบอัสคือ ที่แรงดันที่แอโนดเป็นบวกเมื่อเทียบกับคาโทด ไดโอดจะนำกระแสผ่านไปยังโหลด แรงดันที่ปรากฏที่โหลดคือแรงดันของแหล่งจ่ายเฉพาะซีกบวก และเมื่อไดโอดได้รับรีเวิร์ดไบอัสคือ แรงดันที่คาโทดเป็นบวกเมื่อเทียบกับแอโนด จะทำให้ไดโอดหยุดนำกระแส แรงดันที่โหลดในช่วงนี้จะเป็นศูนย์ จนกระทั่งไดโอดได้รับฟอร์เวิร์ดไบอัสไดโอดก็จะนำกระแสอีกเป็นเช่นนี้สลับกันไป

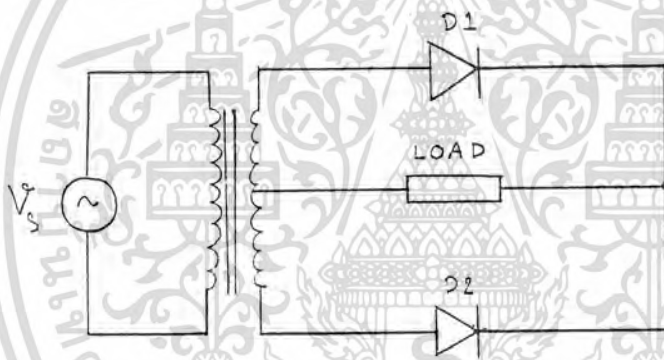
3.1.2 วงจรเรกติไฟเออร์ชนิดหนึ่งเฟส เต็มลูกคลื่น

(Single Phase full wave rectifier circuit)

ในวงจรการเปลี่ยนไฟฟ้ากระแสสลับเป็นไฟฟ้ากระแสตรงชนิด 1 เฟส ครึ่งลูกคลื่นจะใช้ไดโอดเพียงตัวเดียว แต่ในการเปลี่ยนไฟฟ้ากระแสสลับเป็นไฟฟ้ากระแสตรงชนิด 1 เฟส เต็มลูกคลื่นมีลักษณะการต่อหลายแบบ ซึ่งจะอธิบายดังต่อไปนี้

ก) Full wave rectifier with center tap transformer

การเปลี่ยนไฟฟ้ากระแสสลับเป็นไฟฟ้ากระแสตรงแบบเต็มลูกคลื่นโดยใช้หม้อแปลงที่มีจุดกึ่งกลางดังแสดงไว้ในรูปที่ 3.2 จะใช้ไดโอดเพียง 2 ตัว เปลี่ยนกันนำกระแสตัวละครึ่งลูกคลื่น ไดโอดตัวที่ 1 จะนำกระแสขณะที่แรงดันของแหล่งจ่าย V_A เป็นบวกเมื่อเทียบกับจุดกึ่งกลางของหม้อแปลง ไดโอดตัวที่ 1 จะหยุดนำกระแสเมื่อ V_A ตกลงสู่ศูนย์คือที่มุม 180 องศา และไดโอดตัวที่ 2 จะเริ่มนำกระแสต่อไปยังโหลด ไดโอดตัวที่ 2 จะหยุดนำกระแสที่มุม 360 องศา และไดโอดตัวที่ 1 จะนำกระแสต่อเช่นนี้สลับกันไป



รูปที่ 3.2 แสดงวงจรเรกติไฟเออร์แบบหม้อแปลงแท่งกึ่งกลาง

$$V_{O(\text{ave})} = (1/\pi) \int_0^\pi \sqrt{2} V_A \sin \omega t \, d\omega t$$

$$= (2\sqrt{2} V) / \pi$$

3.1

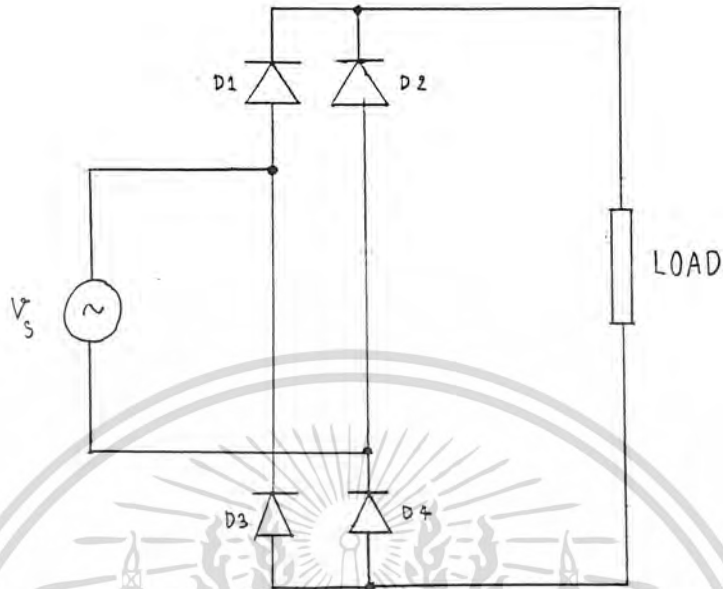
$V_A = V_B =$ แรงดันอาร์เอ็มเอส ระหว่างขั้ว A และ B เทียบกับจุดกึ่งกลางของหม้อแปลงทางด้านขดจ่ายไฟ

ข) Fully controlled single phase bridge

วงจรเปลี่ยนไฟฟ้ากระแสสลับเป็นไฟฟ้ากระแสตรงแบบบริจ หนึ่งเฟสจะประกอบด้วยไดโอดจำนวน 4 ตัว ดังแสดงในรูปที่ 3.3 ในวงจรแบบนี้จะสามารถจ่ายพลังงานกลับสู่แหล่งจ่ายไฟกระแสสลับได้ กระแสไหลผ่านโหลดเมื่อไดโอด 1 และ 2 เมื่อแรงดันแหล่งจ่ายอยู่ในไซเคิลบวกและจะหยุดนำกระแสเมื่อแรงดันตกเป็นศูนย์ที่มุม 180 องศา ไดโอด 3 และ 4 จะนำกระแสทันทีเมื่อเริ่มช่วงไซเคิลลบและจะหยุดนำกระแสเมื่อแรงดันของแหล่งจ่ายเป็นศูนย์ที่มุม 360 องศา ไดโอด 1 และ 2 ก็จะนำกระแสเช่นนี้สลับกันไป

เอกสารนี้เป็นเอกสารที่สงวนไว้สำหรับการใช้งานเพื่อการศึกษาเท่านั้น ไม่อนุญาตให้นำไปใช้ประโยชน์ด้านการค้า

ไม่ว่ากรณีใดๆทั้งสิ้น อีกทั้งห้ามมิให้ตัดแปลงเนื้อหา และต้องอ้างอิงถึงเจ้าของเอกสารทุกครั้งที่มีการนำไปใช้



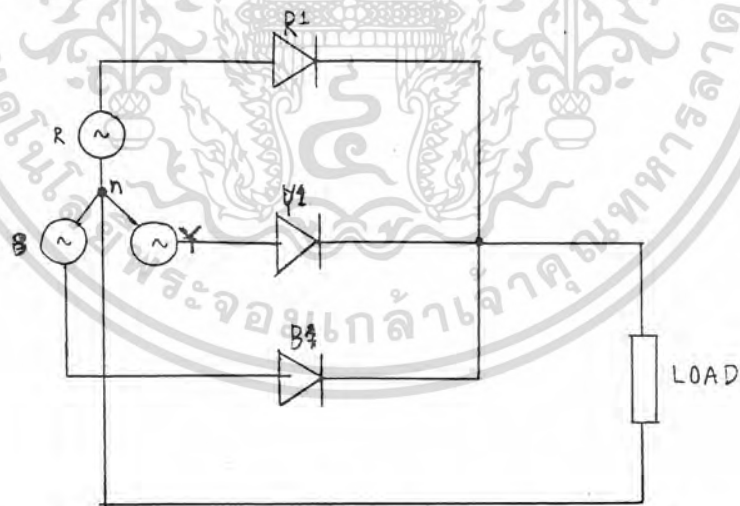
รูปที่ 3.3 แสดงวงจร Fully controlled single phase bridge

$$V_{O(ave)} = (2\sqrt{2} V) / \pi$$

3.2

3.1.3 วงจรเรกติไฟเออร์แบบสามเฟส ครึ่งลูกคลื่น

(Three phase half wave rectifier circuit)



รูปที่ 3.4 แสดงวงจรเรกติไฟเออร์แบบสามเฟส ครึ่งลูกคลื่น

เอกสารนี้เป็นเอกสารที่สงวนไว้สำหรับการใช้งานเพื่อการศึกษาเท่านั้น ไม่อนุญาตให้นำไปใช้ประโยชน์ด้านการค้า
ไม่ว่ากรณีใดๆทั้งสิ้น อีกทั้งห้ามมิให้ตัดแปลงเนื้อหา และต้องอ้างอิงถึงเจ้าของเอกสารทุกครั้งที่มีการนำไปใช้

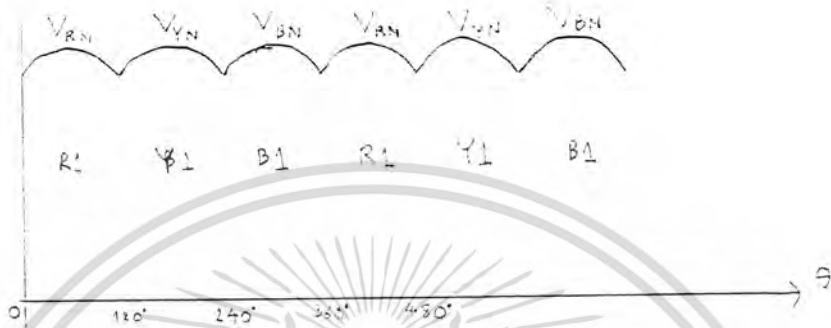
การเปลี่ยนไฟฟ้ากระแสสลับ 3 เฟส เป็นไฟฟ้ากระแสตรงชนิดครึ่งลูกคลื่นมีการต่อวงจรดังแสดงในรูปที่ 3.4 ไดโอดจะนำกระแสเมื่อได้รับแรงดันฟอร์เวิร์ดไบอัส นั่นคือ R1 จะนำกระแสในช่วง $V_{RN} > V_{YN}$ และ Y1 จะนำกระแสระหว่าง $V_{YN} > V_{BN}$ เรคติไฟร์เออร์แต่ละตัวจะนำกระแสเป็นมุม 120 องศา เมื่อให้ V_{RY} เป็นแรงดันอ้างอิง จะได้ช่วงที่เรคติไฟร์เออร์นำกระแสดังต่อไปนี้

| เรคติไฟร์เออร์ | ช่วงที่เรคติไฟร์เออร์ | ช่วงนำกระแสจะเริ่มขณะที่ V_{BR} เปลี่ยนจากบวกเป็นลบจนกระทั่งแรงดัน V_{RY} เป็นลบ |
|----------------|-----------------------|--|
| R1 | 60-180 องศา | |
| Y1 | 180-300 องศา | ช่วงนำกระแสเริ่มจากขณะที่ V_{RY} เป็นลบจนกระทั่งแรงดัน V_{YB} เป็นลบ |
| B1 | 300-420 องศา | ช่วงที่เริ่มนำกระแสเริ่มจาก V_{YB} เป็นลบจนกระทั่งแรงดัน V_{BR} เป็นลบ |

ในรูปที่ 3.5 แสดงแรงดันของเอาพุทและแรงดันคร่อมไดโอด R1 ขณะที่ไดโอดนำกระแสแรงดันคร่อมไดโอดจะมีค่าประมาณ 1 โวลต์ ไดโอดจะไม่นำกระแสเป็นมุม 240 องศา เมื่อ R1 กำลังนำกระแสแรงดันตกคร่อมประมาณ 1 โวลต์คือ ช่วงมุม 60 ถึง 180 องศา แต่ในช่วงระหว่าง 180 ถึง 300 องศา ไดโอด Y1 กำลังนำกระแส ขั้วคาโทดของ R1 จึงต่อเข้ากับเฟส Y และ ขั้วแอนอดของ R1 ต่อกับเฟส R แรงดัน V_{RY} เป็นลบ ไดโอด R1 จะได้รับรีเวิร์ดไบอัส และช่วงระหว่างมุม 300 ถึง 360 องศา แรงดันคร่อมไดโอด R1 คือ V_{BR} เป็นลบ ทำให้ไดโอด R1 ได้รับรีเวิร์ดไบอัส เพราะว่าไดโอด B1 กำลังนำกระแส



V_{LOAD}
A



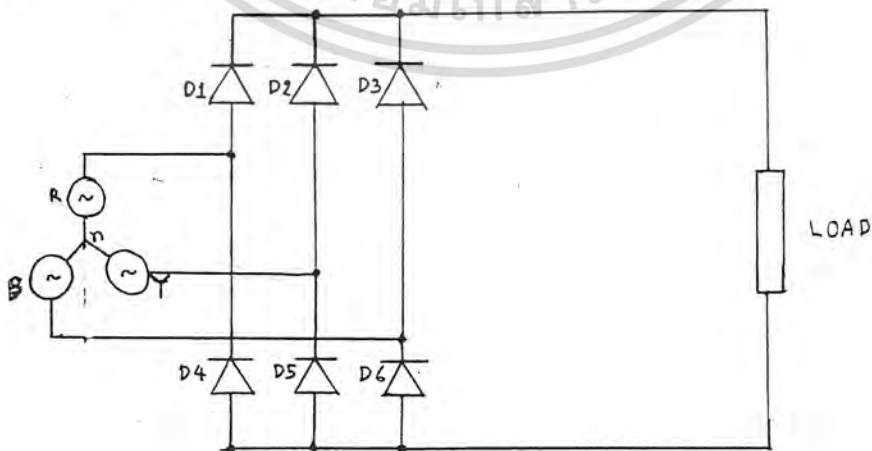
รูปที่ 3.5 แรงดันเอาพุทและแรงดันคร่อมไดโอด R1 ของวงจรในรูปที่ 3.4

$$V_{O(ave)} = (3\sqrt{3}/2\pi) V_{RMS(L-N)} \quad 3.3$$

3.1.4 วงจรเรกติไฟเออร์แบบสามเฟส เต็มลูกคลื่น

(Three phase full wave rectifier circuit)

ข้อดีของการเปลี่ยนไฟฟ้ากระแสสลับสามเฟส เป็นไฟฟ้ากระแสตรงในลักษณะของแบบเต็มลูกคลื่นคือ 1) ได้กำลังไฟฟ้าสูง 2) มี ripple น้อย 3) ไม่มี d.c. magnetization ในหม้อแปลงของวงจร จากข้อดีเหล่านี้ในโครงการงานนี้จึงได้เลือกเรกติไฟเออร์ชนิดนี้มาใช้งาน เรกติไฟเออร์แบบสามเฟส เต็มลูกคลื่นสามารถต่อวงจรได้ดังรูปที่ 3.6



รูปที่ 3.6 วงจรเรกติไฟเออร์แบบสามเฟส เต็มลูกคลื่น

เมื่อ R1 และ Y2 นำกระแสแรงดัน Line V_{RY} จะปรากฏคร่อมที่โหลดเหมือนกับ R1 และ B2 นำกระแส แรงดัน Line V_{RB} จะปรากฏคร่อมที่โหลด ดังนั้นแรงดันที่โหลดจะเป็น $V_{RY}, V_{RB}, V_{YB}, V_{YR}, V_{BR}, V_{BY}, \dots$ ขึ้นอยู่กับว่าไดโอดตัวไหนนำกระแส แรงดันเฉลี่ยเอา พุทจะมีค่าเท่ากับ

$$\begin{aligned}
 V_{O(ave)} &= (3/\pi) \int_{60^\circ}^{120^\circ} V_{RY} d\omega t \\
 &= (3/\pi) \int_{60^\circ}^{120^\circ} \sqrt{2} V_{RMS} \sin \omega t d\omega t \\
 &= (3\sqrt{2}/\pi) V_{RMS(L-L)} [-\cos \omega t]_{60^\circ}^{120^\circ} \\
 &= (3\sqrt{2}/\pi) V_{RMS(L-L)}
 \end{aligned}
 \tag{3.4}$$



รูปที่ 3.7 แสดงช่วงการนำกระแส, แรงดันเอาพุท และแรงดันตกคร่อมไดโอด R1

ของวงจรรูปที่ 3.6

เอกสารนี้เป็นเอกสารที่สงวนลิขสิทธิ์สำหรับการเรียนเพื่อการศึกษาเท่านั้น ไม่อนุญาตให้นำไปใช้ประโยชน์ด้านการค้า ไม่ว่ากรณีใดๆทั้งสิ้น อีกทั้งห้ามมิให้ตัดแปลงเนื้อหา และต้องอ้างอิงถึงเจ้าของเอกสารทุกครั้งที่มีการนำไปใช้

3.2 ทรานซิสเตอร์กำลัง (Power Transistor)

เพาเวอร์ทรานซิสเตอร์ในวงจรอินเวอร์เตอร์จะมีการทำงานในลักษณะเป็นสวิตช์และมีโพลเป็นตัวแทนยวนำ เพาเวอร์ทรานซิสเตอร์ต้องใช้เวลาส่วนหนึ่งในการเปลี่ยนสถานะของตัวมันเมื่อจะเริ่มนำกระแส (turn on) และเมื่อจะหยุดนำกระแส (turn off) รวมทั้งเพาเวอร์ทรานซิสเตอร์ยังมีแรงดันตกคร่อมตัวมันขณะนำกระแส ($V_{CE(SAT)}$) อีกด้วย การเปลี่ยนสถานะและแรงดันตกคร่อมขณะนำกระแสจะทำให้เกิดกำลังงานสูญเสียในรูปของความร้อน (power dissipation) ขึ้นในตัวเพาเวอร์ทรานซิสเตอร์ ดังนั้นก่อนที่จะนำเพาเวอร์ทรานซิสเตอร์มาใช้งานจึงจำเป็นต้องศึกษากำลังงานสูญเสีย และเทคนิคการลดกำลังงานสูญเสียที่จะเกิดขึ้นเพื่อยืดอายุการใช้งาน และให้เกิดประสิทธิภาพในการทำงานของเพาเวอร์ทรานซิสเตอร์ได้มากที่สุดด้วย

ปัจจุบันไบโพลาร์เพาเวอร์ทรานซิสเตอร์ได้ถูกเพาเวอร์มอสเฟตเข้ามาแทนที่อย่างรวดเร็ว เนื่องจากเพาเวอร์มอสเฟตใช้เวลาในช่วงเปลี่ยนสถานะสั้น จึงเกิดกำลังสูญเสียต่ำกว่าและใช้งานที่ความถี่สูงๆ ได้ดี อย่างไรก็ตามไบโพลาร์เพาเวอร์ทรานซิสเตอร์ยังคงมีข้อดีอยู่คือ มีอัตราการทำงานแรงดันตกคร่อมสูงและมีราคาถูกกว่า รวมทั้งการพัฒนาให้เพาเวอร์ทรานซิสเตอร์ทำงานได้เร็วขึ้นเพื่อให้ใช้งานได้ถึงความถี่สูงๆ และการลดกำลังงานสูญเสียยังคงมีการกระทำกันอยู่ในปัจจุบัน ดังนั้นไบโพลาร์เพาเวอร์ทรานซิสเตอร์จึงยังคงมีการใช้งานกันอยู่ และมีความจำเป็นที่จะต้องศึกษาให้เข้าใจลักษณะการทำงาน และการเกิดกำลังงานสูญเสียในรูปความร้อนของไบโพลาร์เพาเวอร์ทรานซิสเตอร์เอาไว้ด้วย

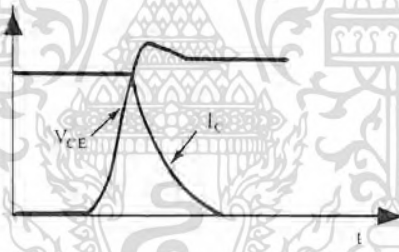
3.2.1 กำลังงานสูญเสียในรูปความร้อนของไบโพลาร์เพาเวอร์ทรานซิสเตอร์

กำลังงานสูญเสียของไบโพลาร์เพาเวอร์ทรานซิสเตอร์เป็นไปได้นั้น 2 ลักษณะคือ กำลังงานสูญเสียที่เกิดขึ้นขณะเปลี่ยนสถานะการทำงาน (switching loss) และกำลังงานสูญเสียที่เกิดขึ้นขณะนำกระแสที่จุดอิ่มตัว (saturation loss) สำหรับการเปลี่ยนแปลงสถานะของการทำงานของไบโพลาร์เพาเวอร์ทรานซิสเตอร์ กำลังงานสูญเสียจะเกิดขึ้นได้ทั้งในขณะที่เริ่มนำกระแส และขณะเริ่มหยุดนำกระแส แต่กำลังงานสูญเสียจะเกิดขึ้นสูงสุดขณะที่เริ่มหยุดนำกระแสเป็นหลัก

เมื่อเริ่มให้กระแสไบอัสที่ขาเบสของเพาเวอร์ทรานซิสเตอร์ กระแสคอลเล็กเตอร์ของเพาเวอร์ทรานซิสเตอร์จะเพิ่มขึ้นอย่างรวดเร็ว ในขณะที่แรงดันตกคร่อมคอลเล็กเตอร์ และอีมิเตอร์ (V_{CE}) จะยังคงมีค่าเท่ากับ V_{CC} และจะใช้เวลาช่วงหนึ่งคือ t_{on} เพื่อลดค่าแรงดันลงมาเป็น

$V_{CE(SAT)}$ กำลังงานสูญเสียจะเกิดขึ้นในช่วงเวลา t_{on} นี้เนื่องจากเพาเวอร์ทรานซิสเตอร์มีแรงดันตกคร่อมตัวมันสูงขณะมีกระแสไหล อย่างไหลก็ตามช่วงเวลา t_{on} นี้ค่อนข้างสั้น และกระแสเริ่มต้นที่ไหลผ่านมักมีค่าต่ำ กำลังงานสูญเสียขณะเริ่มนำกระแสของเพาเวอร์ทรานซิสเตอร์ในช่วงนี้จึงมีค่าต่ำกว่าตอนหยุดนำกระแส

เมื่อหยุดให้กระแสไปอัสและป้อนกระแสไปอัสเป็นค่าลบให้กับเพาเวอร์ทรานซิสเตอร์ เพื่อหยุดการนำกระแส เพาเวอร์ทรานซิสเตอร์ยังคงนำกระแสต่อไปอีกเป็นเวลา t_s ซึ่งเป็นผลจากการเกิดประจุสะสมขึ้นในเพาเวอร์ทรานซิสเตอร์ขณะนำกระแส ช่วงเวลา t_s นี้จะเรียกว่า ช่วงเวลาสะสม (storage time) และขณะช่วงเวลา t_s นี้ แรงดันตกคร่อมเพาเวอร์ทรานซิสเตอร์จะเพิ่มขึ้น และเกิดกำลังงานสูญเสียมากกว่าเมื่อมันนำกระแสขณะมีกระแสไปอัสอยู่



รูปที่ 3.8 ลักษณะของกระแส และแรงดันตกคร่อมเพาเวอร์ทรานซิสเตอร์

เมื่อเริ่มนำกระแสและหยุดนำกระแส

จากนั้นแรงดันที่ขาคอลเล็กเตอร์จะเพิ่มขึ้นอย่างรวดเร็วในขณะที่เพาเวอร์ทรานซิสเตอร์ยังคงนำกระแสอยู่ในช่วงเวลา t_r (voltage rise time) เมื่อประจุสะสมในตัวเพาเวอร์ทรานซิสเตอร์เริ่มลดลง กระแสที่คอลเล็กเตอร์จะเริ่มลดลงและใช้เวลาเท่ากับ t_f (current fall time) เพาเวอร์ทรานซิสเตอร์จึงหยุดนำกระแส จะได้ว่ากำลังงานสูญเสียที่เกิดขึ้นในเพาเวอร์ทรานซิสเตอร์ในช่วงเวลา t_r และ t_f จะมีค่าสูง และเป็นช่วงที่เกิดกำลังงานสูญเสียมากที่สุด ขณะทำงาน ช่วงเวลา $t_r + t_f$ จะเรียกว่า ช่วงเวลาเริ่มหยุดนำกระแส (turn off time) กำลังงานสูญเสียในขณะที่เพาเวอร์ทรานซิสเตอร์เริ่มหยุดนำกระแส นั้นอาจประมาณได้จาก

$$P = (0.5 V_{CC} I_{PK} t_c) / T \quad 3.5$$

เมื่อ P คือ กำลังงานสูญเสียขณะเริ่มหยุดกระแส

เอกสารนี้เป็นเอกสารที่สงวนไว้สำหรับการใช้งานเพื่อการศึกษาเท่านั้น ไม่นิยมนำไปใช้ประโยชน์ด้านการค้า ไม่ว่ากรณีใดๆทั้งสิ้น อีกทั้งห้ามมิให้ดัดแปลงเนื้อหา และต้องอ้างอิงถึงเจ้าของเอกสารทุกครั้งที่มีการนำไปใช้

V_{CC} คือ แรงดันตกคร่อมเพาเวอร์ทรานซิสเตอร์ขณะหยุดนำกระแส

I_{PK} คือ ค่ากระแสสูงสุดเมื่อเริ่มหยุดนำกระแส

t_C คือ ช่วงเวลาเริ่มหยุดนำกระแส ($t_C = t_r + t_f$)

T คือ คาบเวลาการทำงานของเพาเวอร์ทรานซิสเตอร์

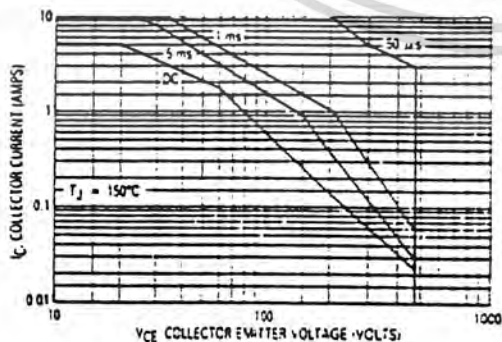
การทำให้กำลังงานสูญเสียขณะเริ่มหยุดนำกระแสมีค่าน้อยที่สุดจะทำให้การใช้งานของเพาเวอร์ทรานซิสเตอร์มีประสิทธิภาพสูงสุดและลดความร้อนที่จะเกิดขึ้นกับเพาเวอร์ทรานซิสเตอร์ขณะทำงานด้วย

3.2.2 อัตราการทนกำลังงานสูญเสียของเพาเวอร์ทรานซิสเตอร์

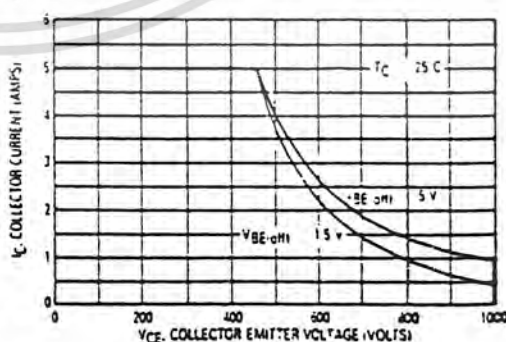
ความสามารถในการทนกำลังงานสูญเสียของเพาเวอร์ทรานซิสเตอร์ขึ้นอยู่กับเงื่อนไข 2 ประการ คือ อุณหภูมิเฉลี่ยที่รอยต่อ (Average Junction Temperature ; T_J) และเซคันดารีเบรคดาวน์ (Secondary Breakdown)

โดยทั่วไปผู้ผลิตมักจะให้กราฟแสดงพิคคัลลอคกัย SOA (Safe Operating Area) มาพร้อมกับดาต้าชีตที่ใ้หมากับเพาเวอร์ทรานซิสเตอร์แต่ละเบอร์ กราฟ SOA จะเป็นข้อมูลเพื่อให้ทราบกำลังงานสูญเสียที่เพาเวอร์ทรานซิสเตอร์สามารถทนได้ โดยที่ SOA จะแสดงพิคคัลค่าต่างๆ ของกระแสและแรงดันขณะทำงานของเพาเวอร์ทรานซิสเตอร์ที่จะไม่ทำให้อุณหภูมิเฉลี่ยของรอยต่อสูงเกินกว่าที่มันสามารถจะทนได้และไม่ทำให้เกิดเซคันดารีเบรคดาวน์

ปกติกราฟ SOA ของเพาเวอร์ทรานซิสเตอร์จะมี 2 ลักษณะคือ FBSOA (Forward Bias Safe Operating Area) และ RBSOA (Reverse Bias Safe Operating Area) ดังตัวอย่างของกราฟ FBSOA และ RBSOA แสดงไว้ในรูปที่ 3.9 ก) และ ข) ตามลำดับ



ก)



ข)

รูปที่ 3.9 กราฟพิคคัลลอคกัย ก) FBSOA ข) RBSOA (ที่มา:Motorola)

เอกสารนี้เป็นเอกสารที่สงวนไว้สำหรับการใช้งานเพื่อการศึกษาเท่านั้น ไมอนุญาตให้นำไปใช้ประโยชน์ด้านการค้าไม่ว่ากรณีใดๆทั้งสิ้น อีกทั้งห้ามมิให้ดัดแปลงเนื้อหา และต้องอ้างอิงถึงเจ้าของเอกสารทุกครั้งที่มีการนำไปใช้

FBSOA และช่วงเวลาขณะที่เริ่มนำกระแส

ช่วงเวลาขณะที่เริ่มนำกระแสของเพาเวอร์ทรานซิสเตอร์จะสั้นกว่าช่วงเวลาขณะที่เริ่มหยุดนำกระแส กำลังงานสูญเสียไปในขณะที่เริ่มนำกระแสจึงมีค่าน้อยกว่า อย่างไรก็ตามเพื่อป้องกันการเกิดเซตตันดารีเบรคควานผู้ออกแบบควรพิจารณาเงื่อนไขต่างๆ ที่จะเกิดขึ้นกับเพาเวอร์ทรานซิสเตอร์ขณะที่เริ่มนำกระแสไว้ด้วย โดยต้องจำกัดค่าแรงดันตกคร่อมและกระแสสูงสุดขณะที่เริ่มนำกระแสให้มีค่าอยู่ภายใต้พื้นที่ของกราฟ FBSOA อย่างแท้จริง

สำหรับอินเวอร์เตอร์บางแบบ ขณะที่เพาเวอร์ทรานซิสเตอร์เริ่มนำกระแส ที่ขอบขาขึ้นของกระแสไพรมารีมักจะมีสไปค (spike) เกิดขึ้นดังรูปที่ 3.10 สไปคที่เกิดขึ้นมักจะมีค่ายอดสูงกว่ากระแสปกติหลายเท่า แต่เกิดขึ้นในช่วงเวลาสั้นๆ อย่างไรก็ตามกระแสสไปคอาจทำให้เพาเวอร์ทรานซิสเตอร์มีแรงดันตกคร่อมและกระแสอยู่นอกพิสัยของ FBSOA ได้ ดังนั้นช่วงเวลานำกระแสของเพาเวอร์ทรานซิสเตอร์ควรมีค่าน้อยกว่า $10 \mu\text{s}$ เพื่อให้อยู่ในช่วงของอัตราการทำงานกำลังสูงสุด (พัลส์ที่ $10 \mu\text{s}$) ของพิสัย FBSOA



รูปที่ 3.10 แสดงลักษณะของสไปคที่ขอบขาขึ้นของกระแสไพรมารี

RBSOA และช่วงเวลาเริ่มหยุดนำกระแส

ขณะที่ไบโพลาร์เพาเวอร์ทรานซิสเตอร์เริ่มหยุดนำกระแส พิกัดปลอดภัยของเพาเวอร์ทรานซิสเตอร์ จะแสดงโดยกราฟ RBSOA และจะขึ้นอยู่กับแรงดันไบอัสกลับของเพาเวอร์ทรานซิสเตอร์ขณะที่เริ่มหยุดนำกระแสด้วยดังแสดงในรูปที่ 3.9 ข) ซึ่งจะเห็นได้ว่าลักษณะพิกัดขอบก่อนข้างแคบกว่า FBSOA ดังนั้นขณะที่เริ่มหยุดนำกระแสของเพาเวอร์ทรานซิสเตอร์จึงต้องให้ความระมัดระวังเป็นพิเศษ

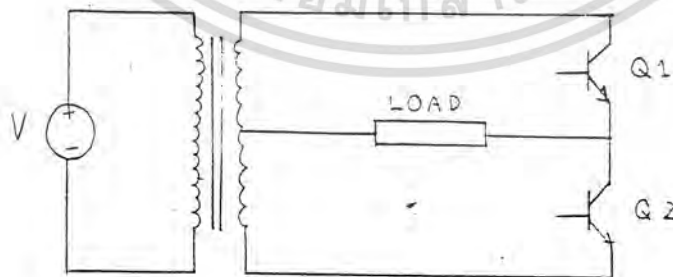
ในอินเวอร์เตอร์ส่วนใหญ่ เมื่อเพาเวอร์ทรานซิสเตอร์เริ่มหยุดนำกระแส จะมีแรงดันสไปค์ปรากฏขึ้นที่ขั้วออกแรงดันตกคร่อมตัวมันในช่วงเวลาสั้นๆ ซึ่งจะเพิ่มค่าแรงดันตกคร่อมสูงสุดให้กับเพาเวอร์ทรานซิสเตอร์ ดังนั้นเพาเวอร์ทรานซิสเตอร์ที่เลือกใช้จะต้องมีกราฟพิกัด RBSOA ให้ครอบคลุมค่าแรงดันสไปค์ที่เกิดขึ้นด้วย

3.3 อินเวอร์เตอร์ (Inverter)

อินเวอร์เตอร์เป็นวงจรหลักที่ใช้ในการเปลี่ยนสัญญาณไฟฟ้ากระแสตรงให้เป็นสัญญาณไฟฟ้ากระแสสลับโดยอาศัยอุปกรณ์สวิทช์ซึ่งเป็นสวิทช์ปิดเปิด ในโครงการนี้ได้ใช้ทรานซิสเตอร์เป็นอุปกรณ์ในการสวิทช์และใช้อินเวอร์เตอร์แบบเฟสเดียว ซึ่งจะขอกกล่าวถึงอินเวอร์เตอร์ที่นิยมใช้กันทั่วไป 3 แบบ คือ

3.3.1 วงจรอินเวอร์เตอร์แบบพุชพูล (Push Pull Inverter)

อินเวอร์เตอร์แบบนี้ใช้ทรานซิสเตอร์เพียง 2 ตัวเท่านั้น แต่ต้องมีหม้อแปลงเซินเตอร์เท็ป อินเวอร์เตอร์แบบนี้เหมาะสำหรับงานที่ไม่ต้องการกำลังสูงมากนัก เนื่องจากใช้หม้อแปลงเซินเตอร์เท็ปจะทำให้มีสไปค์โวลต์เจกเกิดขึ้นมาก และข้อเสียอีกอย่างหนึ่งของอินเวอร์เตอร์แบบนี้คือต้องพันคานปฐมภูมิให้ขดลวดสองขดที่แบ่งโดยจุดกราวด์มีความสมมาตรกัน ลักษณะของอินเวอร์เตอร์แบบนี้แสดงไว้ดังรูปที่ 3.11

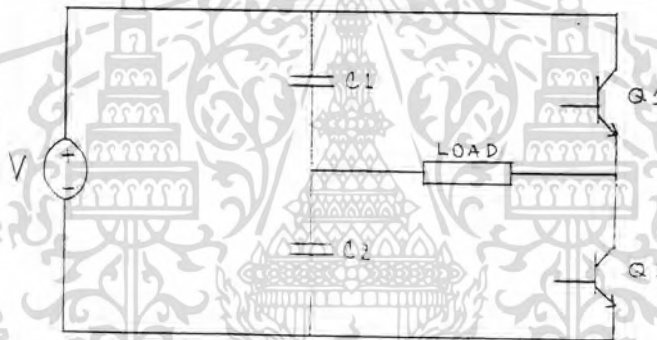


รูปที่ 3.11 แสดงวงจรอินเวอร์เตอร์แบบพุชพูล

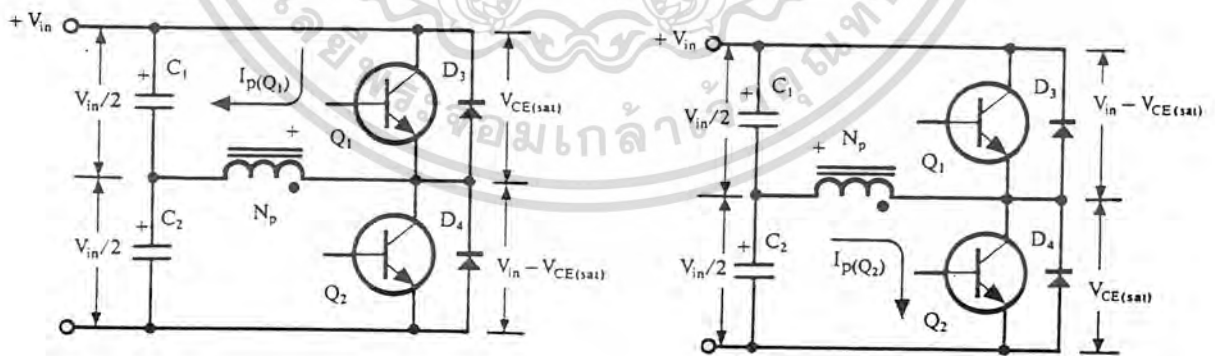
3.3.2 วงจรอินเวอร์เตอร์แบบฮาล์ฟบริจ

(Half Bridge Inverter Circuit)

เนื่องจากตัวเก็บประจุ C_1 และ C_2 กำหนดให้มีค่าเท่ากันต่ออนุกรมอยู่ทางด้านอินพุท เพื่อแบ่งครึ่งแรงดัน แรงดันตกคร่อม C_1 และ C_2 จึงมีค่าเท่ากับครึ่งหนึ่งของแรงดันที่อินพุท เพาเวอร์ทรานซิสเตอร์ Q_1 และ Q_2 จะสลับกันทำงานตัวละครึ่งคาบเวลาเช่นเดียวกันกับพุกพุลอินเวอร์เตอร์และเพื่อให้ง่ายแก่การพิจารณาการทำงานของวงจร เราจะพิจารณาในกรณีที่ไม่มีตัวเก็บประจุ C_1 ต่ออยู่ในวงจรเสียก่อน โดยให้ปลายของขดไพรมารี N_p ที่ต่ออยู่กับ C_1 นั้นต่อโดยตรงเข้ากับจุดต่อระหว่างตัวเก็บประจุ C_1 และ C_2 ดังในรูปที่ 3.12



รูปที่ 3.12 แสดงวงจรอินเวอร์เตอร์แบบฮาล์ฟบริจ



ก)

ข)

รูปที่ 3.13 ก) ขณะที่ Q_1 นำกระแส Q_2 จะมีแรงดันตกคร่อมเท่ากับ $V_{in} - V_{CE(sat)}$

และแรงดันตกคร่อม N_p เท่ากับ $V_{in}/2 - V_{CE(sat)}$

ข) ขณะที่ Q_2 นำกระแส Q_1 จะมีแรงดันตกคร่อมเท่ากับ $V_{in} - V_{CE(sat)}$

เช่นเดียวกัน และมีแรงดันตกคร่อม N_p เท่ากับ $V_{in}/2 - V_{CE(sat)}$

เอกสารนี้เป็นเอกสารที่สงวนไว้สำหรับการใช้งานเพื่อการศึกษาเท่านั้น ไม่นิยมนำไปใช้

ไม่ว่ากรณีใดๆทั้งสิ้น อีกทั้งห้ามมิให้ตัดแปลงเนื้อหา และต้องอ้างอิงถึงเจ้าของเอกสารทุกครั้งที่มีการนำไปใช้

เมื่อ Q_1 เริ่มนำกระแสและ Q_2 ไม่นำกระแส แรงดันตกคร่อม Q_2 จะมีค่าเท่ากับ $V_{in} - V_{CE(SAT)}$ ส่วนแรงดันตกคร่อมไพรมารี N_p จะมีค่าเท่ากับ $V_{C1} - V_{CE(SAT)}$ หรือจะมีค่าเท่ากับ $V_{in}/2 - V_{CE(SAT)}$ นั่นเอง ในทำนองเดียวกัน เมื่อ Q_2 นำกระแสและ Q_1 ไม่นำกระแส แรงดันตกคร่อม Q_1 จะมีค่าเท่ากับ $V_{in}/2 - V_{CE(SAT)}$ เช่นเดียวกัน แรงดันตกคร่อมที่ขดไพรมารี N_p ก็ยังคงมีค่าเท่ากับ $V_{in} - V_{CE(SAT)}$ เนื่องจาก $V_{CE(SAT)}$ มีค่าประมาณ 0.5 ถึง 1 โวลต์ ดังนั้นจะเห็นได้ว่าแรงดันตกคร่อม Q_1 และ Q_2 ที่ด้านเซคันดารีจะมีลักษณะเดียวกันกับพุกพุลอินเวอร์เตอร์ ซึ่งในโครงการนี้ได้ใช้ลักษณะอินเวอร์เตอร์แบบนี้

ข้อเสียของวงจรอินเวอร์เตอร์แบบนี้ก็คือ ค่ากำลังที่ออกมาจะน้อยกว่าแบบพุกพุลและแบบพุลบริจครึ่งหนึ่ง เนื่องจากค่าแรงดันถูกลดลงครึ่งหนึ่งโดย C_1 และ C_2

คอมมิวเตตติ้งไดโอด D_3 และ D_4 ที่ต่อคร่อมเพาเวอร์ทรานซิสเตอร์ Q_1 และ Q_2 จะมีหน้าที่ 2 ประการ คือ

1. ป้องกันการเกิดแรงดันสไปค์ในขณะที่เพาเวอร์ทรานซิสเตอร์เริ่มหยุดนำกระแส เนื่องจากค่าเหนี่ยวนำแฝงในหม้อแปลง โดยพลังงานที่สะสมอยู่ในตัวเหนี่ยวนำจะถูกถ่ายเทออกไปยังอินพุตด้วยคอมมิวเตตติ้งไดโอด จึงไม่ทำให้เกิดสไปค์เมื่อเพาเวอร์ทรานซิสเตอร์เริ่มหยุดนำกระแส

2. ในขณะที่เพาเวอร์ทรานซิสเตอร์ Q_1 เริ่มหยุดนำกระแสขดไพรมารี N_p จะมีการกลับขั้วแรงดันเกิดขึ้น ถ้าไม่มีคอมมิวเตตติ้งไดโอด Q_2 จะได้รับแรงดันที่คอลเล็กเตอร์เป็นลบ ในขณะที่ Q_1 ก็จะมีแรงดันตกคร่อมมากกว่าค่า $V_{in}/2$ ในกรณีนี้ไดโอด D_4 จะอยู่ในลักษณะถูกไบอัสตรงจากแรงดันของขดไพรมารีและลดค่าแรงดันนี้ลงไป ในทำนองเดียวกับเมื่อ Q_2 เริ่มหยุดนำกระแส ไดโอด D_3 จะทำหน้าที่เช่นเดียวกันเป็นการป้องกันเพาเวอร์ทรานซิสเตอร์

ไดโอดที่นำมาใช้เป็นคอมมิวเตตติ้งไดโอด D_3 และ D_4 ต้องเป็นชนิดฟาสต์รีคัฟเวอรี และต้องทนแรงดันย้อนกลับได้อย่างน้อย 2 เท่าของแรงดันตกคร่อมเพาเวอร์ทรานซิสเตอร์ขณะหยุดนำกระแส

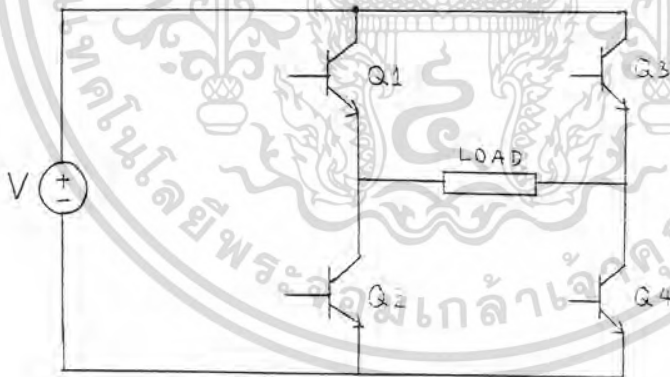
3.3.3 วงจรอินเวอร์เตอร์แบบพุลบริจ

(Full Bridge Inverter Circuit)

พุลบริจอินเวอร์เตอร์ขณะทำงานจะมีแรงดันตกคร่อมขดไพรมารีเท่ากับแรงดันอินพุต แต่แรงดันตกคร่อมเพาเวอร์ทรานซิสเตอร์มีค่าเป็นเพียงครึ่งหนึ่งของแรงดันอินพุตเท่านั้น และค่า

กระแสสูงสุดที่เพาเวอร์ทรานซิสเตอร์นั้นแต่ละตัวจะมีค่าเป็นครึ่งของกระแสสูงสุดในฮาล์ฟบริจอินเวอร์เตอร์ที่กำลังขาออกเท่ากัน

เพาเวอร์ทรานซิสเตอร์ทั้ง 4 ตัวจะทำงานโดยนำกระแส และหยุดนำกระแสสลับกันเป็นคู่ๆ ในแต่ละครึ่งคาบเวลา Q_1 และ Q_2 จะนำกระแสพร้อมกันในครึ่งคาบเวลา และเมื่อหยุดนำกระแส Q_2 และ Q_3 จะนำกระแสต่อพร้อมกันในครึ่งคาบเวลาที่เหลือสลับกันเช่นนี้เรื่อยไป ลักษณะการทำงานของวงจรที่ได้จึงเป็นเช่นเดียวกับฮาล์ฟบริจอินเวอร์เตอร์ ยกเว้นแรงดันตกคร่อมขดไฟรมารีจะมีค่าเท่ากับ $V_{in} - 2V_{CE(SAT)}$ ดังนั้นผลของการทำงานของวงจรจึงเหมือนผลที่ได้จากพุกพุลอินเวอร์เตอร์นั่นเอง จะเห็นได้ว่าแรงดันที่ตกคร่อม Q_1 และ Q_2 ขณะหยุดนำกระแสมีค่าเท่ากับ $V_{in} - V_{CEQ2(SAT)}$ และ $V_{in} - V_{CEQ3(SAT)}$ ตามลำดับ ส่วนแรงดันที่ตกคร่อม Q_2 และ Q_3 ขณะหยุดนำกระแสจะมีค่าเท่ากับ $V_{in} - V_{CEQ1(SAT)}$ และ $V_{in} - V_{CEQ4(SAT)}$ ตามลำดับเช่นเดียวกัน ส่วนไดโอด D_3 ถึง D_6 ทำหน้าที่เป็นคอมมิวเตตติ้งไดโอดให้กับวงจรเพื่อป้องกัน Q_1 ถึง Q_4 เช่นเดียวกับฮาล์ฟบริจอินเวอร์เตอร์



รูปที่ 3.13 แสดงวงจรพุกพุลบริจอินเวอร์เตอร์

เอกสารนี้เป็นเอกสารที่สงวนไว้สำหรับการใช้งานเพื่อการศึกษาเท่านั้น ไม่นิยมนำไปใช้ประโยชน์ด้านการค้า
ไม่ว่ากรณีใดๆทั้งสิ้น อีกทั้งห้ามมิให้ดัดแปลงเนื้อหา และต้องอ้างอิงถึงเจ้าของเอกสารทุกครั้งที่มีการนำไปใช้

3.4 วงจร snubber (Snubber Circuit)

วงจร snubber เป็นส่วนที่เพิ่มเข้ามาในวงจรอินเวอร์เตอร์ เพื่อลดกำลังงานสูญเสีย และป้องกันการเกิดความเสียหายที่อาจเกิดขึ้นกับเพาเวอร์ทรานซิสเตอร์ในวงจรขณะทำงานปกติ วงจร snubber ในที่นี้อาจแบ่งได้เป็น 2 ลักษณะคือ วงจร snubber ช่วงหยุดนำกระแส (turn off snubber) และวงจร snubber ป้องกันแรงดันเกิน (clame snubber) วงจร snubber โดยทั่วไปจะประกอบด้วยตัวต้านทาน ตัวเก็บประจุ และไดโอด ในบางครั้งจึงเรียกว่า วงจร RCD snubber

3.4.1 วงจร snubber ช่วงหยุดนำกระแส

ดังที่ได้กล่าวมาแล้วว่า กำลังงานสูญเสียที่เกิดขึ้นในเพาเวอร์ทรานซิสเตอร์จะเป็นไปได้สูงในขณะที่เปลี่ยนสถานะการทำงาน โดยเฉพาะอย่างยิ่งขณะเริ่มหยุดนำกระแส ก่อนที่เพาเวอร์ทรานซิสเตอร์จะหยุดนำกระแส นั้น กระแสจะลดลงอย่างช้าๆ ในขณะที่แรงดันเพิ่มขึ้นสู่ค่าแรงดันอินพุทอย่างรวดเร็ว ดังแสดงในรูปที่ 3.14 กำลังงานสูญเสียในรูปความร้อนในช่วงนี้จึงเกิดขึ้นสูง

เพื่อลดการเกิดกำลังงานสูญเสียในช่วงนี้อาจทำได้โดยการต่อวงจร snubber เข้ากับเพาเวอร์ทรานซิสเตอร์ เพื่อควบคุมแรงดันที่ตกคร่อมคอลเล็กเตอร์ และอีมีเตอร์ให้เพิ่มขึ้นอย่างช้าๆ จนกระทั่งกระแสที่ไหลผ่านเพาเวอร์ทรานซิสเตอร์ลดลงได้ทันกัน ซึ่งจะทำการกำลังงานสูญเสียที่เกิดขึ้นมีค่าต่ำ ลักษณะการต่อวงจร snubber อาจทำได้ดังรูปที่ 3.15

การทำงานของวงจร RCD snubber ช่วงเริ่มหยุดนำกระแสจะเป็นดังนี้คือ เมื่อเพาเวอร์ทรานซิสเตอร์ Q_1 เริ่มหยุดนำกระแส แรงดันที่ตกคร่อมเพาเวอร์ทรานซิสเตอร์จะมีค่าเพิ่มขึ้น ทำให้มีกระแสบางส่วนไหลผ่านตัวเก็บประจุ C_1 และ ไดโอด D_1 ของวงจร snubber ทำให้เกิดแรงดันตกคร่อม C_1 ด้วย แรงดันที่ตกคร่อม C_1 จะทำให้แรงดันที่คอลเล็กเตอร์ของเพาเวอร์ทรานซิสเตอร์เพิ่มขึ้นอย่างช้าๆ ดังนั้นถ้าให้ C_1 มีค่ามากพอ การเพิ่มขึ้นของแรงดันที่ขาคอลเล็กเตอร์จะถูกหน่วงออกไปเพื่อให้กระแสที่ไหลผ่านเพาเวอร์ทรานซิสเตอร์ลดลงจนมีค่าน้อยๆ ได้ทันกัน

ขณะที่เพาเวอร์ทรานซิสเตอร์เริ่มนำกระแสอีกครั้ง C_1 จะคายประจุผ่านตัวความต้านทาน R_1 ทิ้งไป แรงดันที่ตกคร่อม C_1 จึงลดต่ำลงได้อีกครั้งและสามารถทำงานได้ในช่วงต่อไป ค่าของ C_1 และ R_1 ที่เหมาะสมอาจหาได้จาก

$$C_1 = (I_{P(EK)} \times t_{Off}) / 2V_m \quad 3.6$$

เอกสารนี้เป็นเอกสารที่สงวนไว้สำหรับการใช้งานเพื่อการศึกษาเท่านั้น ไม่อนุญาตให้นำไปใช้ประโยชน์ด้านการค้า ไม่ว่าจะกรณีใดๆทั้งสิ้น อีกทั้งห้ามมิให้ดัดแปลงเนื้อหา และต้องอ้างอิงถึงเจ้าของเอกสารทุกครั้งที่มีการนำไปใช้

$$R_1 = t_{On(Min)} / 3C_1 \quad 3.7$$

เมื่อ $I_{P(PK)}$ คือ ค่ากระแสสูงสุดขณะเริ่มหยุดนำกระแสของเพาเวอร์ทรานซิสเตอร์

V_{in} คือ ค่าแรงดันอินพุทของอินเวอร์เตอร์

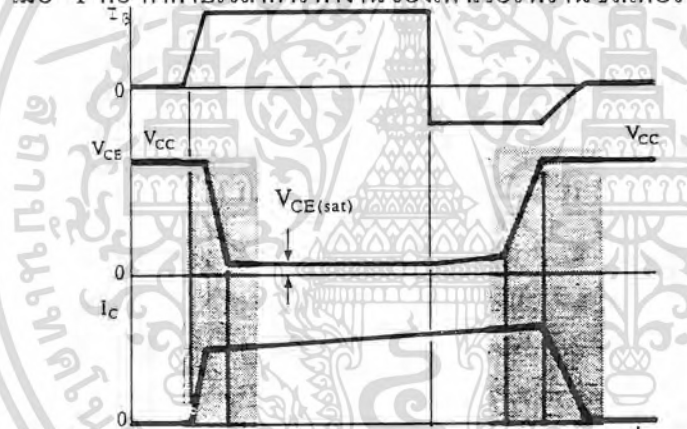
t_{On} คือ ช่วงเวลานำกระแสของเพาเวอร์ทรานซิสเตอร์

t_{Off} คือ ช่วงเวลาหยุดนำกระแสของเพาเวอร์ทรานซิสเตอร์

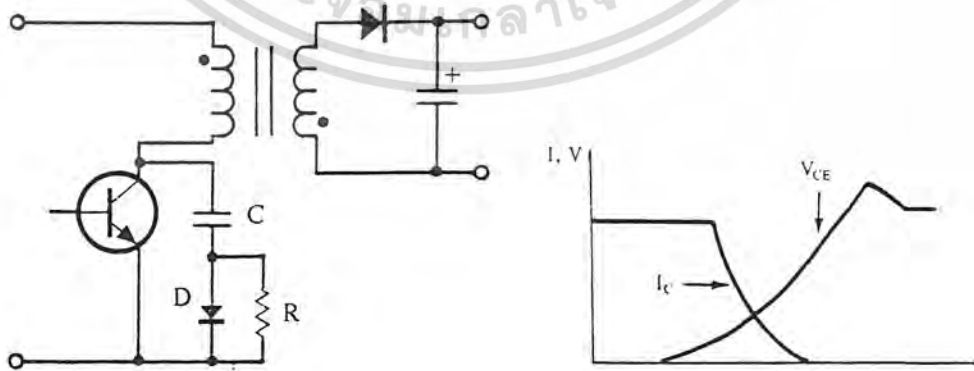
การคายประจุของ C_1 จะทำให้เกิดกำลังงานสูญเสียในตัว R_1 สูง ตัวต้านทาน R_1 จะต้องทนกำลังได้สูง โดยค่ากำลังงานสูญเสียใน R_1 อาจหาได้จาก

$$P_o = C_1 (2V_{in})^2 / 2T \quad 3.8$$

เมื่อ T คือ ค่าคาบเวลาการทำงานของเพาเวอร์ทรานซิสเตอร์



รูปที่ 3.14 แสดงลักษณะการลดขงกระแสและการเพิ่มขงแรงดันตกคร่อมเพาเวอร์ทรานซิสเตอร์ขณะเริ่มหยุดนำกระแส



รูปที่ 3.15 แสดงการต่อวงจรสับเบออร์ช่วงหยุดนำกระแสเพื่อหน่วง

แรงดันตกคร่อมเพาเวอร์ทรานซิสเตอร์ให้เพิ่มขึ้นอย่างช้าๆ

เอกสารนี้เป็นเอกสารที่สงวนไว้สำหรับการใช้งานเพื่อการศึกษาเท่านั้น ไม่นุญญาติให้นำไปใช้ประโยชน์ด้านการค้า

ไม่ว่ากรณีใดๆทั้งสิ้น อีกทั้งห้ามมิให้ดัดแปลงเนื้อหา และต้องอ้างอิงถึงเจ้าของเอกสารทุกครั้งที่มีการนำไปใช้

3.4.2 วงจรสับเบอ์ป้องกันแรงดันเกิน

ปกติการเสียหายของเพาเวอร์ทรานซิสเตอร์ขณะทำงาน มักมีสาเหตุหลักการทำงานเกินพิกัดปลอดภัย RBSOA แรงดันสไปค์ขณะหยุดนำกระแสจะทำให้ค่าแรงดันตกคร่อมเพาเวอร์ทรานซิสเตอร์ขณะเริ่มหยุดนำกระแสมีค่าสูงเกินค่าแรงดันสูงสุดที่มันสามารถทนได้ และเกิดการพังเสียหายขึ้น วงจรสับเบอ์ป้องกันแรงดันเกินจึงมีหน้าที่ป้องกันค่าแรงดันสไปค์ที่เกิดขึ้นไม่ให้เกินค่าปลอดภัยของเพาเวอร์ทรานซิสเตอร์ การต่อวงจร RCD สับเบอ์เพื่อป้องกันแรงดันเกินอาจทำได้ดังรูปที่ 3.16

การทำงานของวงจรสับเบอ์ป้องกันแรงดันเกินจะเป็นดังนี้คือ ในขณะที่เพาเวอร์ทรานซิสเตอร์หยุดนำกระแส ตัวเก็บประจุ C_1 จะถูกชาร์จประจุผ่านไดโอด D_1 จากแรงดันสไปค์ค่าของ R_1 จะทำให้แรงดันตกคร่อม C_1 มีค่าต่ำกว่าแรงดันสไปค์ และมีค่าคงที่ตลอดช่วงการเกิดแรงดันสไปค์ ค่าแรงดันสูงสุดที่คอลเล็กเตอร์ขณะเกิดแรงดันสไปค์จึงถูกกั้นไว้ด้วยแรงดันที่ตกคร่อมตัวเก็บประจุ C_1 และเนื่องจากแรงดันสไปค์จะเกิดขึ้นในช่วงเวลาสั้นๆ ดังนั้นขณะที่แรงดันสไปค์มีค่าลดลง C_1 จะคายประจุออกมาผ่านตัวต้านทาน R_1 แรงดันที่ตกคร่อมคอลเล็กเตอร์จะกลับสู่แรงดันตามการทำงานปกติ

อาจกล่าวได้ว่า วงจรสับเบอ์ป้องกันแรงดันเกินนั้นทำงานโดยการถ่ายเทพลังงานที่สะสมในตัวเหนี่ยวนำอันเป็นต้นทำให้เกิดแรงดันสไปค์ไปไว้ที่ตัวเก็บประจุ C_1 แทนนั่นคือ

$$1/2 C_1 V_C^2 = 1/2 L_1 I_{P(PK)}^2 \quad 3.9$$

เนื่องจาก V_C จะมีค่าได้ไม่เกิน $V_{CEO} - V_{clamp}$ ดังนั้น

$$C = L_1 I_{P(PK)}^2 / (V_{CEO} - V_{clamp}) \quad 3.10$$

เมื่อ L_1 คือ ค่าความเหนี่ยวนำที่เกิดจากฟลักซ์รั่วของขดไฟโรรารี

(Leakage Inductance)

$I_{P(PK)}^2$ คือ ค่ากระแสสูงสุดขณะเริ่มหยุดนำกระแสของเพาเวอร์ทรานซิสเตอร์

V_{CEO} คือ อัตราการทนแรงดันตกคร่อมสูงสุดของเพาเวอร์ทรานซิสเตอร์

V_{clamp} คือ ค่าแรงดันสูงสุดที่ยอมให้เกิดได้เมื่อเพาเวอร์ทรานซิสเตอร์เริ่ม

หยุดนำกระแส

ค่าของ R_1 อาจหาได้จาก

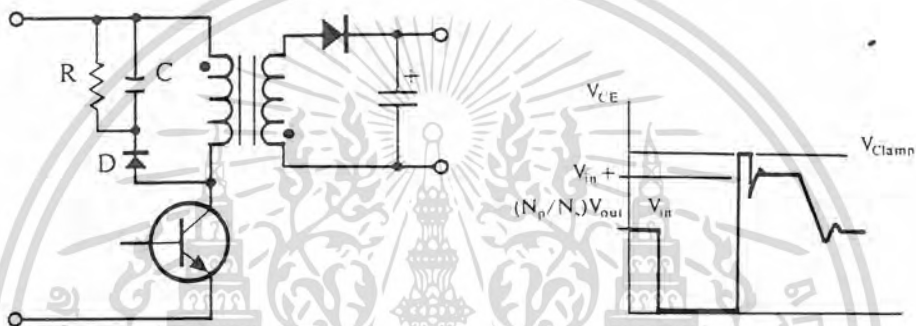
$$R_1 = t_{Off(Min)} / 3C_1 \quad 3.11$$

กำลังงานสูญเสียใน R_1 จะมีค่าเท่ากับ

$$P_O = 1/2 (L_1 I_{P(PK)}^2 / T) \quad 3.12$$

เมื่อ T คือ คาบเวลาการทำงานเพาเวอร์ทรานซิสเตอร์

t_{off} คือ ช่วงเวลาหยุดนำกระแสของเพาเวอร์ทรานซิสเตอร์



รูปที่ 3.16 แสดงการต่อวงจรสับเบออร์ป้องกันแรงดันเกินเพื่อจำกัดค่าแรงดันสูงสุดที่ตกคร่อมเพาเวอร์ทรานซิสเตอร์ขณะหยุดนำกระแส

เอกสารนี้เป็นเอกสารที่สงวนไว้สำหรับการใช้งานเพื่อการศึกษาเท่านั้น ไม่อนุญาตให้นำไปใช้ประโยชน์ด้านการค้า
ไม่ว่ากรณีใดๆทั้งสิ้น อีกทั้งห้ามมิให้ดัดแปลงเนื้อหา และต้องอ้างอิงถึงเจ้าของเอกสารทุกครั้งที่มีการนำไปใช้

บทที่ 4

หม้อแปลงไฟฟ้ากำลัง

หม้อแปลงไฟฟ้ากำลัง (Power Transformer) เป็นอุปกรณ์ที่ใช้ในการเพิ่มกระแสเอ็ดดีที่ส่งผ่าน ไปยัง โหลดเพื่อให้เกิดความร้อน แกนที่ใช้พันหม้อแปลงเป็นแกนเฟอร์ไรต์เนื่องจากลดกำลังงานสูญเสียในหม้อแปลง ในบทนี้จะกล่าวถึงลักษณะของหม้อแปลงไฟฟ้ากำลัง ขนาด และลักษณะของแกนเฟอร์ไรต์ การออกแบบหม้อแปลง ขนาดของขดลวดทองแดง

4.1 ส่วนประกอบของหม้อแปลงไฟฟ้ากำลัง

แกนเฟอร์ไรต์ (Ferrite Core)

เฟอร์ไรต์เป็นวัสดุประเภทเฟอร์โรแมกเนติก (Ferromagnetic Material) การเหนี่ยวนำแม่เหล็กบนแกนเฟอร์ไรต์จะมีผลทำให้เกิดความหนาแน่นฟลักซ์แม่เหล็กสูงกว่าการเหนี่ยวนำที่เกิดขึ้นบนแกนอากาศมาก เฟอร์ไรต์มีค่าจุดอิ่มตัวฟลักซ์แม่เหล็กค่อนข้างสูงประมาณในช่วง 0.3 ถึง 0.4 เทสลา และเกิดการสูญเสียในตัวมันต่ำที่ความถี่สูงๆ ดังนั้นหม้อแปลงที่ใช้จึงเป็นแกนเฟอร์ไรต์ เฟอร์ไรต์ที่นำมาทำแกนของหม้อแปลงจะมีรูปร่างแตกต่างกันออกไปขึ้นอยู่กับการใช้งาน และมาตรฐานในการออกแบบ ซึ่งจะกล่าวในหัวข้อถัดไป

บอบบิ้น (Bobbin)

บอบบิ้นหรือแกนรองพัน ปกติจะทำจากพลาสติกชนิดทนความร้อนสูงและไม่ติดไฟ บอบบิ้นจะช่วยให้การพันขดลวดบนแกนเฟอร์ไรต์สะดวกขึ้น และป้องกันปัญหาการลัดวงจรระหว่างขดลวดบนแกนเฟอร์ไรต์ บอบบิ้นจะมีขนาดมาตรฐานของแกนเฟอร์ไรต์ ตัวอย่างขนาดของบอบบิ้นดูได้จากรูปที่ 4.1

ลวดทองแดงอาบน้ำยา (Enamelled Copper Wire)

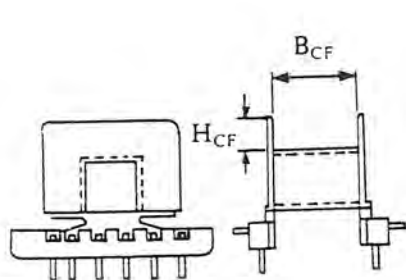
การพันขดลวดทั้งด้าน โพรมารีและเซคันดารีของหม้อแปลงซึ่งกำลังไม่สูงมากนัก ปกติจะใช้ขดลวดทองแดงอาบน้ำยาพันบนแกนบอบบิ้นเพื่อให้ได้จำนวนรอบตามที่ต้องการ ขนาดของขดลวดทองแดงที่ใช้พันนั้นขึ้นอยู่กับค่ากระแสสูงสุดที่ผ่านขดลวด

เทปฉนวน (Insulation Tape)

เทปฉนวนใช้พันสำหรับเป็นฉนวนระหว่างชั้นของขดลวดในหม้อแปลง และมีหน้าที่สำคัญในการแยกส่วนทางไฟฟ้าระหว่างขด โพรมารีและขดเซคันดารีด้วย วัสดุที่ใช้ทำเทปฉนวนอาจเป็นพวกไมลาร์ (Mylar) หรือโพลีเอสเตอร์ (Polyester) ที่มีความหนาอยู่ในช่วง 0.05 ถึง 0.10 มิลลิเมตร การเลือกใช้จะขึ้นอยู่กับ การออกแบบและค่าความปลอดภัยที่ต้องการจากหม้อแปลง

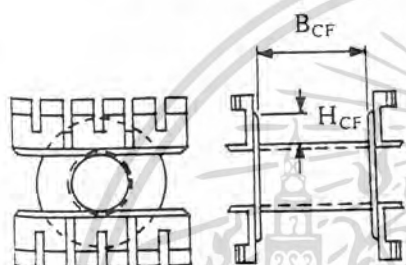
เอกสารนี้เป็นเอกสารที่สงวนไว้สำหรับการใช้งานเพื่อการศึกษาเท่านั้น ไม่อนุญาตให้นำไปใช้ประโยชน์ทางการค้า

ไม่ว่ากรณีใดๆทั้งสิ้น อีกทั้งห้ามมิให้ดัดแปลงเนื้อหา และต้องอ้างอิงถึงเจ้าของเอกสารทุกครั้งที่มีการนำไปใช้



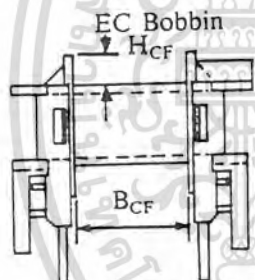
EE Bobbin

| CORE TYPE | A_w (cm ²) | B_{CF} (mm) | H_{CF} (mm) | l_{av} (mm) |
|-----------|--------------------------|---------------|---------------|---------------|
| E 814E250 | 0.17 | 6.7 | 2.1 | 34.29 |
| E 813E187 | 0.33 | 9.3 | 3.2 | 36.32 |
| E 813E343 | 0.36 | 10.0 | 3.2 | 47.50 |
| E 812E250 | 0.58 | 10.1 | 4.9 | 55.12 |
| E 782E272 | 0.80 | 17.3 | 4.7 | 55.88 |
| E 375 | 1.05 | 16.5 | 6.6 | 73.41 |
| E 21 | 1.14 | 17.9 | 6.0 | 86.36 |
| E 783E608 | 1.78 | 26.3 | 7.1 | 92.96 |
| E 348E772 | 1.81 | 26.3 | 7.1 | 99.06 |
| E 625 | 1.32 | 21.2 | 6.4 | 94.9 |
| E 55 | 2.80 | 33.1 | 8.6 | 113.03 |
| E 75 | 2.42 | 26.2 | 8.1 | 119.38 |



EC Bobbin

| CORE TYPE | A_w (cm ²) | B_{CF} (mm) | H_{CF} (mm) | l_{av} (mm) |
|-----------|--------------------------|---------------|---------------|---------------|
| EC 35 | 0.97 | 21.5 | 4.8 | 50.04 |
| EC 41 | 1.35 | 24.5 | 5.8 | 59.94 |
| EC 52 | 2.13 | 28.3 | 7.7 | 72.90 |
| EC 70 | 4.77 | 41.5 | 11.7 | 95.0 |



ETD Bobbin

| CORE TYPE | A_w (cm ²) | B_{CF} (mm) | H_{CF} (mm) | l_{av} (mm) |
|-----------|--------------------------|---------------|---------------|---------------|
| ETD 34 | 1.23 | 21.0 | 6.0 | 59.94 |
| ETD 39 | 1.74 | 25.6 | 6.9 | 68.58 |
| ETD 44 | 2.13 | 29.6 | 7.3 | 76.2 |
| ETD 49 | 2.71 | 32.8 | 8.4 | 85.09 |

- A_w = พื้นที่ของพันขดลวด
- B_{CF} = ความยาวแกนที่พันขดลวดได้
- H_{CF} = ระยะจำกัดความสูงของขดลวด
- l_{av} = ความยาวเฉลี่ยของลวดทองแดงที่พันบนแกนต่อหนึ่งรอบ

รูปที่ 4.1 แสดงตัวอย่างมาตรฐานของบอบบินสำหรับแกนเฟอร์ไรต์แบบ EE , EC และ ETD (ที่มา: Ferroxcube)

4.2 แกนเฟอร์ไรต์และการเลือกใช้

4.2.1 ลักษณะและขนาดมาตรฐานของแกนเฟอร์ไรต์

แกนเฟอร์ไรต์สำหรับหม้อแปลงจะถูกผลิตออกมาที่ขนาดและรูปทรงต่างๆ ตามมาตรฐานเดียวกันเช่น แกนแบบ EI,EE,ETD หรือแกนแบบ POT เป็นต้น ปกติผู้ผลิตจะทำแกนเฟอร์ไรต์ออกมาในลักษณะของกลุ่มประกบ เพื่อความสะดวกในการประกอบบอบบิน การ

เอกสารนี้เป็นเอกสารที่สงวนไว้สำหรับการใช้งานเพื่อการศึกษาเท่านั้น ไม่นิยมนำไปใช้ประโยชน์ด้านการค้า ไม่ว่าจะกรณีใดๆทั้งสิ้น อีกทั้งห้ามมิให้ตัดแปลงเนื้อหา และต้องอ้างอิงถึงเจ้าของเอกสารทุกครั้งที่มีการนำไปใช้

ประกบแกนเฟอร์ไรต์บนบอบบิ้นจะทำให้ทางเดินของฟลักซ์แม่เหล็กที่เกิดขึ้นในแกนเฟอร์ไรต์มีลักษณะเป็นวงบรรจบได้ ตัวอย่างขนาดของแกนเฟอร์ไรต์แบบต่างๆ แสดงไว้ในรูปที่ 4.2

| CORE TYPE | A_c (cm ²) | A_w (cm ²) | V_c (cm ³) | l_c (mm) |
|-----------|--------------------------|--------------------------|--------------------------|------------|
| ETD 34 | 0.971 | 1.220 | 7.64 | 78.6 |
| ETD 39 | 1.250 | 1.740 | 11.50 | 92.2 |
| ETD 44 | 1.740 | 2.130 | 18.00 | 103.0 |
| ETD 49 | 2.110 | 2.710 | 24.20 | 114.0 |

ETD

| CORE TYPE | A_c (cm ²) | A_w (cm ²) | V_c (cm ³) | l_c (mm) |
|-------------|--------------------------|--------------------------|--------------------------|------------|
| EE 20/20/5 | 0.31 | 0.35 | 1.34 | 43.0 |
| EE 30/30/7 | 0.59 | 0.78 | 4.00 | 66.9 |
| EE 42/42/15 | 1.82 | 1.78 | 17.6 | 97.0 |
| EE 42/42/20 | 2.36 | 1.78 | 23.1 | 97.4 |
| EE 42/54/20 | 2.36 | 2.40 | 28.8 | 122.0 |
| EE 42/66/20 | 2.36 | 3.40 | 34.5 | 143.0 |
| EE 55/55/21 | 3.54 | 2.50 | 43.7 | 123.0 |
| EE 55/55/25 | 4.20 | 2.50 | 52.0 | 123.0 |
| EE 65/66/27 | 5.32 | 3.93 | 78.2 | 147.0 |

EE

| CORE TYPE | A_c (cm ²) | A_w (cm ²) | V_c (cm ³) | l_c (mm) |
|-----------|--------------------------|--------------------------|--------------------------|------------|
| EI 19 | 0.24 | 0.517 | 0.950 | 39.6 |
| EI 22/19 | 0.41 | 0.44 | 1.630 | 39.3 |
| EI 25/19 | 0.42 | 0.819 | 2.02 | 48.6 |
| EI 28/20 | 0.85 | 0.725 | 4.11 | 48.4 |
| EI 30/26 | 1.11 | 0.791 | 6.45 | 58.1 |
| EI 35/29 | 1.21 | 1.36 | 8.18 | 67.6 |
| EI 40/35 | 1.48 | 1.08 | 11.3 | 76.9 |
| EI 50/42 | 2.30 | 1.7 | 21.8 | 94.8 |
| EI 60/44 | 2.48 | 2.94 | 27.2 | 109.7 |

EI

รูปที่ 4.2 แสดงตัวอย่างของแกนเฟอร์ไรต์แบบ EE, EI และ ETD
เอกสารนี้เป็นเอกสารที่สงวนไว้สำหรับใช้เพื่อการศึกษาค้นคว้าเท่านั้น เมื่ออนุญาตให้นำไปใช้ประโยชน์ด้านการค้า
ไม่ว่ากรณีใดๆทั้งสิ้น อีกทั้งห้ามมิให้ดัดแปลงเนื้อหา และต้องอ้างอิงถึงเจ้าของเอกสารทุกครั้งที่มีการนำไปใช้

4.2.2 ลักษณะสมบัติของเนื้อสารที่ใช้ทำแกนเฟอร์ไรต์

ชนิดของเนื้อสารแกนเฟอร์ไรต์ที่แตกต่างกันจะทำให้คุณสมบัติทางแม่เหล็กของแกนเฟอร์ไรต์แตกต่างกันด้วยถึงแม้จะมีขนาดเท่ากันทุกประการก็ตาม ในแผ่นข้อมูลเนื้อสารที่นำมา กับแกนเฟอร์ไรต์นั้นจะต้องมีรายละเอียดคุณสมบัติของเนื้อสารแสดงไว้เสมอ ข้อมูลสำคัญที่ควร จะทำความเข้าใจและศึกษาไว้ก็คือ เส้นโค้งฮิสเตอร์รีซิส (Hysteresis Curve) และค่าการสูญเสีย ในแกนเฟอร์ไรต์ (Core Loss)

เส้นโค้งฮิสเตอร์รีซิส

เส้นโค้งฮิสเตอร์รีซิสจะแสดงความสัมพันธ์ระหว่างค่าความหนาแน่นฟลักซ์แม่เหล็ก (B) ที่เกิดขึ้นในแกนเฟอร์ไรต์ กับความเข้มของสนามแม่เหล็ก (H) ที่เกิดจากการเหนี่ยวนำของ ขดลวดที่พันบนแกน ในรูปที่ 4.3 จะแสดงลักษณะของเส้นโค้งฮิสเตอร์รีซิสของเนื้อสารชนิด 3C8 และ 3C6A ซึ่งผลิตโดยผู้ผลิตคือ FERROXCUBE

จากรูปจะเห็นว่าค่าความหนาแน่นฟลักซ์แม่เหล็กจะมีค่าเพิ่มขึ้นเมื่อความเข้มของ สนามแม่เหล็กมีค่าเพิ่มขึ้น จนกระทั่งถึงจุดๆ หนึ่งซึ่งค่าความหนาแน่นฟลักซ์แม่เหล็กมีค่าเพิ่มขึ้น น้อยมากแม้ว่าจะมีการเพิ่มขึ้นของความเข้มสนามแม่เหล็กก็ตาม จากจุดดังกล่าวเราจะเรียกว่าแกน เริ่มมีการอิ่มตัวของฟลักซ์แม่เหล็ก (Saturation)

โดยปกติผู้ผลิตจะแสดงกราฟของเส้นโค้งฮิสเตอร์รีซิสเพียงครั้งเดียว เนื่องจากอีก ครั้งหนึ่งของเส้นโค้งฮิสเตอร์รีซิสจะมีลักษณะเหมือนกันทุกประการเพียงแต่จะมีลักษณะกลับทิศ กันเท่านั้น ดังแสดงในรูปที่ 4.4

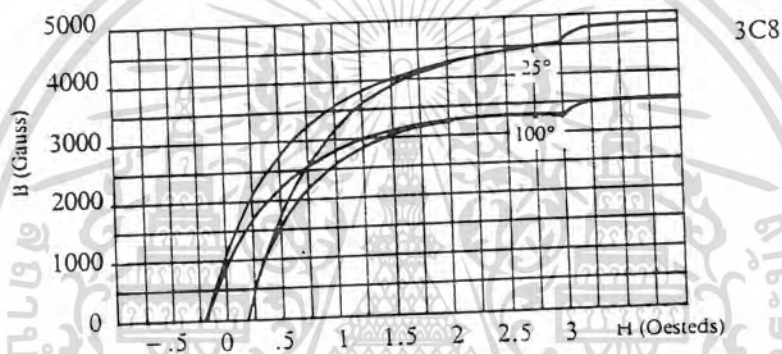
การใช้งานแกนเฟอร์ไรต์ในหม้อแปลงจะต้องระวังไม่ทำให้แกนเฟอร์ไรต์เกิดการอิ่ม ตัวขึ้นได้ ดังนั้นโดยทั่วไปในการออกแบบหม้อแปลงจึงควรกำหนดค่าความหนาแน่นฟลักซ์แม่ เหล็กที่ยอมให้เกิดขึ้นได้ในแกนขณะทำงานมีค่าไม่เกินครึ่งหนึ่งของความหนาแน่นฟลักซ์แม่เหล็ก สูงสุดก่อนการอิ่มตัวของแกนเฟอร์ไรต์เพื่อความปลอดภัย

ค่าการสูญเสียในแกนเฟอร์ไรต์

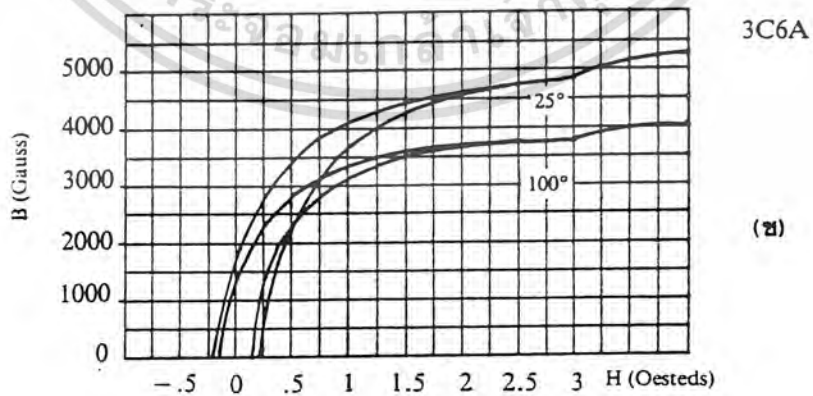
การสูญเสียที่เกิดขึ้นในแกนเฟอร์ไรต์จะทำให้แกนเฟอร์ไรต์ร้อน ซึ่งมีสาเหตุหลัก 2 ประการคือ การสูญเสียที่เกิดจากลักษณะฮิสเตอร์รีซิสของแกน (Hysteresis Loss) และการสูญเสียจากการเกิดกระแสไหลวนภายในแกนเฟอร์ไรต์ (Eddy Current Loss)

ที่ความถี่ต่ำกว่า 100 กิโลเฮิร์ตซ์ การสูญเสียจากการเกิดกระแสไหลวนในแกนจะมี ค่าน้อยสำหรับแกนที่มีขนาดไม่ใหญ่มากนัก ดังนั้นการสูญเสียที่ก่อให้เกิดความร้อนในแกนนั้น

อาจพิจารณาได้จากการสูญเสียทางฮิสเตอรีซิสเพียงอย่างเดียว ตัวอย่างกราฟแสดงค่าการสูญเสียที่เกิดขึ้นในแกนเฟอร์ไรต์แสดงไว้ในรูปที่ 4.5 ปกติค่ากำลังงานสูญเสียจะถูกระบุไว้เป็นมิลลิวัตต์ต่อหนึ่งลูกบาศก์เซนติเมตร และมีค่าขึ้นกับความหนาแน่นฟลักซ์แม่เหล็ก ความถี่การใช้งาน รวมถึงอุณหภูมิขณะใช้งานของแกนเฟอร์ไรต์



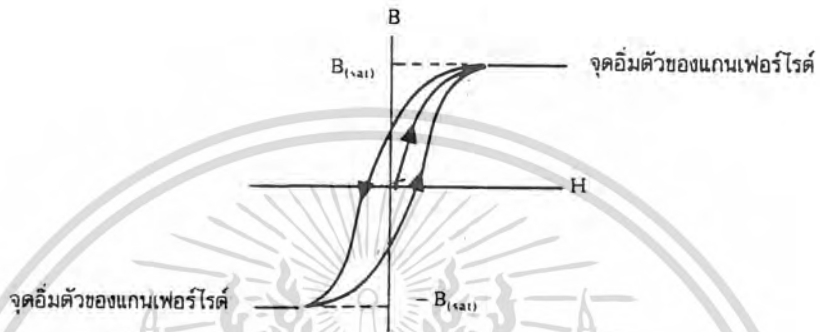
ก)



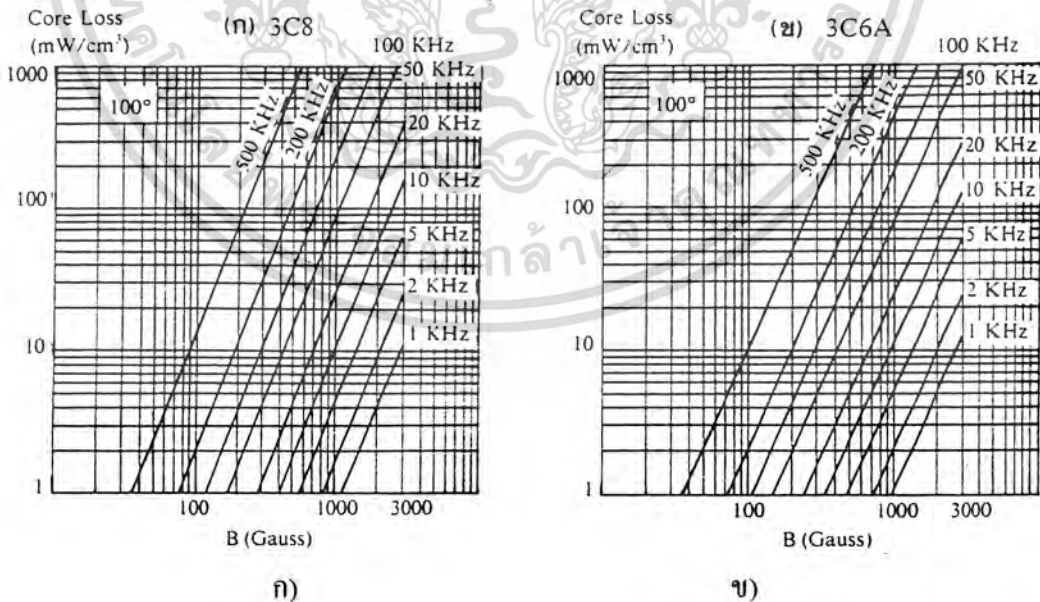
ข)

รูปที่ 4.3 แสดงเส้นโค้งฮิสเตอรีซิสของแกนเฟอร์ไรต์เนื้อสาร

เอกสารนี้เป็นเอกสารที่สงวนไว้สำหรับใช้ภายในเพื่อการศึกษาเท่านั้น ไม่อนุญาตให้นำไปใช้ประโยชน์ด้านการค้าไม่ว่ากรณีใดๆทั้งสิ้น อีกทั้งห้ามมิให้ตัดแปลงเนื้อหา และต้องอ้างอิงถึงเจ้าของเอกสารทุกครั้งที่มีการนำไปใช้



รูปที่ 4.4 แสดงลักษณะที่สมบูรณ์ของเส้นโค้งฮิสเตอร์รีซิสซึ่งจะมีลักษณะสมมาตรของกราฟซีกบนและซีกล่าง ปกติผู้ผลิตจะให้กราฟซีกบนมาเท่านั้น ดังในรูปที่ 4.3



รูปที่ 4.5 แสดงค่าการสูญเสียในแกนเฟอร์ไรต์ของเนื้อสาร ก) 3C8 และ ข) 3C6

(ที่มา : Ferroxcube)

เอกสารนี้เป็นเอกสารที่สงวนไว้สำหรับใช้ในงานเพื่อการศึกษาเท่านั้น ไม่อนุญาตให้นำไปใช้ประโยชน์ด้านการค้า ไม่ว่าจะกรณีใดๆทั้งสิ้น อีกทั้งห้ามมิให้ตัดแปลงเนื้อหา และต้องอ้างอิงถึงเจ้าของเอกสารทุกครั้งที่มีการนำไปใช้

4.2.3 การกำหนดค่าความหนาแน่นฟลักซ์แม่เหล็กสูงสุดในแกนหม้อแปลง
ค่าความหนาแน่นฟลักซ์แม่เหล็กในแกนของหม้อแปลงจะขึ้นอยู่กับจำนวนรอบของ
ขดลวดไพรมารีและขนาดของแกน จากกฎของฟาราเดย์จะได้ว่า

$$B = E / 4.44fN_pA \quad 4.1$$

- เมื่อ B คือ ค่าความหนาแน่นฟลักซ์แม่เหล็กที่เกิดขึ้นในแกน T
E คือ แรงดันที่ตกคร่อมขดไพรมารี V
N_p คือ จำนวนรอบของขดลวดไพรมารี
A คือ พื้นที่หน้าตัดของแกนเฟอร์ไรต์ m²

จะเห็นได้ว่ายิ่งจำนวนรอบของขดลวดไพรมารีมีค่าน้อยลง ความหนาแน่นฟลักซ์ที่
เกิดขึ้นจะยิ่งมีค่ามาก ซึ่งการลดจำนวนรอบขดไพรมารีลงจะทำให้สามารถใช้ลวดทองแดงขนาด
ใหญ่ขึ้นได้ และสามารถทนกระแสได้สูงทำให้หม้อแปลงจ่ายกำลังได้สูงขึ้น

อย่างไรก็ตาม หากค่าความหนาแน่นฟลักซ์แม่เหล็กมีค่าเพิ่มขึ้นจนถึงจุดอิ่มตัว จะ
ทำให้แรงดันตกคร่อมขดไพรมารีมีค่าลดลงอย่างรวดเร็ว แรงดันอินพุตจะไปตกคร่อมที่เพาเวอร์
ทรานซิสเตอร์ขณะที่กำลังนำกระแสสูงๆแทน ทำให้เพาเวอร์ทรานซิสเตอร์เสียหายได้ และ
ความหนาแน่นฟลักซ์แม่เหล็กที่มีค่าสูงจะทำให้เกิดการสูญเสียในแกนมีค่ามากอีกด้วย ดังนั้นการ
กำหนดค่าความหนาแน่นฟลักซ์แม่เหล็กสูงสุดที่ยอมให้เกิดขึ้นในแกนเฟอร์ไรต์ของหม้อแปลง
ขณะทำงาน จึงมีข้อควรคำนึงถึง 2 ประการ

- 1.แกนเฟอร์ไรต์จะต้องไม่อิ่มตัวขณะทำงาน
- 2.ที่ค่าความหนาแน่นฟลักซ์แม่เหล็กสูงสุดที่เกิดขึ้นในแกนขณะทำงานจะต้องเกิดการ
สูญเสียในแกนเฟอร์ไรต์ต่ำที่สุด

4.2.4 การเลือกใช้ขนาดของแกนเฟอร์ไรต์

การเลือกใช้ขนาดของแกนเฟอร์ไรต์ต้องพิจารณาจากกำลังงานสูงสุดที่เหมาะสม
สำหรับแกนเฟอร์ไรต์ขนาดต่างๆ พิจารณาได้จากหน้าตัดของแกน(A) และขนาดช่องสำหรับพัน
ขดลวดของบอบบิน(A_w) โดยอาจคำนวณได้จากสมการต่างๆ ดังต่อไปนี้

สำหรับแกนที่ใช้กับหม้อแปลงของฟอร์เวิร์ดอินเวอร์เตอร์

$$P = (0.5B_{max}f AA_w / D) \times 10^{-3} \quad 4.2$$

สำหรับแกนที่ใช้กับหม้อแปลงของพหุฟลูอินเวอร์เตอร์

$$P = (B_{\max} f A A_w / D) \times 10^{-3} \quad 4.3$$

สำหรับแกนที่ใช้กับหม้อแปลงของฮาล์ฟบริจและฟูลบริจอินเวอร์เตอร์

$$P = (1.4 B_{\max} f A A_w / D) \times 10^{-3} \quad 4.4$$

โดยที่ B_{\max} คือ ค่าความหนาแน่นฟลักซ์แม่เหล็กสูงสุดในแกนเฟอร์ไรต์

เกาส์

f คือ ความถี่การทำงานของแกนเฟอร์ไรต์ เฮิร์ตซ์

A คือ พื้นที่หน้าตัดของแกนเฟอร์ไรต์ ตารางเซนติเมตร

A_w คือ พื้นที่ช่องสำหรับพันขดลวดของบอบบิ้น ตารางเซนติเมตร

D คือ ความหนาแน่นกระแสในขดไพรมารี เซอร์คูลาร์มิลต่อแอมป์

P คือ กำลังงานสูงสุดที่ได้จากแกนเฟอร์ไรต์ วัตต์

ค่าของ B_{\max} ที่เหมาะสมหาได้จากกราฟ ส่วนค่าของ A และ A_w เป็นขนาดมาตรฐานของแกนเฟอร์ไรต์ที่ใช้ โดยดูได้จากข้อมูลของผู้ผลิตที่ใหม่กับแกนเฟอร์ไรต์ ค่าของ D กำหนดได้จากขนาดของขดลวดทองแดงที่ใช้พัน

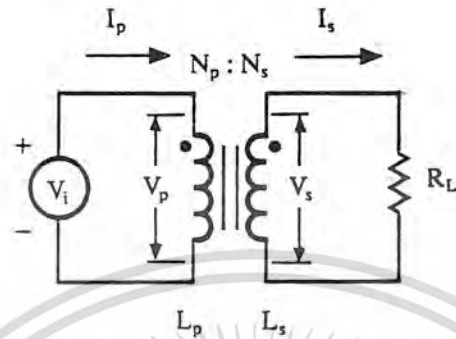
รูปที่ 4.6 แสดงค่ากำลังงานที่เหมาะสมสำหรับแกนขนาดต่างๆ ในการใช้งานที่ความถี่ 20 ถึง 100 กิโลเฮิร์ตซ์ ซึ่งคำนวณได้จากสมการที่ 4.2, 4.3, 4.4 โดยกำหนดค่าความหนาแน่น D ไว้ที่ 500 เซอร์คูลาร์มิลต่อแอมป์

ในโครงการนี้ขนาดของแกนเฟอร์ไรต์ที่ใช้จะมีขนาดใหญ่ที่สุดที่มีขายในท้องตลาดคือ แกนขนาด EE80 สาเหตุที่ใช้แกนใหญ่สุดเนื่องจากว่าต้องการให้ได้กำลังงานเอาพุมากที่สุด

4.3 ความสัมพันธ์ระหว่างขดไพรมารีและขดเซคคันดารีของหม้อแปลงไฟฟ้า

หม้อแปลงสวิตชิงจะมีความสัมพันธ์ของขดไพรมารีและขดเซคคันดารีเป็นไปตามทฤษฎีหม้อแปลงทั่วไป ผลของจำนวนรอบและค่าของแรงดันที่เกิดขึ้นในวงจรจากรูปที่ 4.6 จะเป็นดังนี้

$$V_p / V_s = N_p / N_s = I_s / I_p \quad 4.5$$



รูปที่ 4.6 แสดงความสัมพันธ์พื้นฐานของหม้อแปลง

และ

$$N_p / N_s = \sqrt{L_p / L_s} \quad 4.6$$

- เมื่อ N_p คือ จำนวนรอบของขดไพรมารี
 N_s คือ จำนวนรอบของขดเซคันดารี
 V_p คือ ค่าแรงดันตกคร่อมขดไพรมารี
 V_s คือ ค่าแรงดันตกคร่อมขดเซคันดารี
 L_p คือ ค่าความเหนี่ยวนำของขดไพรมารี
 L_s คือ ค่าความเหนี่ยวนำของขดเซคันดารี
 I_p คือ ค่ากระแสที่ไหลผ่านขดไพรมารี
 I_s คือ ค่ากระแสที่ไหลผ่านขดเซคันดารี

มีข้อสังเกตคือ แรงดัน V_p เป็นค่าแรงดันที่ตกคร่อมขดไพรมารีซึ่งเกิดจากการเปลี่ยนแปลงของฟลักซ์แม่เหล็กภายในแกนของหม้อแปลงเนื่องจากมีกระแสไหลผ่านขดไพรมารี ไม่ใช่ค่าแรงดันอินพุต V_i โดย V_p จะมีค่าเป็นไปตามสมการ

$$V_p = N_p A_E (dB/dt) \times 10^{-8} \quad 4.7$$

และค่า V_p ที่เกิดขึ้นจะมีค่าใกล้เคียงกับค่า V_i แต่ถ้านแกนเฟอร์ไรต์เกิดการอิ่มตัว อัตราการเปลี่ยนแปลงของฟลักซ์แม่เหล็กจะมีค่าน้อยมากหรือมีค่าเป็นศูนย์ แรงดันตกคร่อม V_p จะมีค่าลดลงอย่างรวดเร็วเหมือนเกิดการลัดวงจร และจะมีผลต่อการทำงานของหม้อแปลงและวงจรที่เกี่ยวข้องด้วย

4.4 การพันขดลวดทองแดงและการกำหนดขนาดของขดลวด

เอกสารนี้เป็นเอกสารที่สงวนไว้สำหรับการใช้งานเพื่อการศึกษาเท่านั้น ไม่อนุญาตให้นำไปใช้ประโยชน์ด้านการค้า ไม่ว่าจะกรณีใดๆทั้งสิ้น อีกทั้งห้ามมิให้ดัดแปลงเนื้อหา และต้องอ้างอิงถึงเจ้าของเอกสารทุกครั้งที่มีการนำไปใช้

ปกติการพันขดลวดในหม้อแปลงจะใช้ลวดทองแดงอาบน้ำยา (enamel copper wire) เป็นตัวพัน (ตารางที่ 4.1 จะแสดงขนาดและข้อมูลอื่นๆของเส้นลวดทองแดงอาบน้ำยาตามมาตรฐาน AWG ที่มีการผลิตจำหน่าย) ในขณะที่หม้อแปลงทำงาน กระแสสลับที่ไหลผ่านขดลวดนั้น มีความถี่สูง ที่ความถี่สูงๆลวดทองแดงจะนำกระแสได้เพียงที่ผิว ซึ่งมีผลทำให้พื้นที่หน้าตัดในการนำกระแสของลวดทองแดงลดลง การสูญเสียในขดลวดจะมีมากขึ้น รวมทั้งการเรียงซ้อนกันของขดลวดก็ทำให้เกิดการสูญเสียในขดลวดได้เช่นเดียวกัน กำลังงานที่สูญเสียเหล่านี้จะทำให้ขดลวดร้อน ซึ่งเป็นสิ่งที่ไม่ต้องการให้เกิดขึ้นในขณะที่หม้อแปลงทำงาน การกำหนดขนาดและวิธีการพันขดลวดทองแดงจึงต้องทำอย่างเหมาะสม เพื่อลดการสูญเสียในขดลวดทองแดงให้หมีค่าน้อยที่สุด

4.4.1 ผลจากการนำกระแสแค่เพียงที่ผิวของลวดทองแดง (Skin effect)

ลวดทองแดงเมื่อมีกระแสสลับไหลผ่านจะเกิดสนามแม่เหล็กไหลวนที่ภายในและรอบๆ สนามแม่เหล็กที่เกิดขึ้นนี้จะเหนี่ยวนำทำให้เกิดกระแสไหลวน (Eddy current) ขึ้นภายในลวดทองแดงอีกทอดหนึ่ง การไหลของกระแสไหลวนนี้จะทำให้กระแสปกติไหลได้เฉพาะที่ผิวของทองแดง ดังแสดงในรูปที่ 4.7

ปริมาณของกระแสปกติจะยังคงมีค่าเท่าเดิม แต่ความหนาแน่นของกระแสในลวดทองแดงที่ใกล้ผิวจะมีค่าสูงเพราะกระแสส่วนใหญ่ไหลได้เฉพาะที่ผิวเท่านั้น การไหลของกระแสไหลวนจะเป็นการจำกัดพื้นที่นำกระแสของลวดทองแดง และมีผลเหมือนพื้นที่นำกระแสของลวดทองแดงลดลงจากพื้นที่หน้าตัดเดิมของมัน

จากผิวของลวดทองแดงลึกลงมาในเนื้อลวดทองแดงจนถึงจุดที่ค่าความหนาแน่นของกระแสมีค่าลงมาถึง 37 เปอร์เซ็นต์ของค่าความหนาแน่นที่ผิวนั้น เราจะเรียกระยะนี้ว่าเป็นความหนาผิวนำกระแสของลวดทองแดง (Skin depth) ดังที่แสดงไว้ในรูปที่ 4.8 ความหนาของผิวนำกระแสนี้มีค่าขึ้นอยู่กับความถี่ และสำหรับลวดทองแดงที่ 100 องศาเซลเซียส ความหนาแน่นของผิวนำกระแสจะมีค่า

$$\Delta = \sqrt{5.62 / f} \quad \text{มิลลิเมตร} \quad 4.8$$

เมื่อ Δ คือ ความหนาผิวนำกระแส มิลลิเมตร

f คือ ความถี่ของกระแส กิโลเฮิร์ตซ์

4.4.2 อัตราส่วนระหว่างความต้านทานที่กระแสสลับต่อความต้านทานที่

กระแสตรงของลวดทองแดง (F_R)

เอกสารนี้เป็นเอกสารที่สงวนไว้สำหรับกาวิจัยเพื่อการศึกษาค้นคว้าเท่านั้น ไม่อนุญาตให้นำไปใช้ประโยชน์ด้านการค้าไม่ว่ากรณีใดๆทั้งสิ้น อีกทั้งห้ามมิให้ดัดแปลงเนื้อหา และต้องอ้างอิงถึงเจ้าของเอกสารทุกครั้งที่มีการนำไปใช้

เนื่องจากความต้านทานของลวดทองแดงนั้นขึ้นกับค่าพื้นที่หน้าตัดนำกระแสของมัน และที่กระแสลับพื้นที่หน้าตัดนำกระแสของลวดทองแดงจะลดลง เพราะกระแสที่ไหลได้เฉพาะที่ผิวของนำกระแส ดังนั้นความต้านทานที่กระแสลับของลวดทองแดงจึงมีค่ามากกว่าความต้านทานเมื่อมันนำกระแสตรง

อัตราส่วนระหว่างความต้านทานของลวดทองแดงที่กระแสลับต่อความต้านทานของมันที่กระแสตรง หรือ F_R (resistance factor) อาจหาได้จาก

$$F_R = R_{ac} / R_{dc} = (d/2\Delta)^2 / ((d/2\Delta)^2 - (d/2\Delta - 1)^2) \quad 4.9$$

เมื่อ R_{ac} คือ ค่าความต้านทานของลวดทองแดงที่กระแสลับ โอห์ม

R_{dc} คือ ค่าความต้านทานของลวดทองแดงที่กระแสตรง โอห์ม

d คือ ขนาดเส้นผ่านศูนย์กลางของลวดทองแดง มิลลิเมตร

Δ คือ ความหนาฉนวนนำกระแส มิลลิเมตร

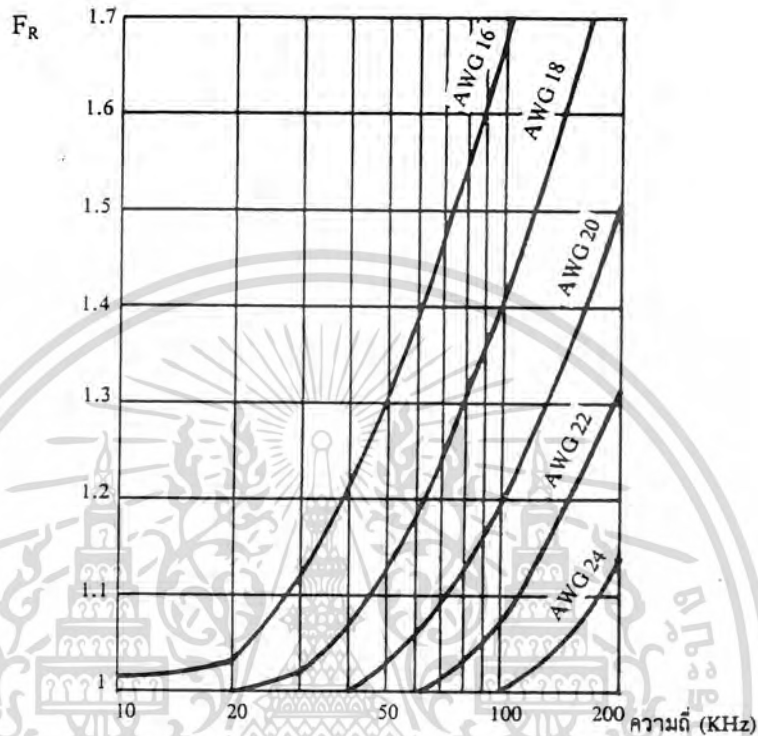
ในทางปฏิบัติ ค่า F_R อาจหาได้จากการประมาณค่าโดย

$$F_R \cong 1/4 (d/\Delta + 1) \quad \text{ถ้า } d/\Delta \geq 5 \quad 4.10$$

เมื่อเปรียบเทียบค่า F_R ของลวดทองแดงเบอร์ AWG 22 กับลวดทองแดงเบอร์ AWG 18 ที่ความถี่ 100 กิโลเฮิร์ตซ์ ตามรูปที่ 4.7 จะได้ว่า ที่ 100 กิโลเฮิร์ตซ์ ค่าความต้านทานที่กระแสลับ (R_{ac}) ของลวดทองแดงเบอร์ AWG 18 เมื่อเทียบกับค่าความต้านทานที่กระแสตรง (R_{dc}) ของมันจะมีค่ามากกว่าลวดทองแดงเบอร์ AWG 22 ขณะเดียวกันที่ความถี่เท่ากับ 20 กิโลเฮิร์ตซ์ จะไม่มีผลต่อความต้านทานของลวดทองแดง

ความหมายของค่าอัตราส่วน F_R ไม่ได้แสดงว่าความต้านทานของลวดทองแดงที่กระแสลับจะมีค่ามากขึ้นเมื่อขนาดของลวดทองแดงมากขึ้น โดยความจริงแล้วค่าความต้านทานของลวดทองแดงที่กระแสลับจะมีค่าลดลงเมื่อขนาดของลวดทองแดงใหญ่ขึ้น แต่เนื่องจากความต้านทานที่กระแสตรงมีค่าลดลงมากกว่าเมื่อขนาดของลวดทองแดงใหญ่ขึ้น ดังนั้นค่าอัตราส่วน F_R จึงมีค่ามากขึ้น การใช้ลวดทองแดงขนาดใหญ่จึงไม่เกิดประโยชน์ใดๆที่ความถี่สูงๆ เพราะเกิดการสูญเสียมากกว่าเนื่องจากค่าความต้านทานที่กระแสลับของมันขณะมีกระแสไหล

ค่าอัตราส่วน F_R จึงมีประโยชน์ในการเลือกขนาดของลวดทองแดง การกำหนดขนาดของลวดทองแดงและวิธีการพันขดลวดที่ให้ค่า F_R น้อยที่สุด จะทำให้เกิดการสูญเสียที่เกิดขึ้นในลวดทองแดงมีค่าน้อยที่สุดด้วยเช่นกัน



รูปที่ 4.7 แสดงค่าอัตราส่วนความต้านทานที่กระแสสลับต่อความต้านทานที่กระแสตรง (F_R) ของลวดทองแดงต่อความถี่ที่ลวดทองแดงขนาดต่างๆ

การแก้ปัญหาการนำกระแสที่เพียงพอลวดทองแดงเมื่อความถี่สูงจะทำได้โดยแทนที่จะใช้ลวดทองแดงขนาดใหญ่เส้นเดียวก็จะใช้ลวดทองแดงเส้นเล็กๆหลายๆเส้นมาตีกรวยเข้าด้วยกันเพื่อเพิ่มพื้นที่การนำกระแส

4.5 การออกแบบหม้อแปลงไฟฟ้ากำลัง

การออกแบบหม้อแปลงไฟฟ้ากำลังจะต้องทราบพิกัดกำลังไฟฟ้า(VA)ของหม้อแปลงที่จะใช้โดยการกำหนดแรงดันที่ดำน ไพรมารีและแรงดันที่ต้องการทางด้านเซคันดารีจะทำให้รู้ค่า turn ratio(a) ของหม้อแปลง จำนวนรอบที่ต้องพันหาได้จากสมการ

$$E_p = 4.44 f N_p BA \tag{4.11}$$

เมื่อ E_p คือ แรงดันไฟฟ้าทางดำนไพรมารี โวลต์
 f คือ ความถี่ที่ใช้งาน เฮิรตซ์

N_p คือ จำนวนรอบที่ต้องพันทางดำนไพรมารี รอบ

เอกสารนี้เป็นเอกสารที่สงวนไว้สำหรับการใช้งานเพื่อการศึกษาเท่านั้น ไม่อนุญาตให้นำไปใช้ประโยชน์ด้านการค้าไม่ว่ากรณีใดๆทั้งสิ้น อีกทั้งห้ามมิให้ดัดแปลงเนื้อหา และต้องอ้างอิงถึงเจ้าของเอกสารทุกครั้งที่มีการนำไปใช้

B คือ ความหนาแน่นสนามแม่เหล็ก เทสลา

A คือ พื้นที่หน้าตัดของแกนเฟอร์ไรต์ ตารางเมตร

จำนวนรอบที่ต้องพันทางด้านไพรมารี

$$N_p = E / 4.44f BA \quad \text{รอบ}$$

จำนวนรอบที่ต้องพันทางด้านเซคันดารี

$$N_s = N_p / a \quad \text{รอบ}$$

ส่วนการหาขนาดของขดลวดที่จะพันห่อแปลงนั้นขึ้นอยู่กับค่าของกระแสที่ด้านไพรมารีและด้านเซคันดารีโดยดูได้จากตารางการทนกระแสของลวดขนาดต่างๆ



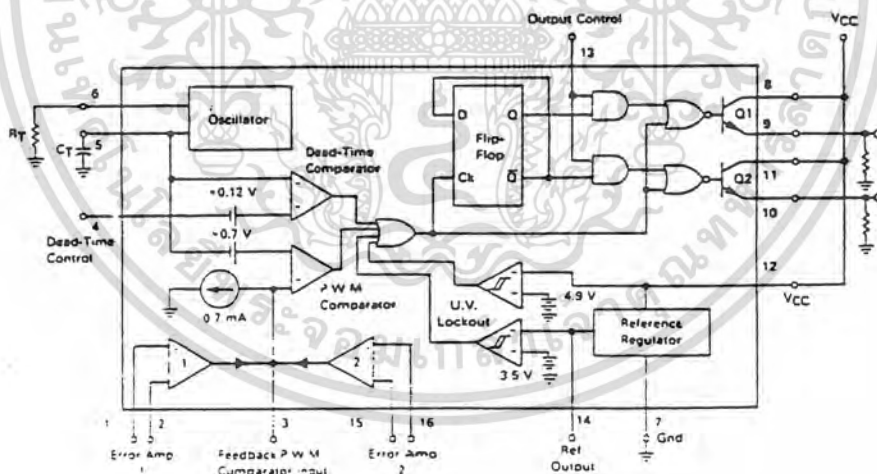
บทที่ 5

วงจรควบคุมการขับเคลื่อนของทรานซิสเตอร์

วงจรควบคุมการขับเคลื่อนของทรานซิสเตอร์จะมีหน้าที่ในการทำให้ทรานซิสเตอร์ทำงานเป็นสวิตช์ปิดเปิด เพื่อทำให้เกิดความถี่สูงที่โหลด วงจรส่วนเพาเวอร์เป็นวงจรฮาล์ฟบริค อินเวอร์เตอร์เพราะฉะนั้นจึงต้องสร้างวงจรขับเคลื่อนมา 2 ชุดมาขับทรานซิสเตอร์ให้สลับกันสวิตช์ วงจรที่สร้างสัญญาณพัลส์ได้ใช้ IC เบอร์ TL494 กำเนิดสัญญาณที่มีความถี่ 20 กิโลเฮิร์ตซ์ ค่าเดดไทม์เท่ากับ 10 เปอร์เซ็นต์ ส่วนวงจรขับใช้ Module drive transistor EXB 357 ในการขับนำเบสของทรานซิสเตอร์

5.1 ไอซีเบอร์ TL 494 สำหรับโหมดควบคุมจากแรงดัน

ไอซีเบอร์ TL 494 เป็นไอซีที่ออกแบบมาเพื่อใช้ควบคุมการทำงานของอินเวอร์เตอร์ โดยทำงานควบคุมจากโหมดแรงดัน ซึ่งจะได้นำมาเป็นวงจรสร้างพัลส์ที่มีความถี่ 20 กิโลเฮิร์ตซ์ โครงสร้างภายในและการจัดขาของ TL 494 แสดงในรูปที่ 5.1 การทำงานของไอซีจะเป็นดังนี้



รูปที่ 5.1 แสดงการจัดโครงสร้างภายในและการจัดขาของไอซีเบอร์ TL 494

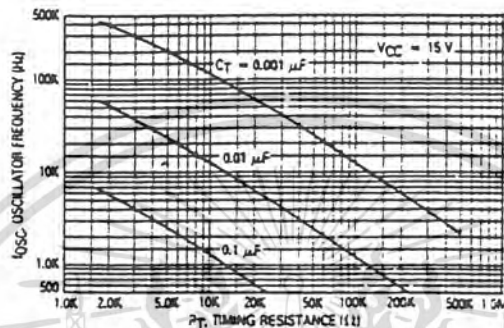
5.1.1 การกำหนดเวลาคาบการทำงาน

วงจรของ TL 494 เป็นวงจร PWM ที่มีควมถี่คงที่ คาบเวลาการทำงานของเอาพุตพัลส์กำหนดได้โดยค่าของ R_T และ C_T จากภายนอกที่ขา 6 และขา 5 ของไอซี ค่าคาบเวลาการทำงานจะกำหนดได้จาก

เอกสารนี้เป็นเอกสารที่สงวนไว้สำหรับการใช้งานเพื่อการศึกษาเท่านั้น ไม่อนุญาตให้นำไปใช้ประโยชน์ด้านการค้า ไม่ว่ากรณีใดๆทั้งสิ้น อีกทั้งห้ามมิให้ดัดแปลงเนื้อหา และต้องอ้างอิงถึงเจ้าของเอกสารทุกครั้งที่มีการนำไปใช้

$$T = R_T C_T / 1.1$$

5.1



รูปที่ 5.2 แสดงความสัมพันธ์ของค่า $R_T C_T$ ในการกำหนดความถี่ที่ความถี่การทำงาน 20 กิโลเฮิรตซ์

$$R_T = 540 \Omega$$

$$C_T = 39 \text{ nF}$$

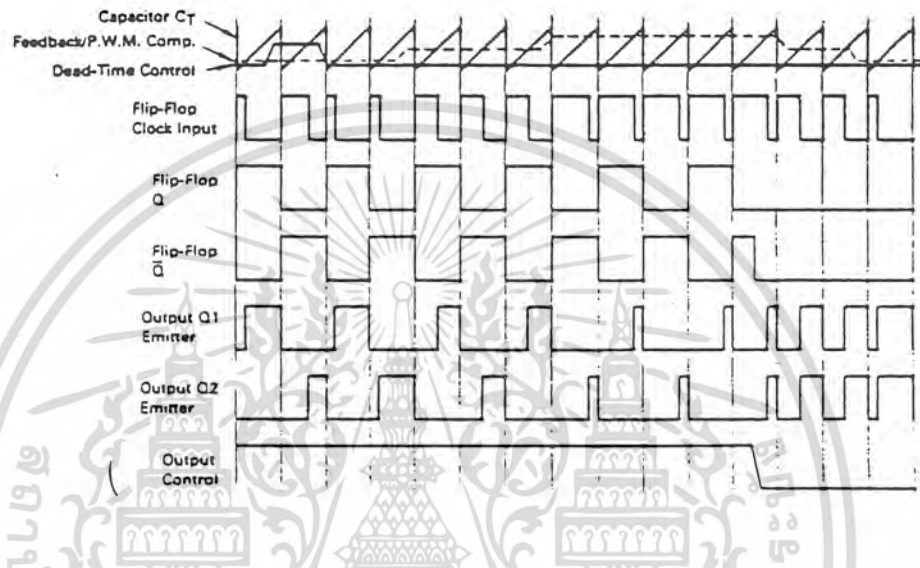
5.1.2 การทำงานของ ไอซีในการคงค่าแรงดันของอินเวอร์เตอร์

ความกว้างเอาพุทพัลส์ของไอซี จะได้จากการเปรียบเทียบสัญญาณพื้นเลี้ยงที่ขา 6 กับแรงดันที่ได้จากวงจรขยายความแตกต่าง (Error Amp) ทั้ง 2 ตัวที่ PWM Comparator ส่วน NOR เกทที่ควบคุมทรานซิสเตอร์เอาพุท Q1 และ Q2 จะทำงานก็ต่อเมื่อขา C_k ของ Flip-Flip อยู่ในสถานะ low เท่านั้น ซึ่ง C_k จะเป็น low ได้ก็ต่อเมื่อแรงดันของสัญญาณพื้นเลี้ยงมีค่ามากกว่าแรงดันที่มาจาก Error Amp ทั้ง 2 ช่อง นั่นคือแรงดันป้อนกลับจากเอาพุทของอินเวอร์เตอร์หากมีค่าสูงขึ้น ความกว้างเอาพุทของไอซีจะลดลง ในทางกลับกันแรงดันที่ป้อนหากมีค่าลดลง ความกว้างเอาพุทของไอซีจะเพิ่มขึ้น

ความกว้างเอาพุทพัลส์ของไอซีสามารถกำหนดให้มีค่ามากที่สุดหรือมีค่าเท่ากับศูนย์ได้ด้วย การเปลี่ยนแปลงแรงดันที่ขา 3 จาก 0.5 โวลต์ จนถึง 3.5 โวลต์ ส่วน Error Amp ทั้งสองตัวจะมีช่วงของอินพุทคอมมอนโหมด ตั้งแต่ -0.3 ถึง $(V_{CC}-2)$ โวลต์ และสามารถใช้ตรวจจับแรงดันหรือกระแสที่เอาพุทของอินเวอร์เตอร์ได้ Error Amp ทั้ง 2 ตัวจะให้เอาพุทในลักษณะให้สถานะ High (Active high) โดยต่ออยู่กับในลักษณะ OR ที่ขา non-inverting ของ PWM Comparator การต่อกันในลักษณะนี้ Error Amp ตัวที่ทำให้เกิดความกว้างเอาพุทพัลส์ต่ำสุดจะเป็นตัวควบคุมความกว้างเอาพุทของไอซี

เอกสารนี้เป็นเอกสารที่สงวนไว้สำหรับการใช้งานเพื่อการศึกษาเท่านั้น ไม่อนุญาตให้นำไปใช้ประโยชน์ด้านการค้า

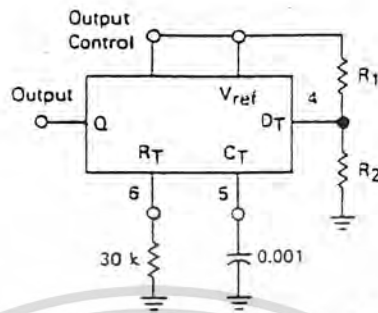
ไม่ว่ากรณีใดๆทั้งสิ้น อีกทั้งห้ามมิให้ดัดแปลงเนื้อหา และต้องอ้างอิงถึงเจ้าของเอกสารทุกครั้งที่มีการนำไปใช้



รูปที่ 5.3 แสดงรูปคลื่นลักษณะการทำงานของ TL494

5.1.3 การกำหนดค่าเวลาเพื่อ T_D (Dead Time)

TL 494 สามารถให้ผู้ใช้กำหนดค่าเวลาเพื่อ t_D ของวงจรได้เอง ด้วยการต่อแรงดันระหว่าง 0 ถึง 3.3 โวลต์ที่ขา 4 ของไอซี อย่างไรก็ตาม หากแรงดันที่ขา 4 มีค่าเท่ากับ 0 โวลต์ ค่าเวลาเพื่อต่ำสุดของไอซีจะไม่ต่ำกว่า 4 เปอร์เซ็นต์ของค่าคาบเวลาการทำงานเนื่องจากมีแรงดันออฟเซต 120 มิลลิโวลต์ต่ออยู่ภายใน ดังนั้นช่วงเวลา t_{ON} สูงสุดของอินเวอร์เตอร์ที่ได้จากไอซีจะเท่ากับ 48 เปอร์เซ็นต์ ของค่าคาบเวลาเมื่อต่อขา 13(output control) เข้ากับขา 14(+ 5 V_{ref}) และมีค่าเท่ากับ 96 เปอร์เซ็นต์ ของค่าคาบเวลาเมื่อต่อขา 13 ลงกราวด์



$$\text{Max \% on Time, Each Output} = 45 - \left(\frac{80}{1 + \frac{R_1}{R_2}} \right)$$

รูปที่ 5.4 แสดงวงจรการต่อเดดทามย์

จากสูตร

$$\% \text{ ON} = 45 - [80 / (1 + R_1/R_2)] \quad 5.2$$

ต้องการ Dead time = 10% ดังนั้น % ON = 40 แทนค่าในสมการ 5.2 จะได้

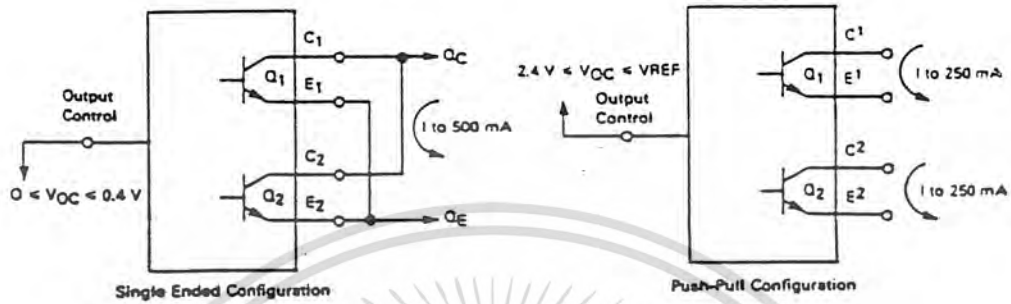
$$R_1/R_2 = 15$$

ให้ $R_1 = 15 \text{ k}\Omega$, $R_2 = 1 \text{ k}\Omega$

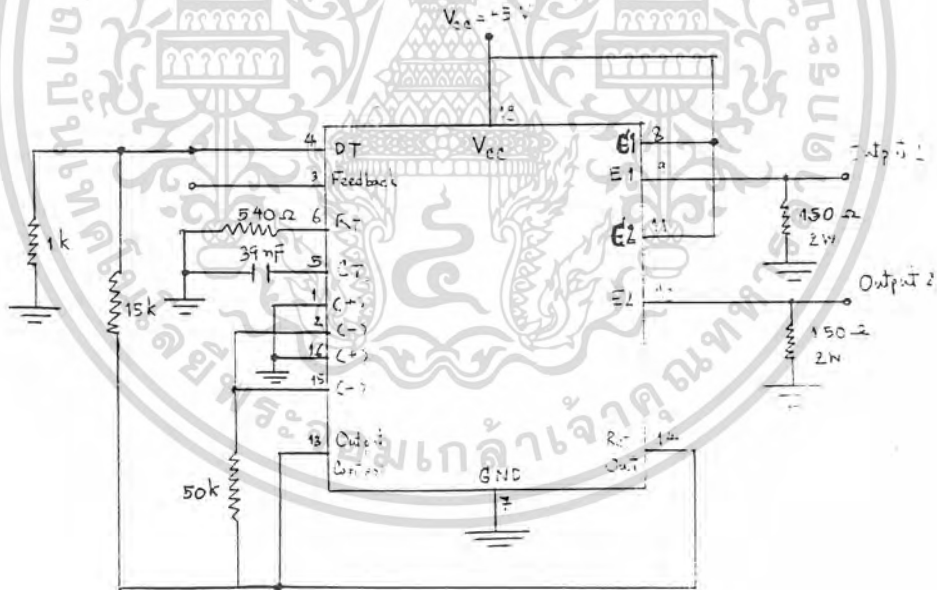
5.1.4 การเลือกใช้ Q1 และ Q2 ที่เอาพุทของไอซี

เอาพุท Q1 และ Q2 ของไอซีสามารถทำงานได้ 2 โหมด คือ ทำงานพร้อมกัน หรือ สลับกันทำงาน ซึ่งสามารถเลือกการทำงานได้ที่ขา 13 (output control) โดยขณะที่ CT ดิสชาร์จ เอาพุทของ Dead-Time Comparator จะให้พัลส์ออกมา Ck จะมีสถานะเป็น High และหยุดการทำงานของ Q1 และ Q2 ถ้ากำหนดให้ขา 13 มีสถานะเป็น High โดยการต่อเข้ากับขา 4 (+5 Vref) Q1 และ Q2 จะสลับกันทำงานตามจังหวะของ Flip-Flop เพื่อใช้ขับอินเวอร์เตอร์แบบ พุชพุต ในกรณีนี้คาบเวลาการทำงานจะเป็น 2 เท่าของค่าคาบเวลาสัญญาณพื้นเลื้อยของไอซี แต่ถ้ากำหนดให้ขา 13 มีสถานะเป็น low โคนการต่อลงกราวด์ (ยกเลิก Flip-Flop) Q1 และ Q2 จะทำงานพร้อมกันและสามารถขนาน Q1 และ Q2 เข้าด้วยกันได้ ถ้าต้องการให้นำกระแสได้มากขึ้น ในกรณีนี้คาบเวลาการทำงานจะมีค่าเท่ากับค่าคาบเวลาของสัญญาณพื้นเลื้อยของไอซี (ช่วงนำกระแสสูงสุดเท่ากับ 96% ของค่าคาบเวลา

TI 494 ต้องการไฟเลี้ยงในช่วง Vcc = 7 ถึง 40 โวลต์ มีแรงดันอ้างอิงภายใน Vref=5 โวลต์ และสามารถจ่ายกระแสได้ถึง 10 มิลลิแอมป์เพื่อใช้กับวงจรภายนอกได้ โดยมีค่าความถูกต้อง ± 1.5 % ความคลาดเคลื่อนทางอุณหภูมิมีค่าน้อยกว่า 50 มิลลิโวลต์เมื่อทำงานในช่วง 0 ถึง 70°C



รูปที่ 5.5 แสดงลักษณะการเลือกใช้อุปกรณ์ของ TL 494



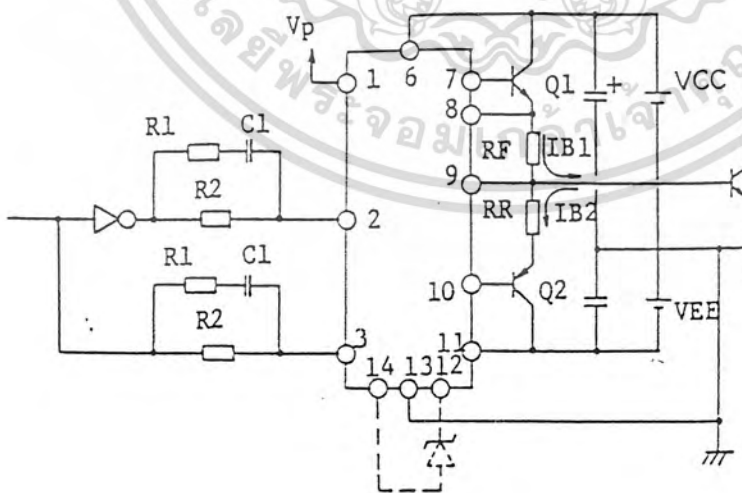
รูปที่ 5.6 การต่อวงจรสร้างพัลส์ความถี่ 20 kHz ของ TL 494

เอกสารนี้เป็นเอกสารที่สงวนไว้สำหรับการใช้งานเพื่อการศึกษาเท่านั้น ไม่นิยมนำไปใช้ประโยชน์ด้านการค้า
ไม่ว่ากรณีใดๆทั้งสิ้น อีกทั้งห้ามมิให้ดัดแปลงเนื้อหา และต้องอ้างอิงถึงเจ้าของเอกสารทุกครั้งที่มีการนำไปใช้



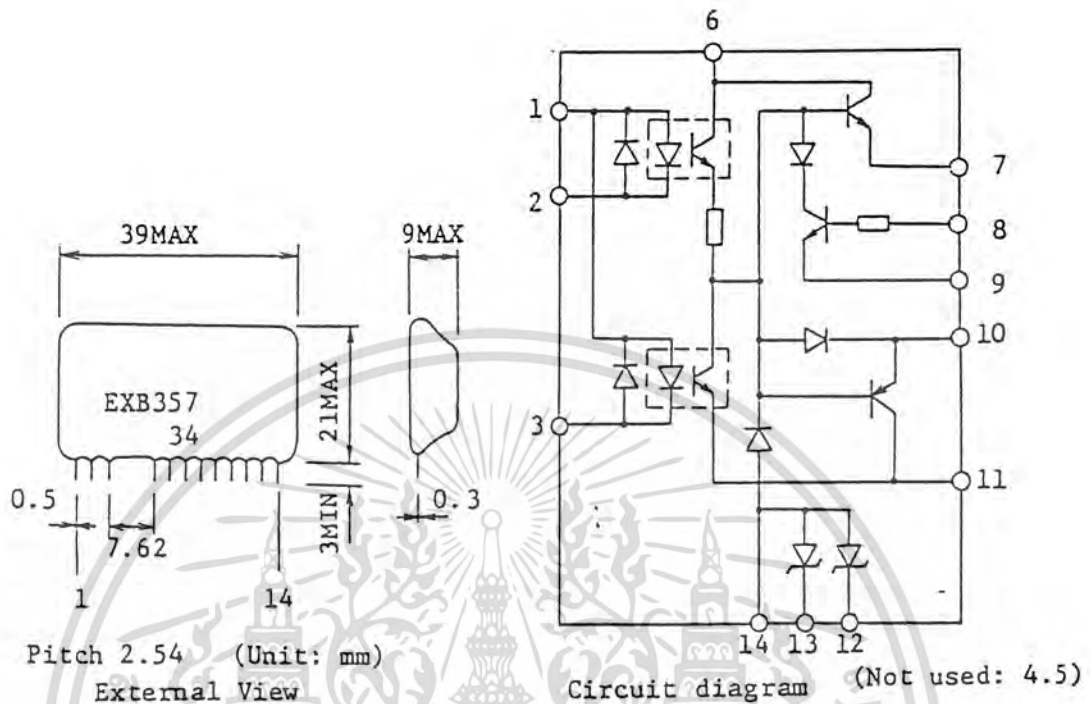
รูปที่ 5.7 แสดงสัญญาณเอาพุท Q1 และ Q2 ที่ C₁ และ C₂

5.2 วงจรขับเบสทรานซิสเตอร์ โดยใช้ Module drive transistor EXB 357



รูปที่ 5.8 วงจรขับเบสทรานซิสเตอร์

เอกสารนี้เป็นเอกสารที่สงวนไว้สำหรับการใช้งานเพื่อการศึกษาเท่านั้น ไม่อนุญาตให้นำไปใช้ประโยชน์ด้านการค้า
ไม่ว่ากรณีใดๆทั้งสิ้น อีกทั้งห้ามมิให้ดัดแปลงเนื้อหา และต้องอ้างอิงถึงเจ้าของเอกสารทุกครั้งที่มีการนำไปใช้



รูปที่ 5.9 แสดงขาและส่วนประกอบภายในของ EXB 357

เมื่อวงจร PWM โดย TL 494 สร้างสัญญาณพัลซที่มีความถี่ 20 กิโลเฮิรตซ์ จะนำมาผ่านวงจรขับเบสเพื่อทำหน้าที่ในการขยายกระแสไปขับทรานซิสเตอร์ส่วนเพาเวอร์ วงจรขับเบสเป็นดังรูปที่ 5.8 โดยใช้ Module drive transistor EXB 357 ภายใน Module ของ EXB 357 จะมี Opto-coupler เป็นตัวแยก (isolate) วงจรทางด้านอินพุตและเอาพุตออกจากกัน

ลักษณะการทำงานของวงจรก็คือ เมื่อมีสัญญาณพัลซจากวงจร PWM มาเข้านอกเทกเพื่อกลับสัญญาณจากอินพุตไปเข้าขา 2 และมีสัญญาณจากอินพุตไปเข้าขา 3 ก่อนที่จะต่อเข้าขา 2 และ 3 จะต้องมียุคความต้านทาน และตัวเก็บประจุมาต่อเพื่อจำกัดกระแส (limit current) และเร่งสปีดกระแส (up speed) สัญญาณที่ขา 2 และ 3 จะมีลักษณะกลับเฟสกันดังนั้นออปโตไดโอดในตัวโมดูลจะสลับกันเปิดและปิด

ช่วงที่จะทำให้ทรานซิสเตอร์ส่วนเพาเวอร์ on เมื่อออปโตที่ขา 2 On จะทำให้มีกระแสไหลออกจากขา 7 เพราะทรานซิสเตอร์ที่ขา 7 ภายในโมดูล on กระแสที่ออกจากขา 7 จะไปขับ Q1(npn) ที่ทำหน้าที่ในการขยายกระแสผ่านความต้านทาน RF ไปยังทรานซิสเตอร์ส่วนเพาเวอร์ ทำให้ทรานซิสเตอร์ตัวเมน on

ช่วงที่จะทำให้ทรานซิสเตอร์ส่วนเพาเวอร์ Off เมื่อออปโตที่ขา 3 On จะทำให้มีกระแสไหลเข้าขา 10 เนื่องจากทรานซิสเตอร์ที่ต่ออยู่ขา 10 ภายในโมดูล on ทำให้ทรานซิสเตอร์
เอกสารนี้เป็นเอกสารที่สงวนไว้สำหรับการใช้งานเพื่อการศึกษาเท่านั้น ไม่นอนุญาตให้นำไปใช้ประโยชน์ด้านการค้า
ไม่ว่ากรณีใดๆทั้งสิ้น อีกทั้งห้ามมิให้ดัดแปลงเนื้อหา และต้องอ้างอิงถึงเจ้าของเอกสารทุกครั้งที่มีการนำไปใช้

Q2(ppp) on ทรานซิสเตอร์ Q2 จะทำหน้าที่ดึงกระแสออกจากเบสของทรานซิสเตอร์ส่วนเพาเวอร์เพื่อให้ทรานซิสเตอร์ตัวเมน off

ทรานซิสเตอร์ในวงจรฮาล์ฟบริจอินเวอร์เตอร์จะมีอยู่สองตัว ทรานซิสเตอร์ทั้งสองจะทำหน้าที่สลับกัน on และ off ดังนั้นวงจรขับเคลื่อนจึงต้องมี 2 ชุด เพื่อขับเคลื่อนทรานซิสเตอร์ให้สลับกัน on และ off

ช่วง on ทรานซิสเตอร์ตัวเมน เท่ากับ 2 โวลต์

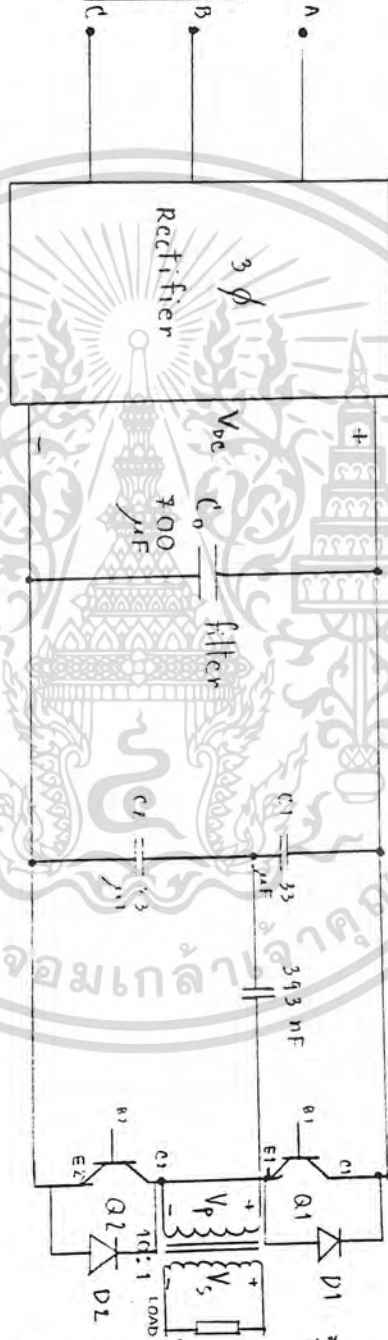
ช่วง off ทรานซิสเตอร์ตัวเมน เท่ากับ -3.5 โวลต์



เอกสารนี้เป็นเอกสารที่สงวนไว้สำหรับการใช้งานเพื่อการศึกษาเท่านั้น ไม่อนุญาตให้นำไปใช้ประโยชน์ด้านการค้า
ไม่ว่ากรณีใดๆทั้งสิ้น อีกทั้งห้ามมิให้ตัดแปลงเนื้อหา และต้องอ้างอิงถึงเจ้าของเอกสารทุกครั้งที่มีการนำไปใช้

บทที่ 6

ผลการทดลอง



รูปที่ 6.1 แสดงวงจรสวิตเซอร์เพาเวอร์ทั้งหมด

เอกสารนี้เป็นเอกสารที่สงวนไว้สำหรับการใช้งานเพื่อการศึกษาเท่านั้น ไม่อนุญาตให้นำไปใช้ประโยชน์ด้านการค้า
ไม่ว่ากรณีใดๆทั้งสิ้น อีกทั้งห้ามมิให้ดัดแปลงเนื้อหา และต้องอ้างอิงถึงเจ้าของเอกสารทุกครั้งที่มีการนำไปใช้

ผลการทดลอง

1. แรงดันลายนทุกลายน

$$V_{AB} = V_{BC} = V_{AC} = 260 \text{ V}$$

2. กระแสอินพุทเข้าเรกติไฟรเออร์

$$i_A = i_B = i_C = 1.1 \text{ A}$$

3. แรงดันที่ดิสชีบัส

$$V_{DC} = 350 \text{ V}$$

4. แรงดันที่คร่อมคานไพรมารีของหม้อแปลง

$$V_p = 400 \text{ V p-p}$$

5. กระแสที่ไหลผ่านคานไพรมารีของหม้อแปลง

$$i_p = 2.7 \text{ A}$$

6. แรงดันที่คร่อมคานเซคันดารีของหม้อแปลง (แรงดันที่โหลด)

$$V_s = 40 \text{ V p-p}$$

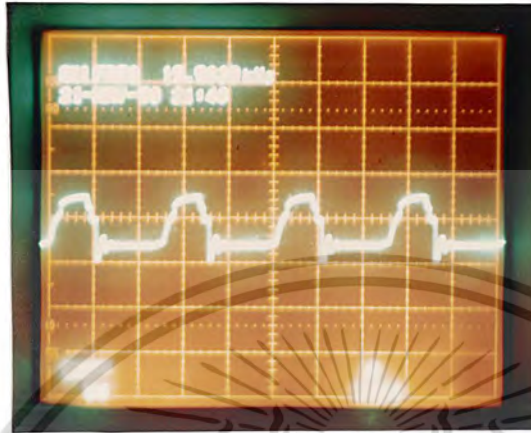
7. กระแสที่ไหลผ่านคานเซคันดารีของหม้อแปลง (กระแสโหลด)

$$i_s = 27 \text{ A}$$

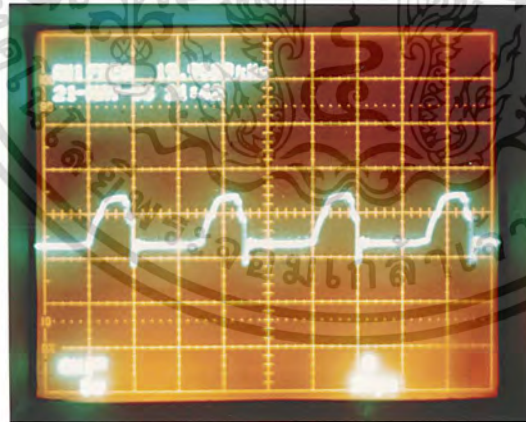
8. ความถี่ที่ใช้ในการทดลอง

$$f = 20 \text{ kHz}$$

เอกสารนี้เป็นเอกสารที่สงวนไว้สำหรับการใช้งานเพื่อการศึกษาเท่านั้น ไม่อนุญาตให้นำไปใช้ประโยชน์ด้านการค้า
ไม่ว่ากรณีใดๆทั้งสิ้น อีกทั้งห้ามมิให้ดัดแปลงเนื้อหา และต้องอ้างอิงถึงเจ้าของเอกสารทุกครั้งที่มีการนำไปใช้

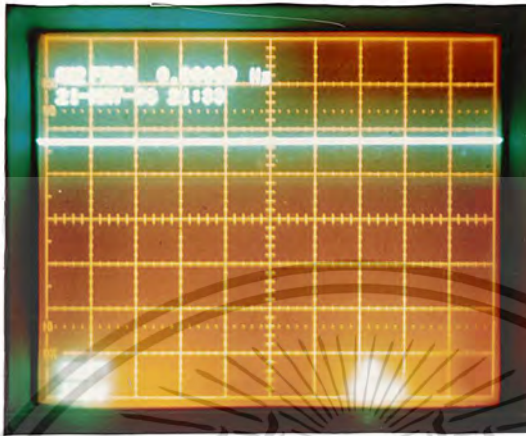


รูปที่ 6.3 ลักษณะรูปสัญญาณขับเคลื่อนของทรานซิสเตอร์ Q_1
(CH1 5V/ DIVISION)

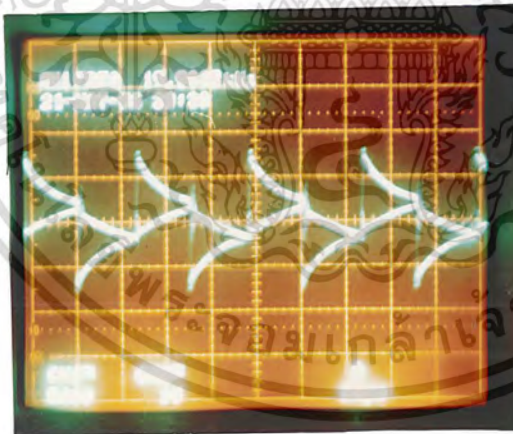


รูปที่ 6.4 ลักษณะรูปสัญญาณขับเคลื่อนของทรานซิสเตอร์ Q_2
(CH1 5V/ DIVISION)

เอกสารนี้เป็นเอกสารที่สงวนไว้สำหรับการใช้งานเพื่อการศึกษาเท่านั้น ไม่อนุญาตให้นำไปใช้ประโยชน์ด้านการค้า
ไม่ว่ากรณีใดๆทั้งสิ้น อีกทั้งห้ามมิให้ดัดแปลงเนื้อหา และต้องอ้างอิงถึงเจ้าของเอกสารทุกครั้งที่มีการนำไปใช้



รูปที่ 6.5 แสดงแรงดันไฟฟ้าที่คร่อมคิซีบัส
(CH1 200V/ DIVISION)



รูปที่ 6.6 แสดงลักษณะของแรงดันตกคร่อมและกระแสที่ไหลผ่านคานไฟโรมารีของหม้อแปลง
(CH1 500V/DIVISION CH2 1V/DIVISION)

เอกสารนี้เป็นเอกสารที่สงวนไว้สำหรับการใช้งานเพื่อการศึกษาเท่านั้น ไม่อนุญาตให้นำไปใช้ประโยชน์ด้านการค้า
ไม่ว่ากรณีใดๆทั้งสิ้น อีกทั้งห้ามมิให้ตัดแปลงเนื้อหา และต้องอ้างอิงถึงเจ้าของเอกสารทุกครั้งที่มีการนำไปใช้

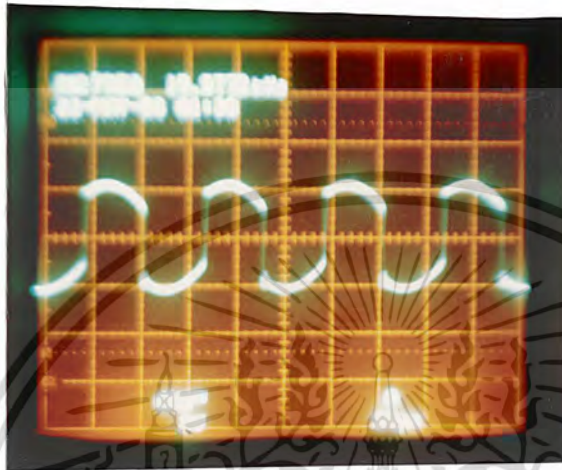


รูปที่ 6.7 แสดงลักษณะของแรงดันตกคร่อมและกระแสที่ไหลผ่านทรานซิสเตอร์ Q_1
(CH1 500V/DIVISION CH2 0.5V/DIVISION)



รูปที่ 6.8 แสดงลักษณะของแรงดันตกคร่อมและกระแสไหลผ่านทรานซิสเตอร์ Q_2
(CH1 500V/DIVISION CH2 0.5V/DIVISION)

เอกสารนี้เป็นเอกสารที่สงวนไว้สำหรับการใช้งานเพื่อการศึกษาเท่านั้น ไม่อนุญาตให้นำไปใช้ประโยชน์ด้านการค้า
ไม่ว่ากรณีใดๆทั้งสิ้น อีกทั้งห้ามมิให้ดัดแปลงเนื้อหา และต้องอ้างอิงถึงเจ้าของเอกสารทุกครั้งที่มีการนำไปใช้



รูปที่ 6.9 แสดงลักษณะของแรงดันตกคร่อมต้านเซกซ์คาร์บอนของหม้อแปลง
(แรงดันที่โหลด)
(CH2 20V/DIVISION)

9. อุณหภูมิห้องเท่ากับ 22 องศาเซลเซียส
เมื่อเริ่มเดินเครื่องแล้วจับเวลาจนถึง 40 นาที
อุณหภูมิที่เข้าหอคอมเป็น 230 องศาเซลเซียส

เอกสารนี้เป็นเอกสารที่สงวนไว้สำหรับการใช้งานเพื่อการศึกษาเท่านั้น ไม่อนุญาตให้นำไปใช้ประโยชน์ด้านการค้า
ไม่ว่ากรณีใดๆทั้งสิ้น อีกทั้งห้ามมิให้ดัดแปลงเนื้อหา และต้องอ้างอิงถึงเจ้าของเอกสารทุกครั้งที่มีการนำไปใช้

บทที่ 7

สรุปและวิจารณ์ผลการทดลอง

7.1 สรุปผลการทดลอง

จากรูปที่ 6.3 และ 6.4 เป็นรูปสัญญาณขับทรานซิสเตอร์ซึ่งทั้งสองสัญญาณจะมีเฟสกลับกันเพื่อให้ทรานซิสเตอร์ทั้งสองเป็นสวิตช์เปิด-ปิดสลับกัน สัญญาณซิกบวกรประมาณ 2 โวลต์เป็นช่วงที่ทำให้ทรานซิสเตอร์ on และสัญญาณซิกลบประมาณ -3.5 โวลต์เป็นช่วงที่ทำให้ทรานซิสเตอร์ off ซึ่งช่วงที่ทรานซิสเตอร์ on จะมีแรงดันคร่อมขาคอลเล็กเตอร์และอีมีเตอร์ $V_{CE} = V_{CE(SAT)}$ (ประมาณศูนย์) ทำให้มีกระแสไหลผ่านทรานซิสเตอร์ และช่วงที่ทรานซิสเตอร์ off จะทำให้มีแรงดันคร่อมขาคอลเล็กเตอร์และอีมีเตอร์ $V_{CE} = V_{DC}$ เพราะเป็นวงจรแบบฮาล์ฟบริจอินเวอร์เตอร์แรงดันจะถูกหารจโดยตัวเก็บประจุตัวละครึ่งหนึ่งของแรงดันที่ตีซิปัส ช่วงนี้จะเป็นช่วงที่ไม่มีกระแสไหลผ่านทรานซิสเตอร์กระแสเป็นศูนย์ ดูได้จากรูปที่ 6.7 และ 6.8 เป็นรูปของแรงดันและกระแสของทรานซิสเตอร์ Q1 และ Q2 ขณะ on และ off ตามลำดับ ยอดแหลมที่สูงเกินค่าแรงดันปกติกคือสไปค์ที่เกิดขึ้นเมื่อทรานซิสเตอร์ on และ off ลักษณะของแรงดันตกคร่อมและกระแสที่ผ่านด้านไพรมารีของหม้อแปลงแสดงไว้ในรูปที่ 6.6 waveform ของกระแสจะตามหลัง (lag) waveform ของแรงดันอยู่เนื่องจากโหลดเป็น RL ที่กำหนดไว้จากการคำนวณให้กระแสตามหลังแรงดันเป็นค่าเฟวเวอร์แบ็กเตอร์เท่ากับ 0.7 pf. lagging (ค่า R ของขดลวดเหนี่ยวนำเท่ากับ 12.2 โอห์ม และค่า L ของขดลวดเหนี่ยวนำเท่ากับ 0.26 mH เมื่อ refer ไปทางด้านไพรมารีของหม้อแปลง ค่า turn ratio เท่ากับ 10)

$$\text{จากสูตร} \quad \cos \phi = R / \sqrt{R^2 + (X_L^2 - X_C^2)} \quad 7.1$$

$$X_L = 2\pi f L$$

$$= 2 \times 227 \times 20000 \times 0.26 \times 10^{-3}$$

$$= 32.67 \quad \Omega$$

$$0.7 = 12.2 / \sqrt{12.2^2 + (32.67^2 - X_C^2)}$$

$$\text{จะได้} \quad X_C = 20.22 \quad \Omega$$

$$X_C = 1 / 2\pi f C$$

$$C = 393 \quad \text{nF}$$

ใช้ตัวเก็บประจุ C ขนาด 393 nF มาต่ออนุกรมกับด้านไพรมารีของหม้อแปลงเพื่อปรับค่าเพาเวอร์แฟกเตอร์ให้เท่ากับ 0.7 pf. lagging ซึ่งจากรูปกระแสตามหลังแรงดันเป็นค่าเพาเวอร์แฟกเตอร์เท่ากับ 0.67 pf. lagging ซึ่งมีค่าใกล้เคียงกับ 0.7 pf. lagging ที่คำนวณไว้ ลักษณะของแรงดันจะใกล้เคียง square wave และลักษณะของกระแสมีลักษณะใกล้เคียงกับ sine wave ส่วนลักษณะแรงดันทางด้านเซคันดารีจะเป็น square wave มีซิกบวกลบและซิกลบเท่ากัน เนื่องจากที่โหลดเป็นไฟกระแสสลับดังแสดงในรูปที่ 6.9

อุณหภูมิที่เบ้าหลอมจะเพิ่มขึ้นเรื่อยๆจนถึงค่าๆหนึ่งจะหยุดนิ่ง(steady state) ซึ่งจากการทดลองอุณหภูมิจะหยุดที่ 230 °C

7.2 วิจารณ์ผลการทดลอง

จากผลการทดลองกระแสที่โหลดจะตามหลังแรงดันมีค่าเพาเวอร์แฟกเตอร์เท่ากับ 0.67 pf. lagging ซึ่งต่างจากที่คำนวณไว้เล็กน้อยเนื่องจากความต้านทานและค่าความเหนี่ยวนำของขดลวดเหนี่ยวนำที่วัดได้อาจมีค่าคลาดเคลื่อนจากความเป็นจริงเล็กน้อยทำให้ค่าเพาเวอร์แฟกเตอร์ไม่ได้ตามที่คำนวณไว้ตอนแรก แต่ก็แตกต่างเพียงเล็กน้อยลักษณะของแรงดันคร่อมทรานซิสเตอร์จะมีสไปค์เมื่อทรานซิสเตอร์ on และ off และกระแสจะมี waveform ไม่ใช่ sine wave ที่เดียวเนื่องจากวงจรยังไม่เกิดการออสซิลเลตทำให้ลักษณะของกระแสเป็นดังรูปที่ 6.6 แรงดันที่โหลดจะเป็น square wave มีทั้งซิกบวกลบและซิกลบเท่ากันเพราะวงจรอินเวอร์เตอร์แบบฮาล์ฟบริจจะเปลี่ยนไฟกระแสตรงเป็นไฟกระแสสลับ และแรงดันที่โหลดจะเท่ากับ $\pm V_{DC} / 2$ อุณหภูมิที่เบ้าหลอมยังไม่สามารถหลอมโลหะพวกทองแดง ทองเหลือง อลูมิเนียมได้เนื่องจากอุณหภูมียังไม่สูงพอเพียงแต่ทำให้โลหะเหล่านี้ร้อนเท่านั้น ที่หลอมได้คือตะกั่วซึ่งมีจุดหลอมเหลวต่ำที่สุด

7.3 แนวทางการพัฒนาต่อไป

ในโครงงานนี้วงจรอินเวอร์เตอร์ที่ใช้เป็นแบบฮาล์ฟบริจ แรงดันที่โหลดจะมีค่าเพียงครึ่งหนึ่งของแรงดันกระแสตรงทำให้กำลังเกิดขึ้นน้อย ถ้าพัฒนาต่อไปควรเป็นวงจรฟูลบริจอินเวอร์เตอร์

เพื่อให้แรงดันที่โหลดมีค่าเท่ากับแรงดันกระแสตรงทั้งบวกและลบ จะทำให้มีกำลังเพิ่มขึ้นเป็นสองเท่าของวงจรฮาล์ฟบริจอินเวอร์เตอร์ ส่วนกระแสที่ยังไม่เป็น sine wave ควรปรับความถี่ให้ได้ความถี่ที่เกิดการออสซิลเลต กระแสจะเป็น sine และแรงดันจะเป็น square wave หม้อแปลงไฟฟ้ากำลังควรออกแบบให้เพิ่มกระแสโหลดให้มากขึ้นเพื่อทำให้เกิดความร้อนสูงขึ้น



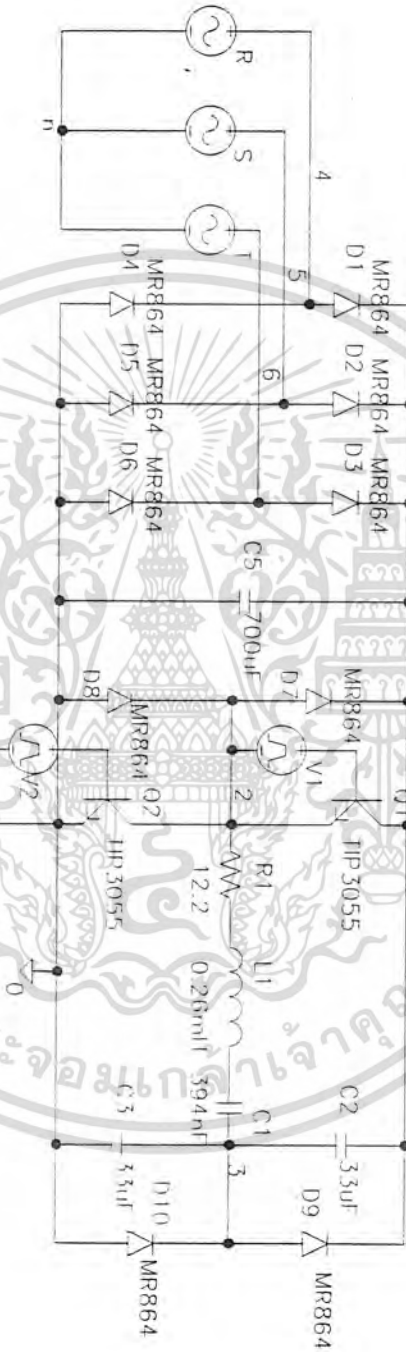
เอกสารนี้เป็นเอกสารที่สงวนไว้สำหรับการใช้งานเพื่อการศึกษาเท่านั้น ไม่อนุญาตให้นำไปใช้ประโยชน์ด้านการค้า ไม่ว่ากรณีใดๆทั้งสิ้น อีกทั้งห้ามมิให้ดัดแปลงเนื้อหา และต้องอ้างอิงถึงเจ้าของเอกสารทุกครั้งที่มีการนำไปใช้



ภาคผนวก

เอกสารนี้เป็นเอกสารที่สงวนไว้สำหรับการใช้งานเพื่อการศึกษาเท่านั้น ไม่อนุญาตให้นำไปใช้ประโยชน์ด้านการค้า
ไม่ว่ากรณีใดๆทั้งสิ้น อีกทั้งห้ามมิให้ดัดแปลงเนื้อหา และต้องอ้างอิงถึงเจ้าของเอกสารทุกครั้งที่มีการนำไปใช้

ผลการ simulate วงจรสลับฟรีควิเอนเซอร์



เอกสารนี้เป็นเอกสารที่สงวนไว้สำหรับการใช้งานเพื่อการศึกษาเท่านั้น ไม่อนุญาตให้นำไปใช้ประโยชน์ด้านการค้า
ไม่ว่ากรณีใดๆทั้งสิ้น อีกทั้งห้ามมิให้ดัดแปลงเนื้อหา และต้องอ้างอิงถึงเจ้าของเอกสารทุกครั้งที่มีการนำไปใช้

* C:\MSIM53\MAIN.SCH

Date/Time run: 04/06/96 01:30:31

Temperature: 27.0

(A) C:\MSIM53\MAIN.DAT



Time

Date: April 06, 1996

Page 1

Time: 01:41:57

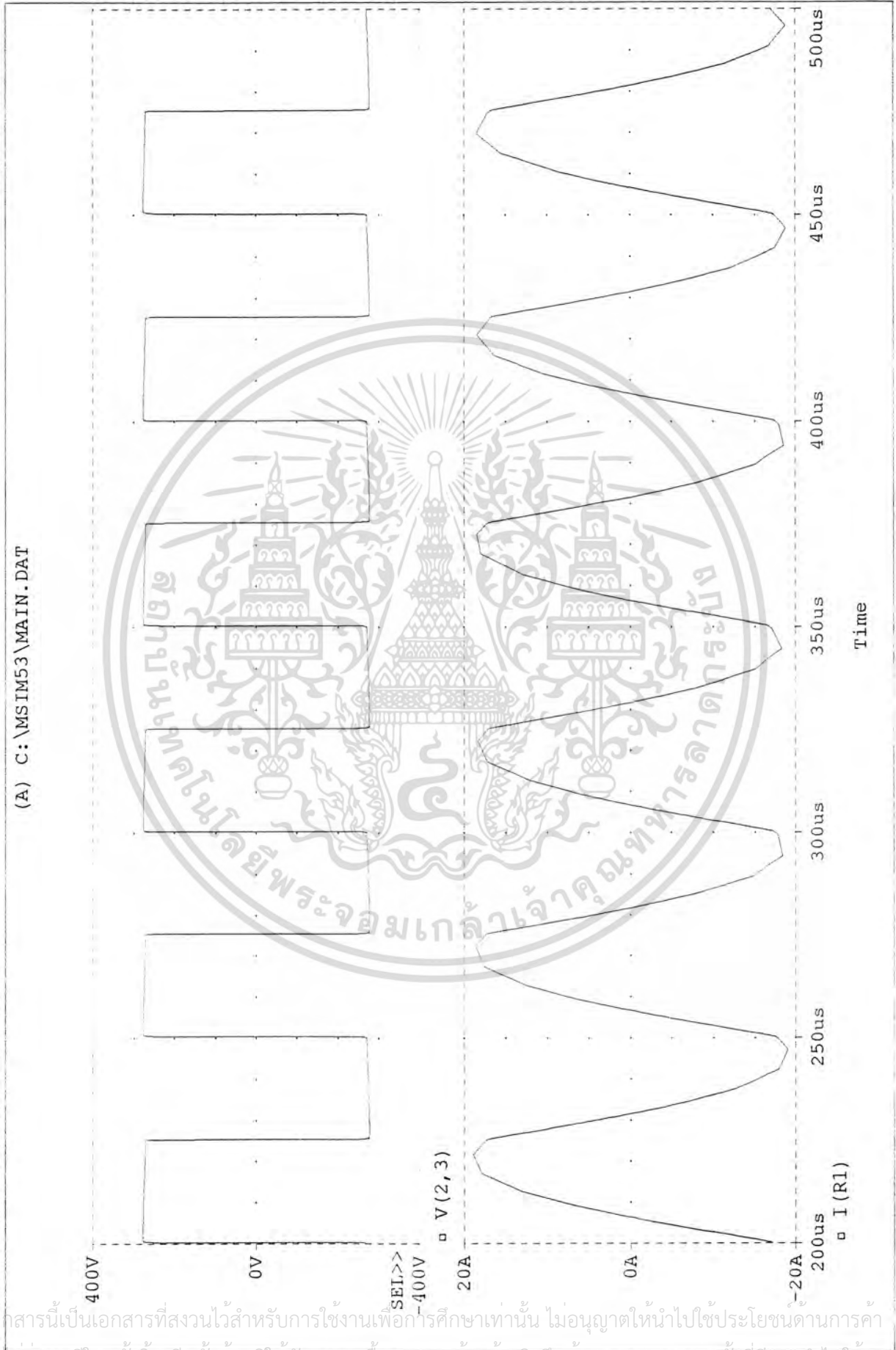
เอกสารนี้เป็นเอกสารที่สงวนไว้สำหรับการใช้งานเพื่อการศึกษาเท่านั้น ไม่อนุญาตให้นำไปใช้ประโยชน์ทางการค้า
ไม่ว่ากรณีใดๆทั้งสิ้น อีกทั้งห้ามมิให้ตัดแปลงเนื้อหา และต้องอ้างอิงถึงเจ้าของเอกสารทุกครั้งที่มีการนำไปใช้

* C:\MSIM53\MAIN.SCH

Date/Time run: 04/06/96 01:30:31

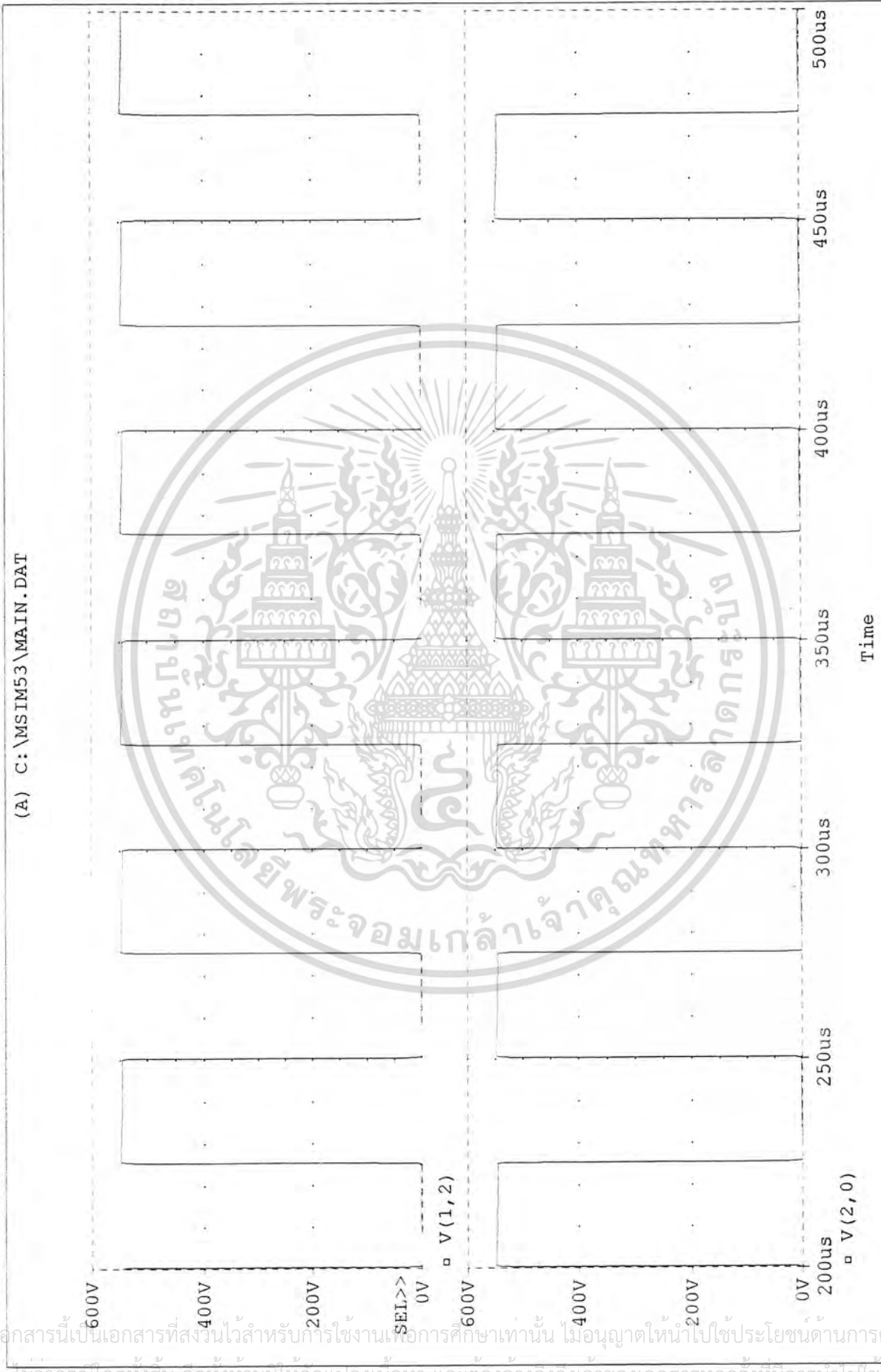
Temperature: 27.0

(A) C:\MSIM53\MAIN.DAT



เอกสารนี้เป็นเอกสารที่สงวนไว้สำหรับการใช้งานเพื่อการศึกษาเท่านั้น ไม่นุญขาดให้นำไปใช้ประโยชน์ด้านการค้า
ไม่ว่ากรณีใดๆทั้งสิ้น อีกทั้งห้ามมิให้ดัดแปลงเนื้อหา และต้องอ้างอิงถึงเจ้าของเอกสารทุกครั้งที่มีการนำไปใช้

(A) C:\MSIM53\MAIN.DAT



เอกสารนี้เป็นเอกสารที่สงวนไว้สำหรับการใช้งานเพื่อการศึกษาเท่านั้น ไม่อนุญาตให้นำไปใช้ประโยชน์ด้านการค้า
ไม่ว่ากรณีใดๆทั้งสิ้น อีกทั้งห้ามมิให้ดัดแปลงเนื้อหา และต้องอ้างอิงถึงเจ้าของเอกสารทุกครั้งที่มีการนำไปใช้



MOTOROLA

TL494

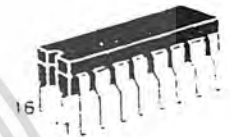
**SWITCHMODE
PULSE WIDTH MODULATION
CONTROL CIRCUITS**

The TL494 is a fixed frequency, pulse width modulation control circuit designed primarily for Switchmode power supply control. This device features:

- Complete Pulse Width Modulation Control Circuitry
- On-Chip Oscillator With Master Or Slave Operation
- On-Chip Error Amplifiers
- On-Chip 5 Volt Reference
- Adjustable Dead-Time Control
- Uncommitted Output Transistors Rated to 500 mA Source Or Sink
- Output Control For Push-Pull Or Single-Ended Operation
- Undervoltage Lockout

**SWITCHMODE
PULSE WIDTH MODULATION
CONTROL CIRCUITS**

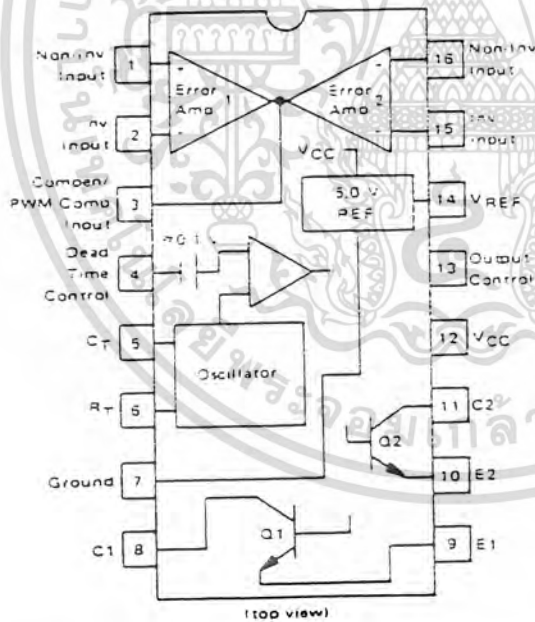
**SILICON MONOLITHIC
INTEGRATED CIRCUITS**



J SUFFIX
CERAMIC PACKAGE
CASE 620-10



N SUFFIX
PLASTIC PACKAGE
CASE 648-06



The TL494C is specified over the commercial operating range of 0°C to 70°C. The TL494I is specified over the industrial range of -25°C to 85°C. The TL494M is specified over the full military range of -55°C to 125°C.

ORDERING INFORMATION

| Device | Temperature Range | Package |
|---------|-------------------|-------------|
| TL494CN | 0° to -70°C | Plastic DIP |
| TL494CJ | 0° to -70°C | Ceramic DIP |
| TL494IN | -25° to -85°C | Plastic DIP |
| TL494IJ | -25° to -85°C | Ceramic DIP |
| TL494MJ | -55° to -125°C | Ceramic DIP |

MOTOROLA LINEAR/INTERFACE DEVICES

เอกสารนี้เป็นเอกสารที่สงวนไว้สำหรับการใช้งานเพื่อการศึกษาเท่านั้น ไม่นิยมนำไปใช้ประโยชน์ด้านการค้า
ไม่ว่ากรณีใดๆทั้งสิ้น อีกทั้งห้ามมิให้ดัดแปลงเนื้อหา และต้องอ้างอิงถึงเจ้าของเอกสารทุกครั้งที่มีการนำไปใช้

FIGURE 1 — BLOCK DIAGRAM

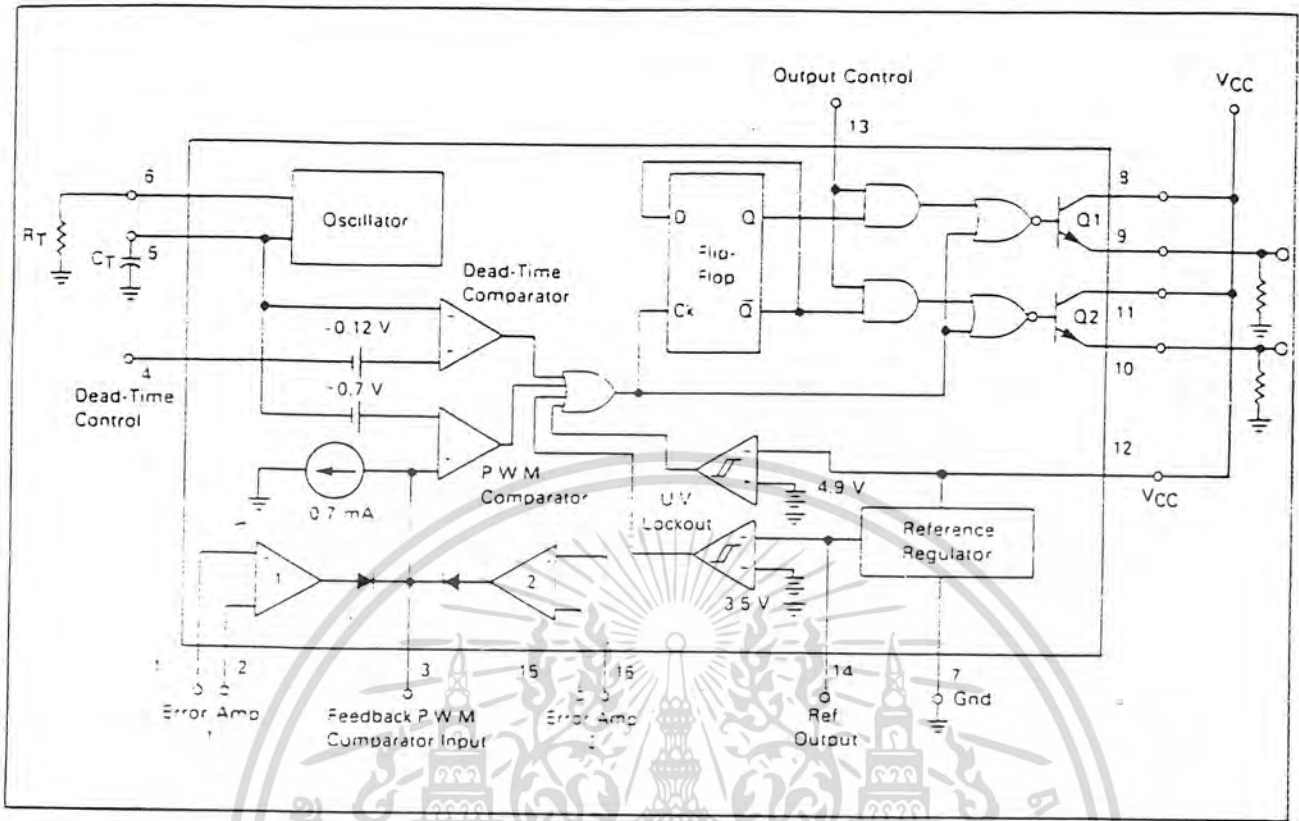
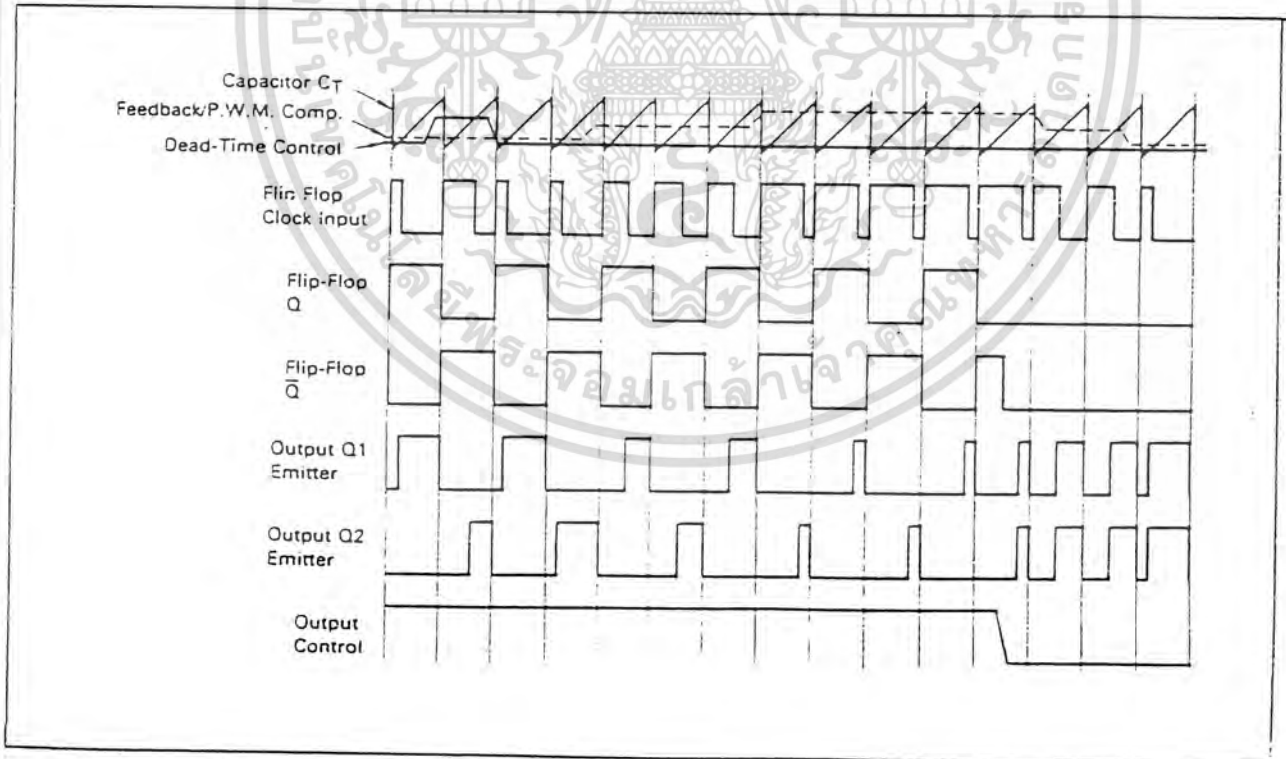


FIGURE 2 — TIMING DIAGRAM



Description

The TL494 is a fixed-frequency pulse width modulation control circuit, incorporating the primary building blocks required for the control of a switching power supply. (See Figure 1.) An internal-linear sawtooth oscillator is frequency-programmable by two external components, R_T and C_T . The approximate oscillator frequency is determined by:

$$f_{osc} \approx \frac{1.1}{R_T \cdot C_T}$$

For more information refer to Figure 4

Output pulse width modulation is accomplished by comparison of the positive sawtooth waveform across capacitor C_T to either of two control signals. The NOR gates, which drive output transistors Q1 and Q2, are enabled only when the flip-flop clock-input line is in its low state. This happens only during that portion of time when the sawtooth voltage is greater than the control signals. Therefore, an increase in control-signal amplitude causes a corresponding linear decrease of output pulse width. (Refer to the timing diagram shown in Figure 2.)

The control signals are external inputs that can be fed into the dead-time control, the error amplifier inputs, or the feedback input. The dead-time control comparator has an effective 120 mV input offset which limits the minimum output dead time to approximately the first 4% of the sawtooth-cycle time. This would result in a maximum duty cycle on a given output of 96% with the output control grounded, and 48% with it connected to the reference line. Additional dead time may be imposed on the output by setting the dead time-control input to a fixed voltage, ranging between 0 to 3.3 V.

The pulse width modulator comparator provides a means for the error amplifiers to adjust the output pulse width from the maximum percent on-time, established by the dead time control input, down to zero, as the voltage at the feedback pin varies from 0.5 to 3.5 V. Both error amplifiers have a common-mode input range from -0.3 V to $(V_{CC} - 2 V)$, and may be used to sense power-supply output voltage and current. The error-amplifier outputs are active high and are ORed together at the non-inverting input of the pulse-width modulator comparator. With this configuration, the amplifier that demands minimum output on time, dominates control of the loop.

When capacitor C_T is discharged, a positive pulse is generated on the output of the dead-time comparator, which clocks the pulse-steering flip-flop and inhibits the output transistors, Q1 and Q2. With the output-control connected to the reference line, the pulse-steering flip-flop directs the modulated pulses to each of the two output transistors alternately for push-pull operation. The output frequency is equal to half that of the oscillator. Output drive can also be taken from Q1 or Q2, when single-ended operation with a maximum on-time of less than 50% is required. This is desirable when the output transformer has a ringback winding with a catch diode used for snubbing. When higher output-drive currents are required for single-ended operation, Q1 and Q2 may be connected in parallel, and the output-mode pin must be tied to ground to disable the flip-flop. The output frequency will now be equal to that of the oscillator.

The TL494 has an internal 5 V reference capable of sourcing up to 10 mA of load current for external bias circuits. The reference has an internal accuracy of $\pm 1.5\%$ with a typical thermal drift of less than 50 mV over an operating temperature range of 0 to 70°C.

FIGURE 3 — FUNCTIONAL TABLE

| Input | Output Function | $\frac{f_{out}}{f_{osc}} =$ |
|----------------|----------------------------------|-----------------------------|
| Output Control | | |
| Grounded | Single-ended P.W.M. at Q1 and Q2 | 1 |
| At V_{ref} | Push-pull operation | 0.5 |

MOTOROLA LINEAR/INTERFACE DEVICES

เอกสารนี้เป็นเอกสารที่สงวนไว้สำหรับการใช้งานเพื่อการศึกษาเท่านั้น ไม่นิยมนำไปใช้ประโยชน์ด้านการค้า
ไม่ว่ากรณีใดๆทั้งสิ้น อีกทั้งห้ามมิให้ดัดแปลงเนื้อหา และต้องอ้างอิงถึงเจ้าของเอกสารทุกครั้งที่มีการนำไปใช้

TL494

MAXIMUM RATINGS (Full operating ambient temperature range applies unless otherwise noted)

| Rating | Symbol | TL494C | TL494I | TL494M | Unit |
|---|------------------|-----------------|------------|------------|------------------|
| Power Supply Voltage | V_{CC} | 42 | 42 | 42 | V |
| Collector Output Voltage | V_{C1}, V_{C2} | 42 | 42 | 42 | V |
| Collector Output Current (each transistor) (1) | I_{C1}, I_{C2} | 500 | 500 | 500 | mA |
| Amplifier Input Voltage Range | V_{IR} | -0.3 to 42 | -0.3 to 42 | -0.3 to 42 | V |
| Power Dissipation (in $T_A \leq 45^\circ\text{C}$) | P_D | 1000 | 1000 | 1000 | mW |
| Operating Junction Temperature | T_J | Plastic Package | 125 | — | $^\circ\text{C}$ |
| | | Ceramic Package | 150 | 150 | $^\circ\text{C}$ |
| Operating Ambient Temperature Range | T_A | 0 to 70 | -25 to 85 | -55 to 125 | $^\circ\text{C}$ |
| Storage Temperature Range | T_{stg} | Plastic Package | -55 to 125 | -55 to 125 | $^\circ\text{C}$ |
| | | Ceramic Package | -65 to 150 | -65 to 150 | -65 to 150 |

NOTE 1: Maximum thermal limits must be observed.

THERMAL CHARACTERISTICS

| Characteristics | Symbol | N Suffix Plastic Package | J Suffix Ceramic Package | Unit |
|---|-----------------|--------------------------|--------------------------|---------------------------|
| Thermal Resistance, Junction to Ambient | $R_{\theta JA}$ | 80 | 100 | $^\circ\text{C}/\text{W}$ |
| Derating Ambient Temperature | T_A | 45 | 50 | $^\circ\text{C}$ |

RECOMMENDED OPERATING CONDITIONS

| Condition/Value | Symbol | TL494 | | | Unit |
|--|------------------|--------|-------|----------------|---------------|
| | | Min | Typ | Max | |
| Power Supply Voltage | V_{CC} | 7.0 | 15 | 40 | V |
| Collector Output Voltage | V_{C1}, V_{C2} | — | 30 | 40 | V |
| Collector Output Current (each transistor) | I_{C1}, I_{C2} | — | — | 200 | mA |
| Amplifier Input Voltage | V_{in} | -0.3 | — | $V_{CC} - 2.0$ | V |
| Current Into Feedback Terminal | I_{fb} | — | — | 0.3 | mA |
| Reference Output Current | I_{ref} | — | — | 10 | mA |
| Timing Resistor | R_T | 1.8 | 30 | 500 | k Ω |
| Timing Capacitor | C_T | 0.0047 | 0.001 | 10 | μF |
| Oscillator Frequency | f_{osc} | 1.0 | 40 | 200 | kHz |

ELECTRICAL CHARACTERISTICS ($V_{CC} = 15\text{ V}$, $C_T = 0.01\ \mu\text{F}$, $R_T = 12\ \text{k}\Omega$ unless otherwise noted.)

For typical values $T_A = 25^\circ\text{C}$, for min/max values T_A is the operating ambient temperature range that applies unless otherwise noted.

| Characteristic | Symbol | TL494C,I | | | TL494M | | | Unit |
|----------------|--------|----------|-----|-----|--------|-----|-----|------|
| | | Min | Typ | Max | Min | Typ | Max | |

REFERENCE SECTION

| | | | | | | | | |
|---|--------------|------|-----|------|------|-----|------|----|
| Reference Voltage ($I_O = 1.0\ \text{mA}$) | V_{ref} | 4.75 | 5.0 | 5.25 | 4.75 | 5.0 | 5.25 | V |
| Line Regulation ($V_{CC} = 7.0\ \text{V}$ to $40\ \text{V}$) | Reg_{line} | — | 2.0 | 25 | — | 2.0 | 25 | mV |
| Load Regulation ($I_O = 1.0\ \text{mA}$ to $10\ \text{mA}$) | Reg_{load} | — | 3.0 | 15 | — | 3.0 | 15 | mV |
| Short-Circuit Output Current ($V_{ref} = 0\ \text{V}$) | I_{SC} | 15 | 35 | 75 | 15 | 35 | 75 | mA |

เอกสารนี้เป็นเอกสารที่สงวนไว้สำหรับการใช้งานเพื่อการศึกษาเท่านั้น ไม่นิยมนำไปใช้ประโยชน์ด้านการค้า
ไม่ว่ากรณีใดๆทั้งสิ้น อีกทั้งห้ามมิให้ดัดแปลงเนื้อหา และต้องอ้างอิงถึงเจ้าของเอกสารทุกครั้งที่มีการนำไปใช้

TL494

ELECTRICAL CHARACTERISTICS ($V_{CC} = 15\text{ V}$, $C_T = 0.01\ \mu\text{F}$, $R_T = 12\ \text{k}\Omega$ unless otherwise noted.)

For typical values $T_A = 25^\circ\text{C}$, for min/max values T_A is the operating ambient temperature range that applies unless otherwise noted.

| Characteristic | Symbol | TL494C,I | | | TL494M | | | Unit |
|----------------|--------|----------|-----|-----|--------|-----|-----|------|
| | | Min | Typ | Max | Min | Typ | Max | |

OUTPUT SECTION

| | | | | | | | | |
|--|--------------|---|-----|------|---|-----|------|---------------|
| Collector Off-State Current ($V_{CC} = 40\text{ V}$, $V_{CE} = 40\text{ V}$) | $I_{C(off)}$ | — | 2.0 | 100 | — | 2.0 | 100 | μA |
| Emitter Off-State Current ($V_{CC} = 40\text{ V}$, $V_C = 40\text{ V}$, $V_E = 0\text{ V}$) | $I_{E(off)}$ | — | — | -100 | — | — | -150 | μA |
| Collector-Emitter Saturation Voltage (2) Common-Emitter ($V_E = 0\text{ V}$, $I_C = 200\text{ mA}$) Emitter-Follower ($V_C = 15\text{ V}$, $I_E = -200\text{ mA}$) | $V_{SAT(C)}$ | — | 1.1 | 1.3 | — | 1.1 | 1.5 | V |
| | $V_{SAT(E)}$ | — | 1.5 | 2.5 | — | 1.5 | 2.5 | V |
| Output Control Pin Current Low State ($V_{OC} \leq 0.4\text{ V}$) High State ($V_{OC} = V_{ref}$) | I_{OCL} | — | 10 | — | — | 10 | — | μA |
| | I_{OCH} | — | 0.2 | 3.5 | — | 0.2 | 3.5 | mA |
| Output Voltage Rise Time Common-Emitter (See Figure 13) Emitter-Follower (See Figure 14) | t_r | — | 100 | 200 | — | 100 | 200 | ns |
| | | — | 100 | 200 | — | 100 | 200 | ns |
| Output Voltage Fall Time Common-Emitter (See Figure 13) Emitter-Follower (See Figure 14) | t_f | — | 25 | 100 | — | 25 | 100 | ns |
| | | — | 40 | 100 | — | 40 | 100 | ns |

| Characteristic | Symbol | TL494 | | | Unit |
|----------------|--------|-------|-----|-----|------|
| | | Min | Typ | Max | |

ERROR AMPLIFIER SECTIONS

| | | | | | |
|---|-----------|---------------------------|------|------|---------------|
| Input Offset Voltage (V_O (Pin 3) = 2.5 V) | V_{IO} | — | 2.0 | 10 | mV |
| Input Offset Current (V_O (Pin 3) = 2.5 V) | I_{IO} | — | 5.0 | 250 | nA |
| Input Bias Current (V_O (Pin 3) = 2.5 V) | I_{IB} | — | -0.1 | -1.0 | μA |
| Input Common-Mode Voltage Range ($V_{CC} = 40\text{ V}$, $T_A = 25^\circ\text{C}$) | V_{ICR} | -0.3 to $V_{CC} - 2.0$ | — | — | V |
| Open-Loop Voltage Gain ($\Delta V_O = 3.0\text{ V}$, $V_O = 0.5\text{ to }3.5\text{ V}$, $R_L = 2.0\ \text{k}\Omega$) | A_{VOL} | 70 | 95 | — | dB |
| Unity-Gain Crossover Frequency ($V_O = 0.5\text{ to }3.5\text{ V}$, $R_L = 2.0\ \text{k}\Omega$) | f_c | — | 350 | — | kHz |
| Phase Margin at Unity-Gain ($V_O = 0.5\text{ to }3.5\text{ V}$, $R_L = 2.0\ \text{k}\Omega$) | ϕ_m | — | 65 | — | deg. |
| Common-Mode Rejection Ratio ($V_{CC} = 40\text{ V}$) | CMRR | 65 | 90 | — | dB |
| Power Supply Rejection Ratio ($\Delta V_{CC} = 33\text{ V}$, $V_O = 2.5\text{ V}$, $R_L = 2.0\ \text{k}\Omega$) | PSRR | — | 100 | — | dB |
| Output Sink Current (V_O (Pin 3) = 0.7 V) | I_{O-} | 0.3 | 0.7 | — | mA |
| Output Source Current (V_O (Pin 3) = 3.5 V) | I_{O+} | -2.0 | -4.0 | — | mA |

NOTE 2: Low duty cycle pulse techniques are used during test to maintain junction temperature as close to ambient temperatures as possible.

เอกสารนี้เป็นเอกสารที่สงวนไว้สำหรับการใช้งานเพื่อการศึกษาเท่านั้น ไม่อนุญาตให้นำไปใช้ประโยชน์ด้านการค้า
ไม่ว่ากรณีใดๆทั้งสิ้น อีกทั้งห้ามมิให้ดัดแปลงเนื้อหา และต้องอ้างอิงถึงเจ้าของเอกสารทุกครั้งที่มีการนำไปใช้

TL494

ELECTRICAL CHARACTERISTICS ($V_{CC} = 15\text{ V}$, $C_T = 0.01\ \mu\text{F}$, $R_T = 12\ \text{k}\Omega$ unless otherwise noted.)

For typical values $T_A = 25^\circ\text{C}$, for min/max values T_A is the operating ambient temperature range that applies unless otherwise noted.

| Characteristic | Symbol | TL494 | | | Unit |
|--|------------------------------|--------|------------|----------|---------------|
| | | Min | Typ | Max | |
| PWM COMPARATOR SECTION (Test Circuit Figure 12) | | | | | |
| Input Threshold Voltage (Zero duty cycle) | V_{TH} | — | 3.5 | 4.5 | V |
| Input Sink Current ($V_{Pin\ 3} = 0.7\ \text{V}$) | I_{I-} | 0.3 | 0.7 | — | mA |
| DEAD-TIME CONTROL SECTION (Test Circuit Figure 12) | | | | | |
| Input Bias Current (Pin 4) ($V_{Pin\ 4} = 0\ \text{to}\ 5.25\ \text{V}$) | $I_B\ (DT)$ | — | -2.0 | -10 | μA |
| Maximum Duty Cycle, Each Output, Push-Pull Mode ($V_{Pin\ 4} = 0\ \text{V}$, $C_T = 0.01\ \mu\text{F}$, $R_T = 12\ \text{k}\Omega$) ($V_{Pin\ 4} = 0\ \text{V}$, $C_T = 0.001\ \mu\text{F}$, $R_T = 30\ \text{k}\Omega$) | DC_{max} | 45 | 48 45 | 50 50 | % |
| Input Threshold Voltage (Pin 4) (Zero Duty Cycle) (Maximum Duty Cycle) | V_{TH} | — 0 | 2.8 | 3.3 | V |
| OSCILLATOR SECTION | | | | | |
| Frequency ($C_T = 0.001\ \mu\text{F}$, $R_T = 30\ \text{k}\Omega$) | f_{osc} | — | 40 | — | kHz |
| Standard Deviation of Frequency* ($C_T = 0.001\ \mu\text{F}$, $R_T = 30\ \text{k}\Omega$) | σf_{osc} | — | 3.0 | — | % |
| Frequency Change with Voltage ($V_{CC} = 7.0\ \text{V}\ \text{to}\ 40\ \text{V}$, $T_A = 25^\circ\text{C}$) | $\Delta f_{osc}\ (\Delta V)$ | — | 0.1 | — | % |
| Frequency Change with Temperature ($\Delta T_A = T_{low}\ \text{to}\ T_{high}$) ($C_T = 0.01\ \mu\text{F}$, $R_T = 12\ \text{k}\Omega$) | $\Delta f_{osc}\ (\Delta T)$ | — | — | 12 | % |
| UNDERVOLTAGE LOCKOUT SECTION | | | | | |
| Turn-On Threshold (V_{CC} Increasing, $I_{ref} = 1.0\ \text{mA}$) | V_{th} | 5.5 | 6.43 | 7.0 | V |
| TOTAL DEVICE | | | | | |
| Standby Supply Current (Pin 6 at V_{ref} , All Other Inputs and Outputs Open) ($V_{CC} = 15\ \text{V}$) ($V_{CC} = 40\ \text{V}$) | I_{CC} | — | 5.5 7.0 | 10 15 | mA |
| Average Supply Current ($V_{Pin\ 4} = 2.0\ \text{V}$) (See Figure 12) ($C_T = 0.01\ \mu\text{F}$, $R_T = 12\ \text{k}\Omega$, $V_{CC} = 15\ \text{V}$) | — | — | 7.0 | — | mA |

* Standard deviation is a measure of the statistical distribution about the mean as derived from the formula, $\sigma = \sqrt{\frac{\sum_{n=1}^N (X_n - \bar{X})^2}{N - 1}}$

$$\sigma = \sqrt{\frac{\sum_{n=1}^N (X_n - \bar{X})^2}{N - 1}}$$

เอกสารนี้เป็นเอกสารที่สงวนไว้สำหรับการใช้งานเพื่อการศึกษาเท่านั้น ไม่นิยมนำไปใช้ประโยชน์ด้านการค้า
ไม่ว่ากรณีใดๆทั้งสิ้น อีกทั้งห้ามมิให้ดัดแปลงเนื้อหา และต้องอ้างอิงถึงเจ้าของเอกสารทุกครั้งที่มีการนำไปใช้

FIGURE 4 — OSCILLATOR FREQUENCY versus TIMING RESISTANCE

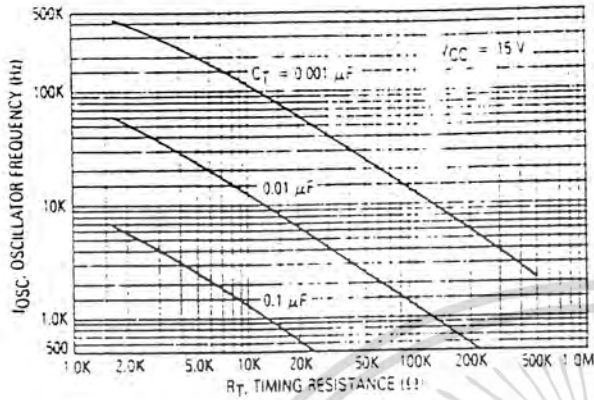


FIGURE 5 — OPEN-LOOP VOLTAGE GAIN AND PHASE versus FREQUENCY

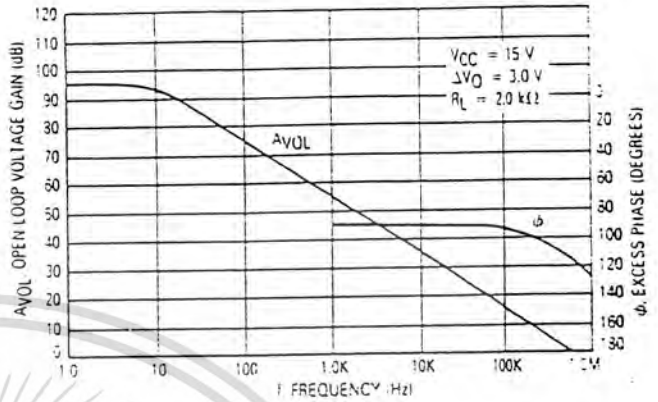


FIGURE 6 — PERCENT DEAD-TIME versus OSCILLATOR FREQUENCY

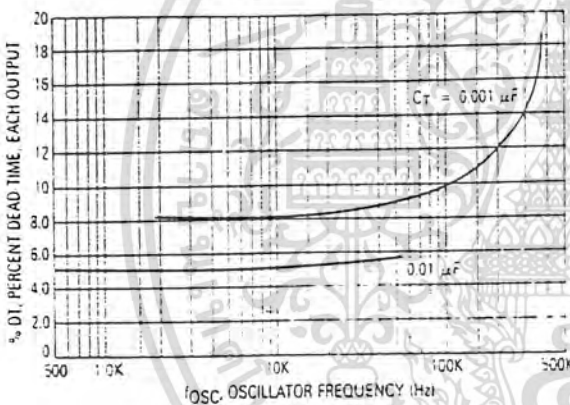


FIGURE 7 — PERCENT DUTY CYCLE versus DEAD-TIME CONTROL VOLTAGE

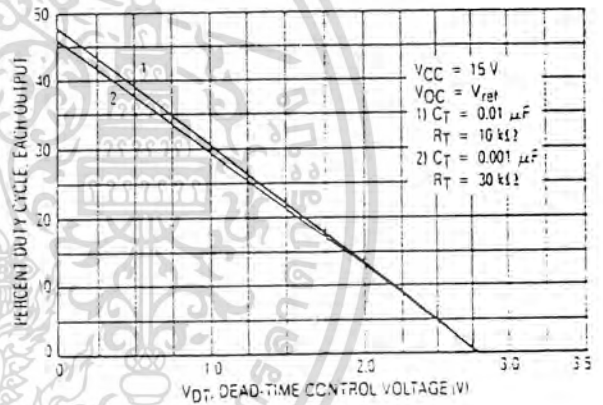


FIGURE 8 — EMITTER FOLLOWER CONFIGURATION OUTPUT SATURATION VOLTAGE versus EMITTER CURRENT

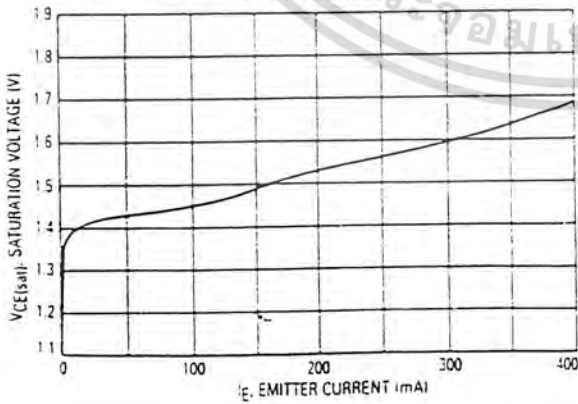
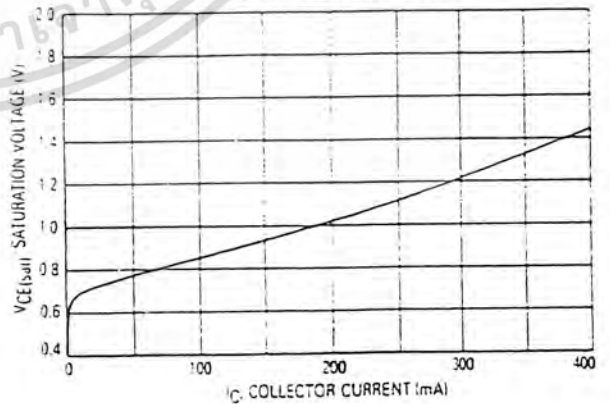


FIGURE 9 — COMMON EMITTER CONFIGURATION OUTPUT SATURATION VOLTAGE versus COLLECTOR CURRENT



เอกสารนี้เป็นเอกสารที่สงวนไว้สำหรับกรใช้เฉพาะเพื่อการศึกษาเท่านั้น ไม่อนุญาตให้ไปใช้ประโยชน์ด้านการค้า
ไม่ว่ากรณีใดๆทั้งสิ้น อีกทั้งห้ามมิให้ดัดแปลงเนื้อหา และต้องอ้างอิงถึงเจ้าของเอกสารทุกครั้งที่มีการนำไปใช้

FIGURE 10 — STANDBY SUPPLY CURRENT versus SUPPLY VOLTAGE

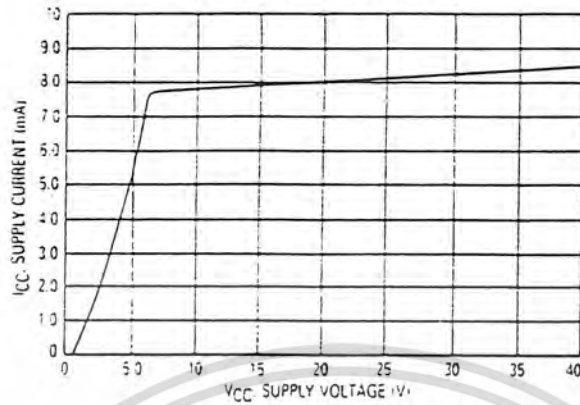


FIGURE 11 — ERROR AMPLIFIER CHARACTERISTICS

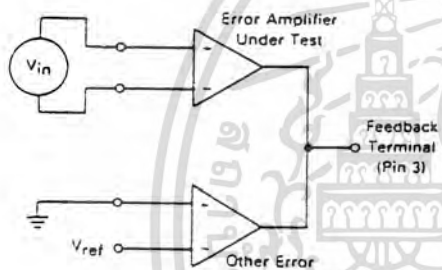


FIGURE 12 — DEAD-TIME AND FEEDBACK CONTROL TEST CIRCUIT

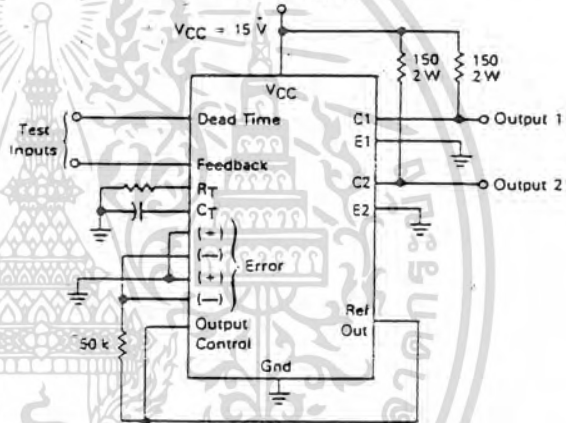


FIGURE 13 — COMMON-EMITTER CONFIGURATION TEST CIRCUIT AND WAVEFORM

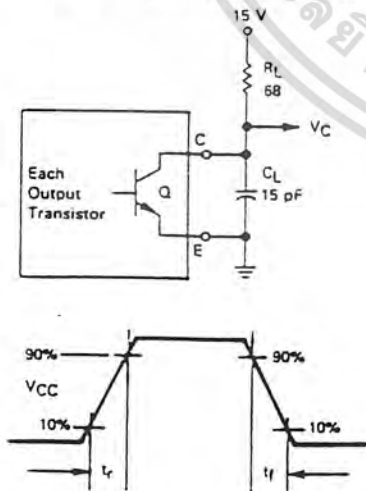
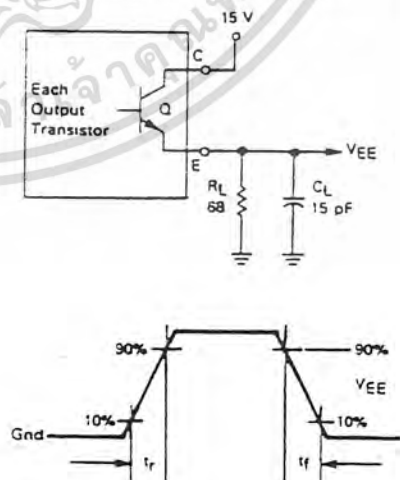


FIGURE 14 — EMITTER-FOLLOWER CONFIGURATION TEST CIRCUIT AND WAVEFORM



เอกสารนี้เป็นเอกสารที่สงวนไว้สำหรับการใช้งานเพื่อการศึกษาเท่านั้น ไม่นิยมนำไปใช้ประโยชน์ด้านการค้า
ไม่ว่ากรณีใดๆทั้งสิ้น อีกทั้งห้ามมิให้ดัดแปลงเนื้อหา และต้องอ้างอิงถึงเจ้าของเอกสารทุกครั้งที่มีการนำไปใช้

FIGURE 15 — ERROR-AMPLIFIER SENSING TECHNIQUES

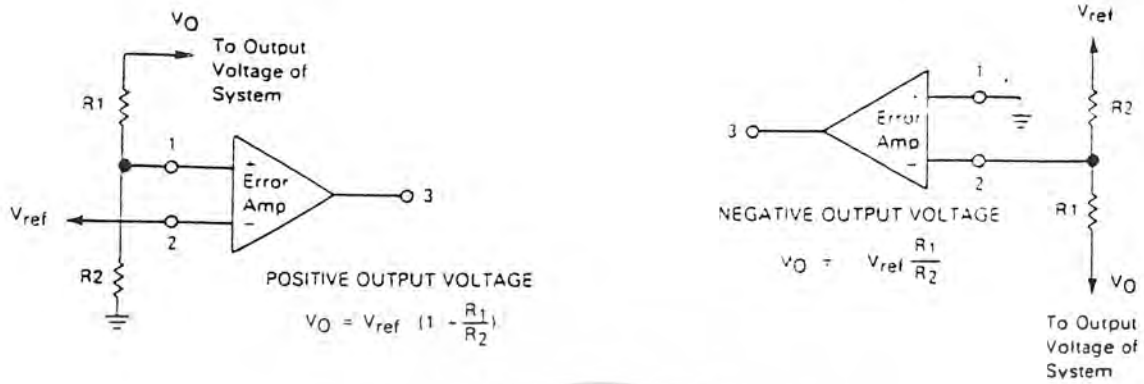


FIGURE 16 — DEAD-TIME CONTROL CIRCUIT

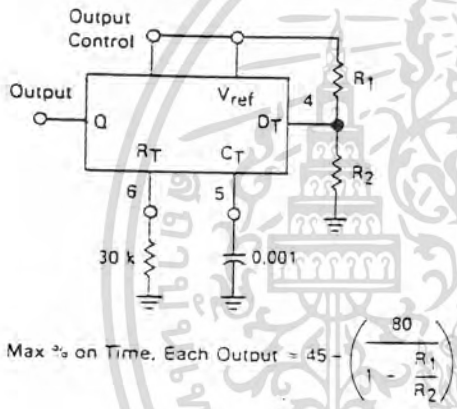


FIGURE 17 — SOFT-START CIRCUIT

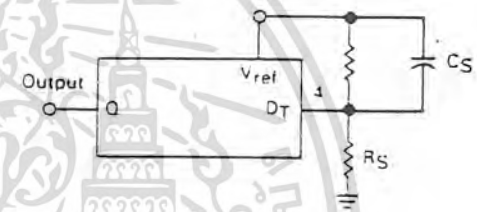


FIGURE 18 — OUTPUT CONNECTIONS FOR SINGLE-ENDED AND PUSH-PULL CONFIGURATIONS

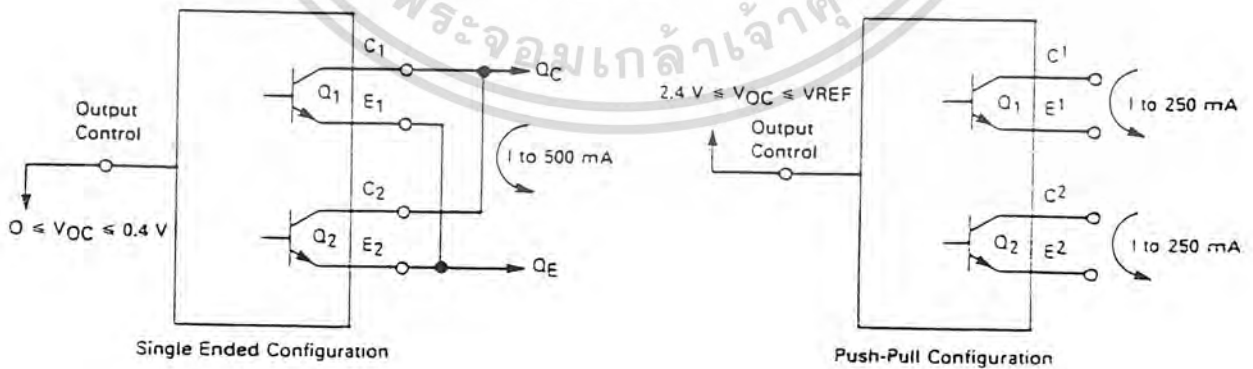


FIGURE 19 — SLAVING TWO OR MORE CONTROL CIRCUITS

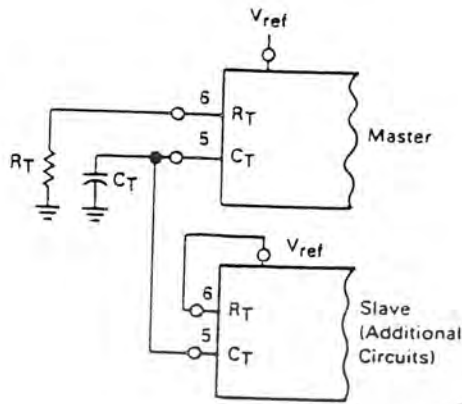


FIGURE 20 — OPERATION WITH $V_{IN} > 40$ V USING EXTERNAL ZENER

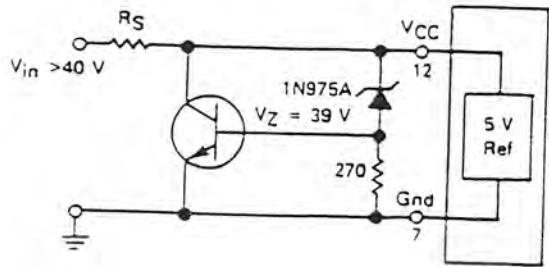
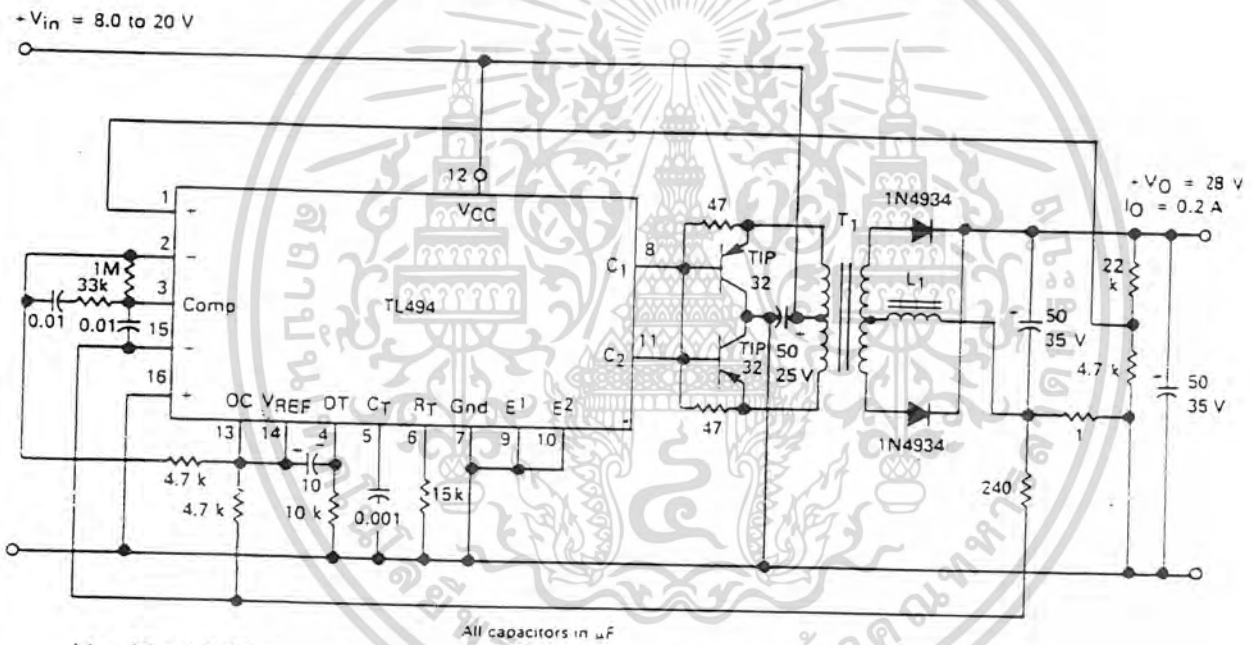


FIGURE 21 — PULSE-WIDTH MODULATED PUSH-PULL CONVERTER



- L1 — 3.5 mH @ 0.3 A
- T1 — Primary: 20T C.T. #28 AWG
Secondary: 120T C.T. #36 AWG
Core: Ferroxcube 1408P-L00-3C8

All capacitors in μ F

| TEST | CONDITIONS | RESULTS |
|-----------------------|--------------------------------------|--------------------|
| Line Regulation | $V_{in} = 10$ V to 40 V | 14 mV 0.28% |
| Load Regulation | $V_{in} = 28$ V, $I_O = 1$ mA to 1 A | 3.0 mV 0.06% |
| Output Ripple | $V_{in} = 28$ V, $I_O = 1.0$ A | 65 mV P-P P.A.R.D. |
| Short Circuit Current | $V_{in} = 28$ V, $R_L = 0.1 \Omega$ | 1.6 amps |
| Efficiency | $V_{in} = 28$ V, $I_O = 1$ A | 71% |

เอกสารนี้เป็นเอกสารที่สงวนไว้สำหรับการใช้งานเพื่อการศึกษาเท่านั้น ไม่นิยมนำไปใช้ประโยชน์ด้านการค้า
ไม่ว่ากรณีใดๆทั้งสิ้น อีกทั้งห้ามมิให้ดัดแปลงเนื้อหา และต้องอ้างอิงถึงเจ้าของเอกสารทุกครั้งที่มีการนำไปใช้

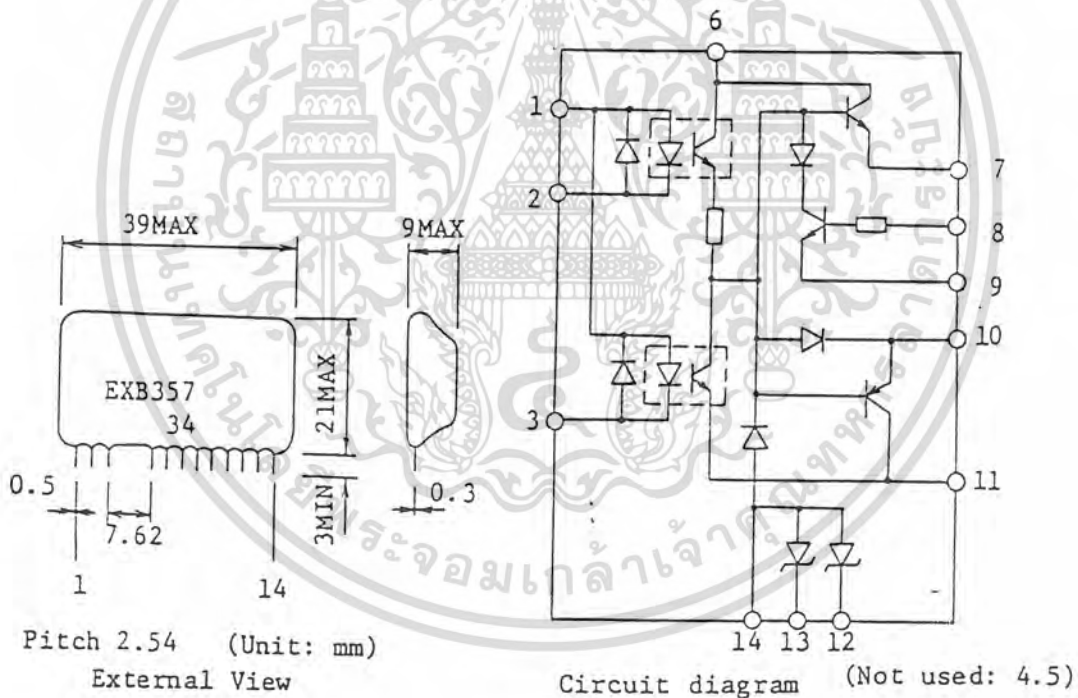
Fuji Base Driver Module (Hybrid IC) EXB357

* Special features .

- . Includes opto-coupler; input and output are isolated electrically. (2500 VAC/lmin).
- . IC has high output current. ($I_{B1} = 1.3 \text{ A}$. $I_{B2} = 3.4 \text{ A}$)
- . Drives high dv/dt (4000 V/ μs)
- . Short switching time. ($t_{stg} < 5.0 \mu\text{s}$)
- . CMOS and TTL drives are available.

* Applications

Driver for transistors such as transistor inverters.



* Ratings and Characteristics

Absolute maximum rating. ($T_a = 25^\circ\text{C}$)

| Items | Symbol | Condition | Rating | Units |
|-------------------------------------|-----------|---------------------------|---------|------------------|
| Forward bias supply-voltage | VCC | | 11 | V |
| Reverse bias supply-voltage | VEE | | -11 | V |
| Input current | IIN | | 2.6~9 | mA |
| Forward bias output current | IB1out | duty=0.5 | 0.15 | A |
| Reverse bias output current | IB2out | PW=20 μ s, f=5KHZ MAX | 0.60 | A |
| Power dissipation | PD | $T_a=55^\circ\text{C}$ | 0.7 | W |
| Isolation voltage | VISO | AC50/60HZ, 1min | 2500 | V |
| Operating ambient temperature | T_a | | -10~55 | $^\circ\text{C}$ |
| Surface temperature while operating | T_c | | -10~85 | $^\circ\text{C}$ |
| Storage temperature | T_{stg} | | -25~125 | $^\circ\text{C}$ |

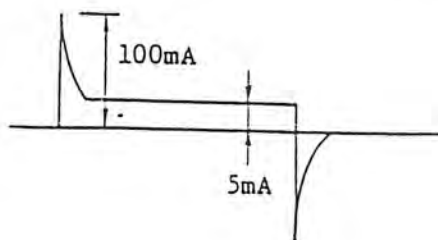
เอกสารนี้เป็นเอกสารที่สงวนไว้สำหรับการใช้งานเพื่อการศึกษาเท่านั้น ไม่นิยมนำไปใช้ประโยชน์ด้านการค้า
ไม่ว่ากรณีใดๆทั้งสิ้น อีกทั้งห้ามมิให้ตัดแปลงเนื้อหา และต้องอ้างอิงถึงเจ้าของเอกสารทุกครั้งที่มีการนำไปใช้

Electrical characteristics. ($T_a = 25^\circ\text{C}$)

| Item | Symbol | Condition | Value | | | Units |
|---|------------|-----------|-------|-----|-----|------------------|
| | | | MIN | TYP | MAX | |
| Current limited detecting voltage | V_s | | 5.0 | - | 1.2 | V |
| Delay time | t_d | | - | - | 5.0 | μs |
| Rise time | t_r | | - | - | 1.5 | μs |
| Storage time | t_{stg} | | - | - | 5.0 | μs |
| Reverse bias current descent rating | $-dib2/dt$ | | 6.0 | - | - | A/ μs |
| dv/dt capability for in-put and out-put | dv/dt | | 4000 | - | - | V/ μs |

* Conditions

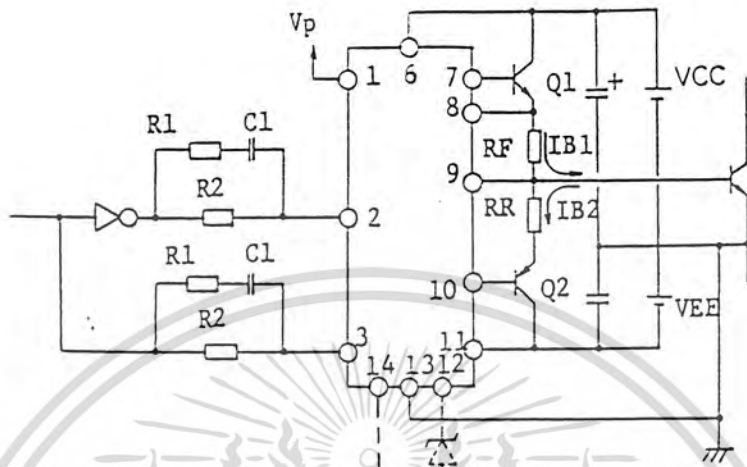
- . Case temperature. (T_C) = $-10^\circ\text{C} \sim 85^\circ\text{C}$
- . Junction temperature of driving transistor (T_j) = $-10 \sim 130^\circ\text{C}$
- . Driving wire length between base drive circuit and driven transistor module must be less than 30 cm.
- . Cut-off current must be less than 405 A.
- . $V_{CC} = V_{EE} = 8.5 \text{ V} \pm 15\%$
- . Q1 : 2SD1157 RF: 0.75 Ω
- . Q2 : 2SB757 2 parallel RR: 0.09 Ω
- . Input current of base drive module



เอกสารนี้เป็นเอกสารที่สงวนไว้สำหรับการใช้งานเพื่อการศึกษาเท่านั้น ไม่อนุญาตให้นำไปใช้ประโยชน์ด้านการค้า

ไม่ว่ากรณีใดๆทั้งสิ้น ดึงทั้งห้ามมิให้ตัดแปลงเนื้อหา และต้องอ้างอิงถึงเจ้าของเอกสารทุกครั้งที่มีการนำไปใช้

* Application Circuit



เอกสารนี้เป็นเอกสารที่สงวนไว้สำหรับการใช้งานเพื่อการศึกษาเท่านั้น ไม่อนุญาตให้นำไปใช้ประโยชน์ด้านการค้า
ไม่ว่ากรณีใดๆทั้งสิ้น อีกทั้งห้ามมิให้ดัดแปลงเนื้อหา และต้องอ้างอิงถึงเจ้าของเอกสารทุกครั้งที่มีการนำไปใช้